

Calcolo degli sforzi in * con forze baricentriche essendo * il punto medio di BC

Rappresentare sul foglio, in scala: G, assi u,v, ellisse d'inerzia, C.T.

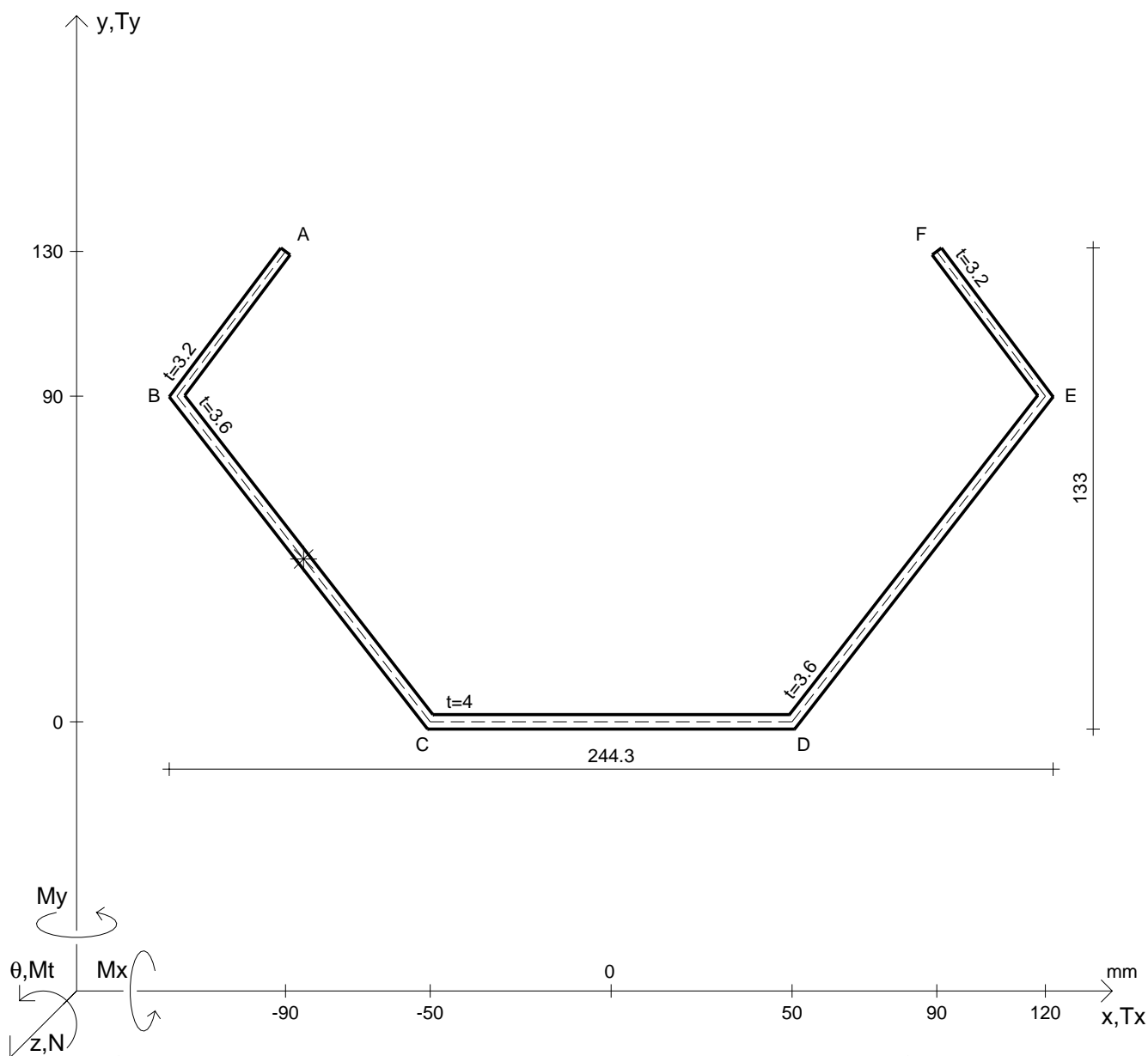
Rappresentare i cerchi di Mohr

Operare le conclusioni sulla verifica di resistenza in *

Facoltativo: rappresentare l'asse neutro e l'andamento delle tens. normali.

Facoltativo: rappresentare l'andamento delle tens. tangenziali.

N	= 75700 N	M_t	= 139000 Nmm	σ_a	= 220 N/mm ²	G	= 73000 N/mm ²
T_y	= 46700 N	M_x	= -2440000 Nmm	E	= 200000 N/mm ²	σ_{mises}	=
y_G	=	J_t	=	σ	=	$\sigma_{st.ven}$	=
u_o	=	$\sigma(N)$	=	τ_s	=	θ_t	=
v_o	=	$\sigma(M_x)$	=	τ_d	=	r_u	=
A^*	=	$\tau(M_t)_d$	=	σ_{ls}	=	r_v	=
S_u	=	$\tau(T_{yc})_d$	=	σ_{lls}	=	r_o	=
C_w	=	$\tau(T_{yb})_d$	=	σ_{ld}	=	J_p	=
J_u	=	$\tau(T_y)_s$	=	σ_{lld}	=		
J_v	=	$\tau(T_y)_d$	=	σ_{tresca}	=		



Calcolo degli sforzi in * con forze baricentriche essendo * il punto medio di BC

Rappresentare sul foglio, in scala: G, assi u,v, ellisse d'inertia, C.T.

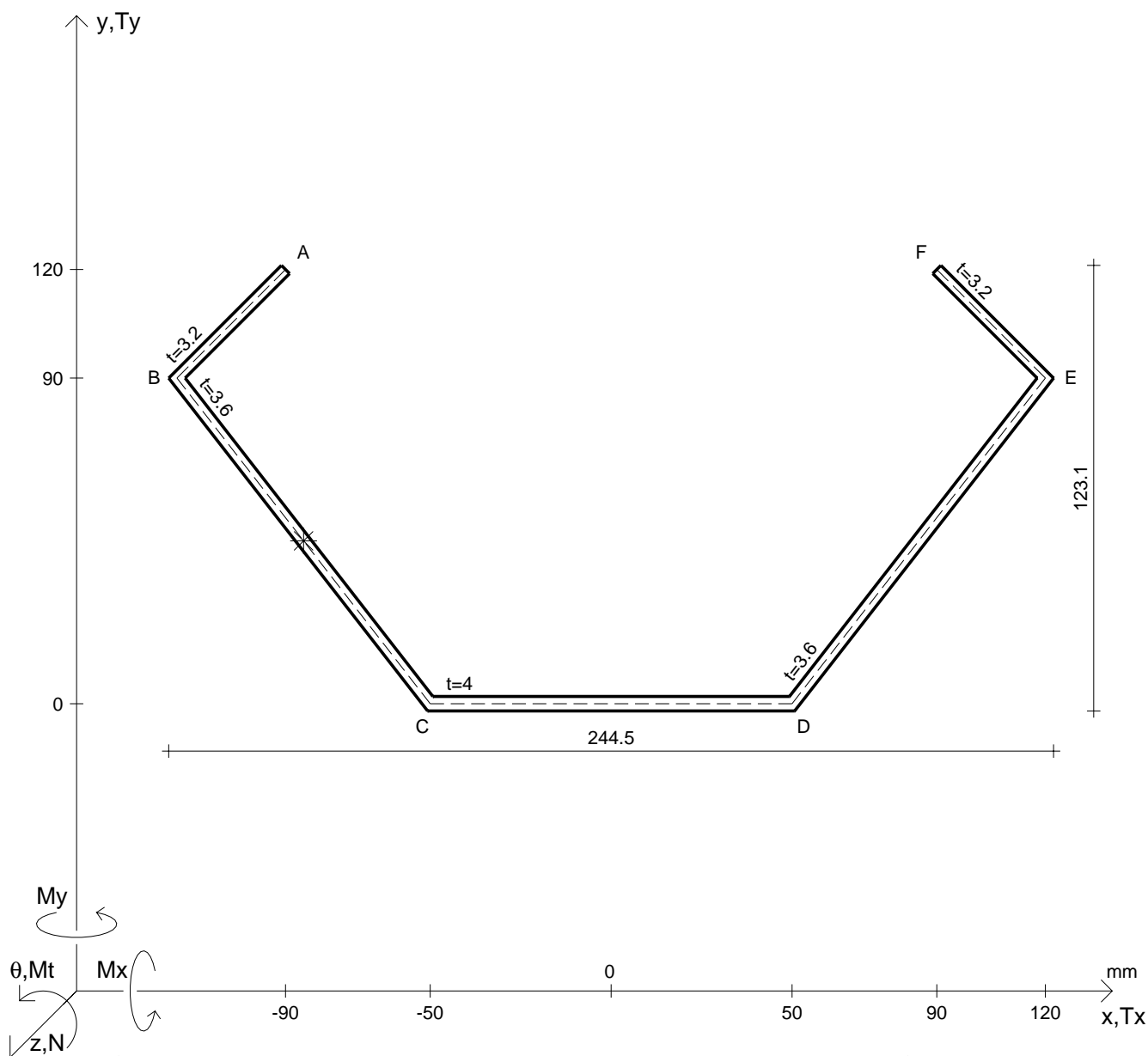
Rappresentare i cerchi di Mohr

Operare le conclusioni sulla verifica di resistenza in *

Facoltativo: rappresentare l'asse neutro e l'andamento delle tens. normali.

Facoltativo: rappresentare l'andamento delle tens. tangenziali.

N	$= 81100 \text{ N}$	M_x	$= -2520000 \text{ Nmm}$	G	$= 73000 \text{ N/mm}^2$
T_y	$= 47800 \text{ N}$	σ_a	$= 220 \text{ N/mm}^2$		
M_t	$= 101000 \text{ Nmm}$	E	$= 200000 \text{ N/mm}^2$		
y_G	$=$	$\tau(M_t)_d$	$=$	σ_{lld}	$=$
u_o	$=$	$\tau(T_{yc})$	$=$	σ_{tresca}	$=$
v_o	$=$	$\tau(T_{yb})_d$	$=$	σ_{mises}	$=$
A^*	$=$	$\tau(T_y)_s$	$=$	$\sigma_{st.ven}$	$=$
S_u^*	$=$	$\tau(T_y)_d$	$=$	θ_t	$=$
C_w	$=$	σ	$=$	r_u	$=$
J_u	$=$	τ_s	$=$	r_v	$=$
J_v	$=$	τ_d	$=$	r_o	$=$
J_t	$=$	σ_{ls}	$=$	J_p	$=$
$\sigma(N)$	$=$	σ_{lls}	$=$		
$\sigma(M_x)$	$=$	σ_{ld}	$=$		



Calcolo degli sforzi in * con forze baricentriche essendo * il punto medio di BC

Rappresentare sul foglio, in scala: G, assi u,v, ellisse d'inertia, C.T.

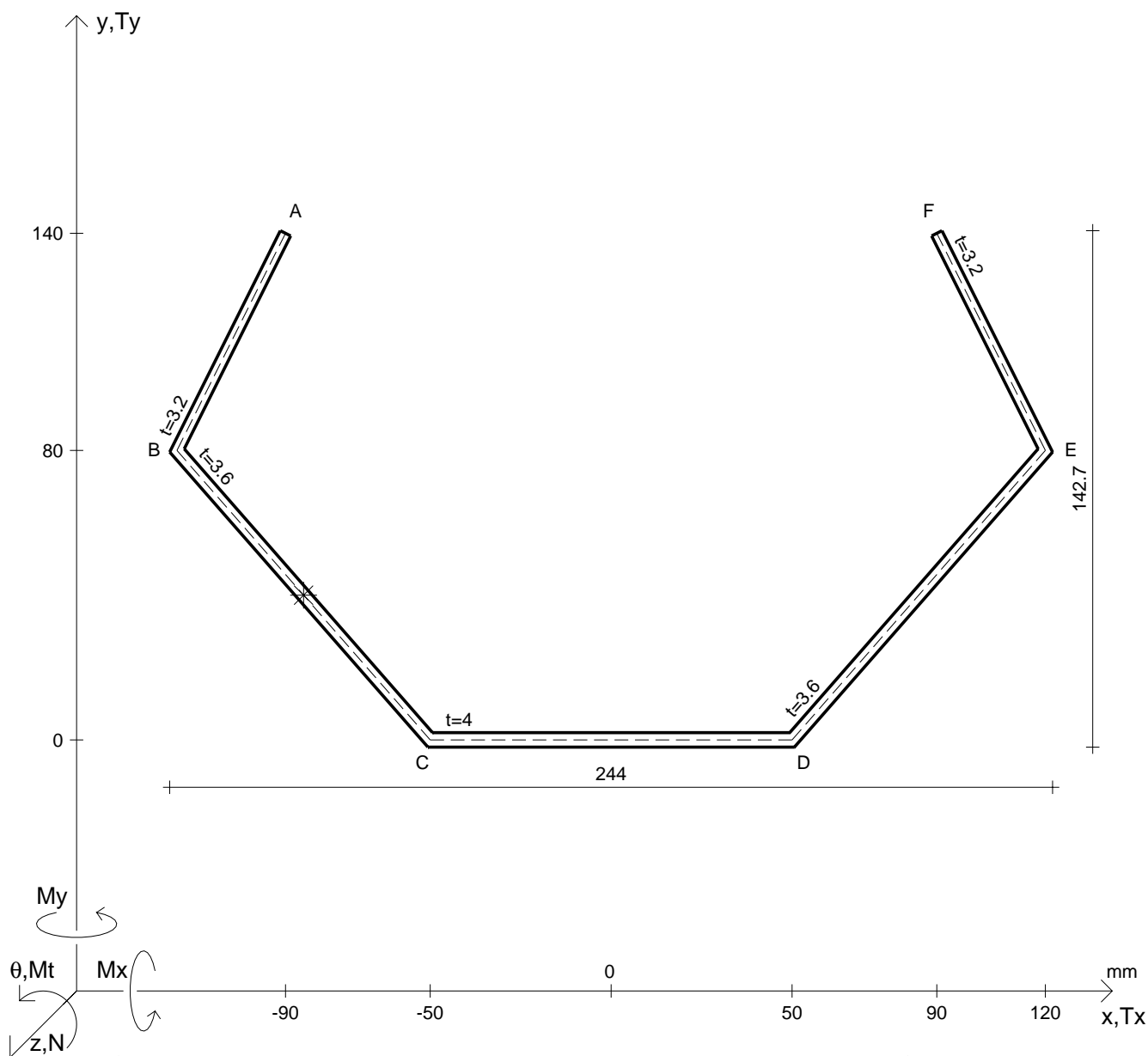
Rappresentare i cerchi di Mohr

Operare le conclusioni sulla verifica di resistenza in *

Facoltativo: rappresentare l'asse neutro e l'andamento delle tens. normali.

Facoltativo: rappresentare l'andamento delle tens. tangenziali.

N	$= 86100 \text{ N}$	M_x	$= 2610000 \text{ Nmm}$	G	$= 73000 \text{ N/mm}^2$
T_y	$= 33000 \text{ N}$	σ_a	$= 220 \text{ N/mm}^2$	σ_{lld}	$=$
M_t	$= 110000 \text{ Nmm}$	E	$= 200000 \text{ N/mm}^2$	σ_{tresca}	$=$
y_G	$=$	$\tau(M_t)_d$	$=$	σ_{mises}	$=$
u_o	$=$	$\tau(T_{yc})$	$=$	$\sigma_{st.ven}$	$=$
v_o	$=$	$\tau(T_{yb})_d$	$=$	θ_t	$=$
A^*	$=$	$\tau(T_y)_s$	$=$	r_u	$=$
S_u^*	$=$	$\tau(T_y)_d$	$=$	r_v	$=$
C_w	$=$	σ	$=$	r_o	$=$
J_u	$=$	τ_s	$=$	J_p	$=$
J_v	$=$	τ_d	$=$		
J_t	$=$	σ_{ls}	$=$		
$\sigma(N)$	$=$	σ_{lls}	$=$		
$\sigma(M_x)$	$=$	σ_{ld}	$=$		



Calcolo degli sforzi in * con forze baricentriche essendo * il punto medio di BC

Rappresentare sul foglio, in scala: G, assi u, v , ellisse d'inertia, C.T.

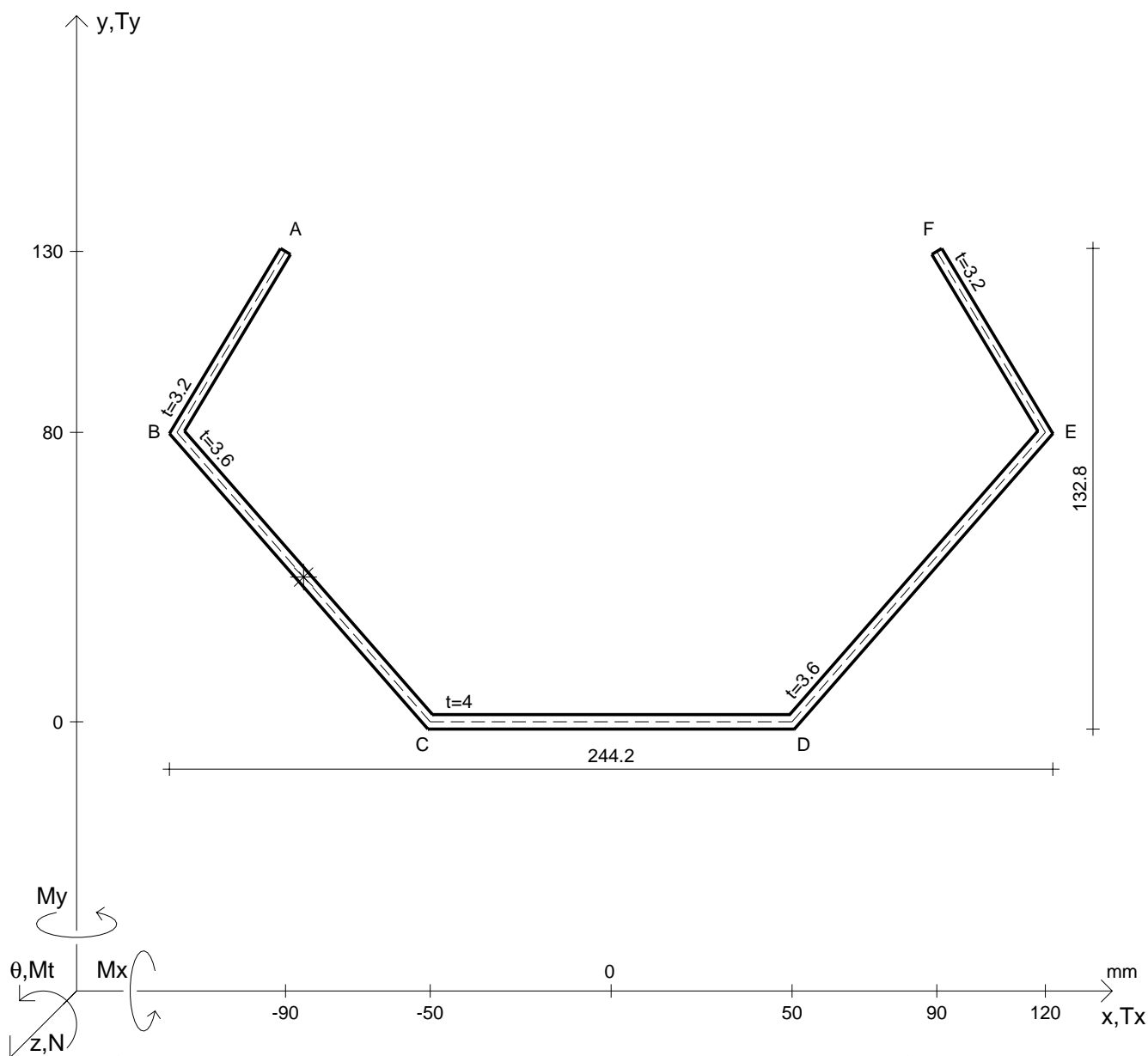
Rappresentare i cerchi di Mohr

Operare le conclusioni sulla verifica di resistenza in *

Facoltativo: rappresentare l'asse neutro e l'andamento delle tens. normali.

Facoltativo: rappresentare l'andamento delle tens. tangenziali.

N	$= 67500 \text{ N}$	M_x	$= -3170000 \text{ Nmm}$	G	$= 73000 \text{ N/mm}^2$
T_y	$= 42200 \text{ N}$	σ_a	$= 220 \text{ N/mm}^2$		
M_t	$= 126000 \text{ Nmm}$	E	$= 200000 \text{ N/mm}^2$		
y_G	$=$	$\tau(M_t)_d$	$=$	σ_{lld}	$=$
u_o	$=$	$\tau(T_{yc})$	$=$	σ_{tresca}	$=$
v_o	$=$	$\tau(T_{yb})_d$	$=$	σ_{mises}	$=$
A^*	$=$	$\tau(T_y)_s$	$=$	$\sigma_{st.ven}$	$=$
S_u	$=$	$\tau(T_y)_d$	$=$	θ_t	$=$
C_w	$=$	σ	$=$	r_u	$=$
J_u	$=$	τ_s	$=$	r_v	$=$
J_v	$=$	τ_d	$=$	r_o	$=$
J_t	$=$	σ_{ls}	$=$	J_p	$=$
$\sigma(N)$	$=$	σ_{lls}	$=$		
$\sigma(M_x)$	$=$	σ_{ld}	$=$		



Calcolo degli sforzi in * con forze baricentriche essendo * il punto medio di BC

Rappresentare sul foglio, in scala: G, assi u,v, ellisse d'inertia, C.T.

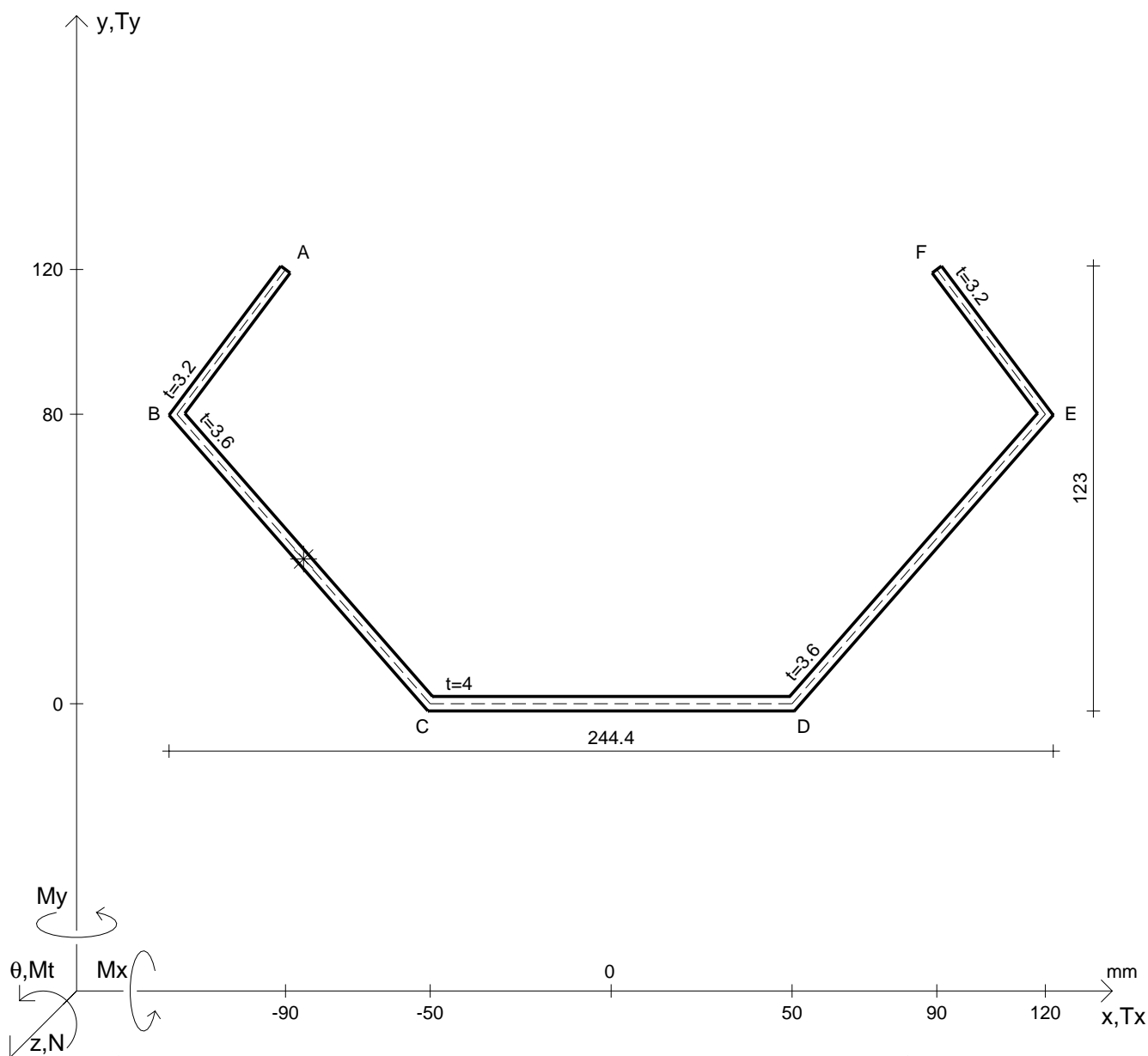
Rappresentare i cerchi di Mohr

Operare le conclusioni sulla verifica di resistenza in *

Facoltativo: rappresentare l'asse neutro e l'andamento delle tens. normali.

Facoltativo: rappresentare l'andamento delle tens. tangenziali.

N	$= 73000 \text{ N}$	M_x	$= -2130000 \text{ Nmm}$	G	$= 73000 \text{ N/mm}^2$
T_y	$= 43200 \text{ N}$	σ_a	$= 220 \text{ N/mm}^2$	σ_{lld}	$=$
M_t	$= 135000 \text{ Nmm}$	E	$= 200000 \text{ N/mm}^2$	σ_{tresca}	$=$
y_G	$=$	$\tau(M_t)_d$	$=$	σ_{mises}	$=$
u_o	$=$	$\tau(T_{yc})$	$=$	$\sigma_{st.ven}$	$=$
v_o	$=$	$\tau(T_{yb})_d$	$=$	θ_t	$=$
A^*	$=$	$\tau(T_y)_s$	$=$	r_u	$=$
S_u^*	$=$	$\tau(T_y)_d$	$=$	r_v	$=$
C_w	$=$	σ	$=$	r_o	$=$
J_u	$=$	τ_s	$=$	J_p	$=$
J_v	$=$	τ_d	$=$		
J_t	$=$	σ_{ls}	$=$		
$\sigma(N)$	$=$	σ_{lls}	$=$		
$\sigma(M_x)$	$=$	σ_{ld}	$=$		



Calcolo degli sforzi in * con forze baricentriche essendo * il punto medio di BC

Rappresentare sul foglio, in scala: G, assi u,v, ellisse d'inertia, C.T.

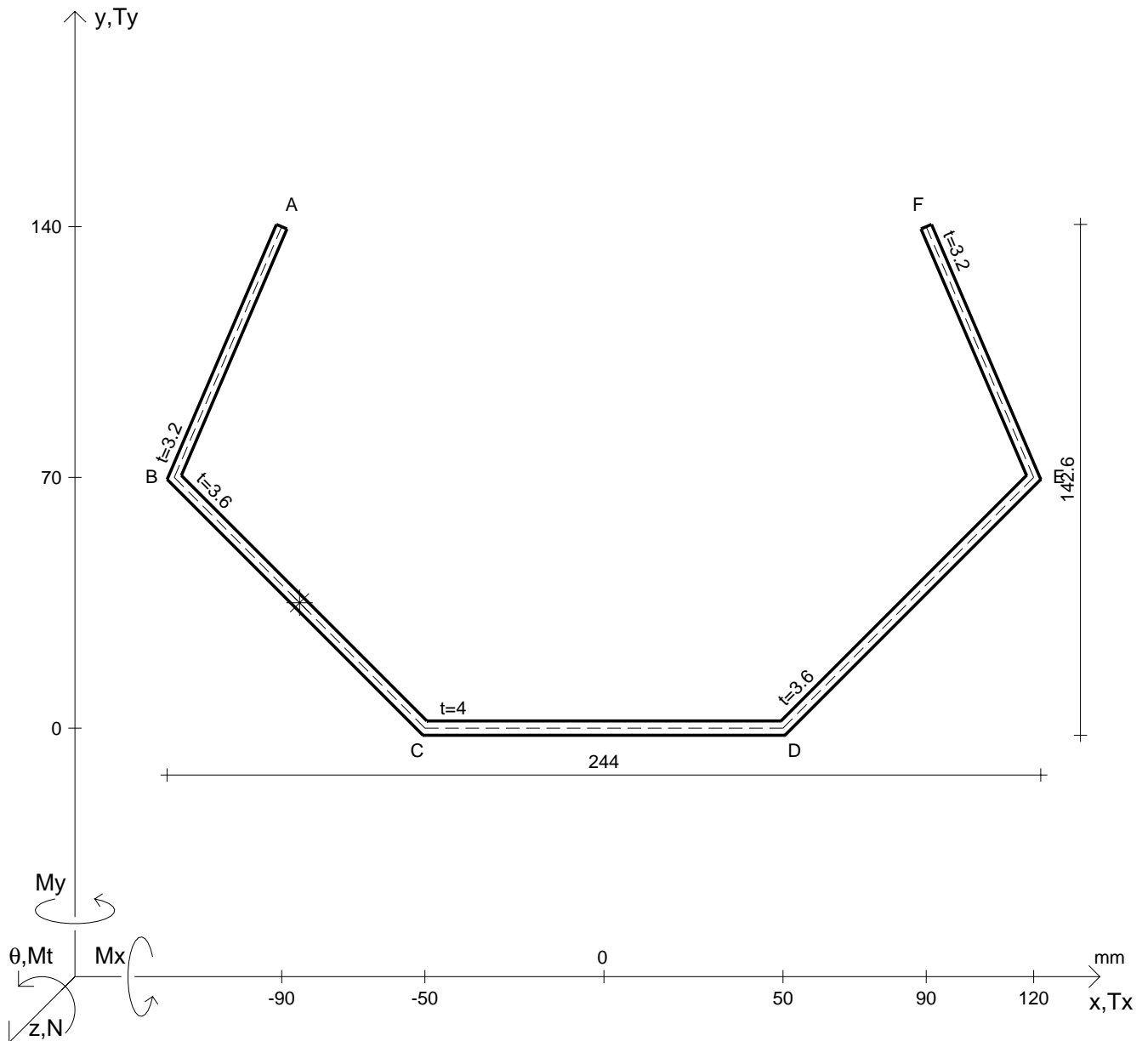
Rappresentare i cerchi di Mohr

Operare le conclusioni sulla verifica di resistenza in *

Facoltativo: rappresentare l'asse neutro e l'andamento delle tens. normali.

Facoltativo: rappresentare l'andamento delle tens. tangenziali.

N	$= 78200 \text{ N}$	M_x	$= -2180000 \text{ Nmm}$	G	$= 73000 \text{ N/mm}^2$
T_y	$= 43900 \text{ N}$	σ_a	$= 220 \text{ N/mm}^2$	σ_{lld}	$=$
M_t	$= 97400 \text{ Nmm}$	E	$= 200000 \text{ N/mm}^2$	σ_{tresca}	$=$
y_G	$=$	$\tau(M_t)_d$	$=$	σ_{mises}	$=$
u_o	$=$	$\tau(T_{yc})$	$=$	$\sigma_{st.ven}$	$=$
v_o	$=$	$\tau(T_{yb})_d$	$=$	θ_t	$=$
A^*	$=$	$\tau(T_y)_s$	$=$	r_u	$=$
S_u^*	$=$	$\tau(T_y)_d$	$=$	r_v	$=$
C_w	$=$	σ	$=$	r_o	$=$
J_u	$=$	τ_s	$=$	J_p	$=$
J_v	$=$	τ_d	$=$		
J_t	$=$	σ_{ls}	$=$		
$\sigma(N)$	$=$	σ_{lls}	$=$		
$\sigma(M_x)$	$=$	σ_{ld}	$=$		



Calcolo degli sforzi in * con forze baricentriche essendo * il punto medio di BC

Rappresentare sul foglio, in scala: G, assi u,v, ellisse d'inertia, C.T.

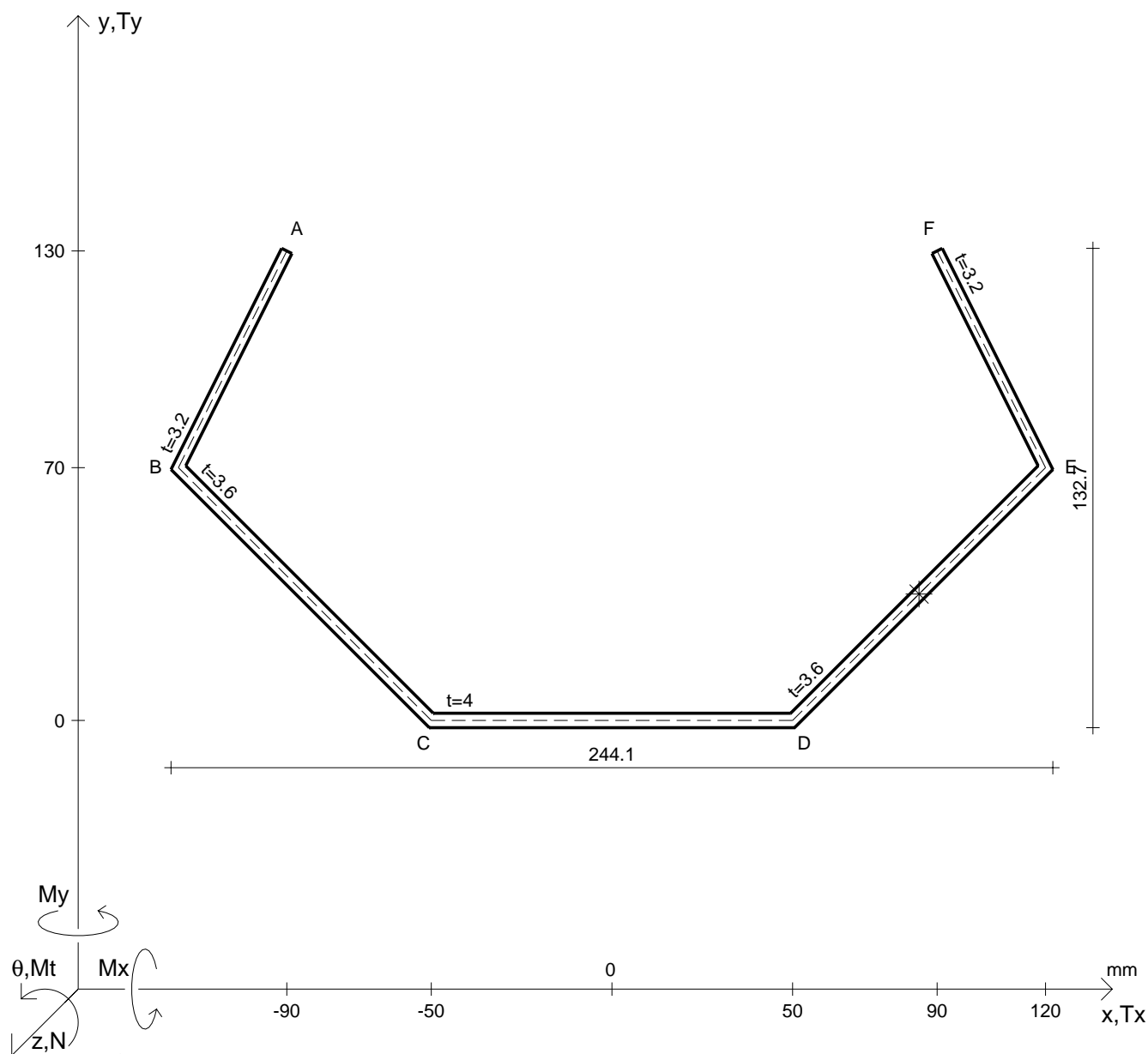
Rappresentare i cerchi di Mohr

Operare le conclusioni sulla verifica di resistenza in *

Facoltativo: rappresentare l'asse neutro e l'andamento delle tens. normali.

Facoltativo: rappresentare l'andamento delle tens. tangenziali.

N	$= 93600 \text{ N}$	M_x	$= -2880000 \text{ Nmm}$	G	$= 73000 \text{ N/mm}^2$
T_y	$= 36900 \text{ N}$	σ_a	$= 220 \text{ N/mm}^2$	σ_{lld}	$=$
M_t	$= 116000 \text{ Nmm}$	E	$= 200000 \text{ N/mm}^2$	σ_{tresca}	$=$
y_G	$=$	$\tau(M_t)_d$	$=$	σ_{mises}	$=$
u_o	$=$	$\tau(T_{yc})$	$=$	$\sigma_{st.ven}$	$=$
v_o	$=$	$\tau(T_{yb})_d$	$=$	θ_t	$=$
A^*	$=$	$\tau(T_y)_s$	$=$	r_u	$=$
S_u^*	$=$	$\tau(T_y)_d$	$=$	r_v	$=$
C_w	$=$	σ	$=$	r_o	$=$
J_u	$=$	τ_s	$=$	J_p	$=$
J_v	$=$	τ_d	$=$		
J_t	$=$	σ_{ls}	$=$		
$\sigma(N)$	$=$	σ_{lls}	$=$		
$\sigma(M_x)$	$=$	σ_{ld}	$=$		



Calcolo degli sforzi in * con forze baricentriche essendo * il punto medio di DE

Rappresentare sul foglio, in scala: G, assi u,v, ellisse d'inertia, C.T.

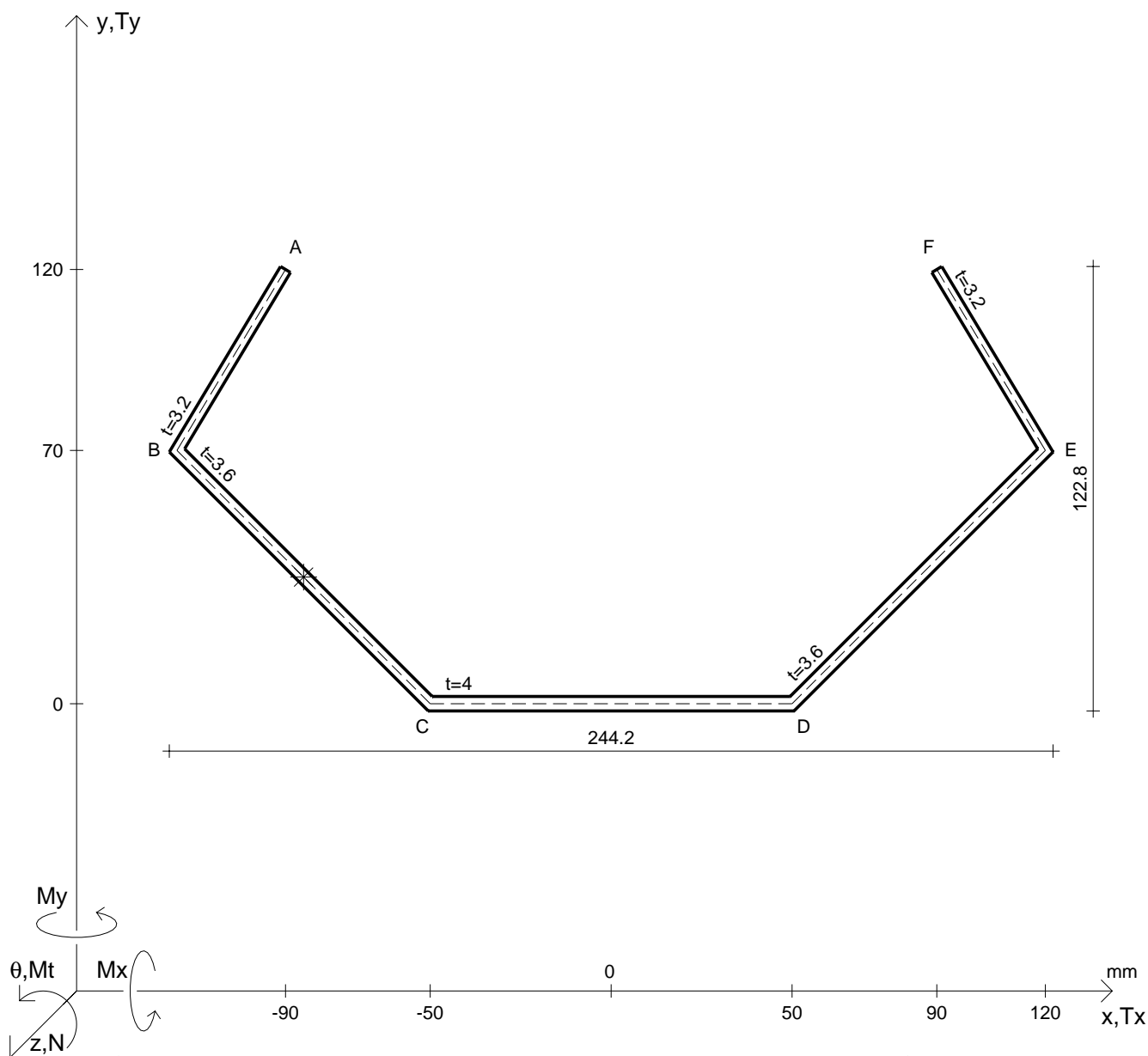
Rappresentare i cerchi di Mohr

Operare le conclusioni sulla verifica di resistenza in *

Facoltativo: rappresentare l'asse neutro e l'andamento delle tens. normali.

Facoltativo: rappresentare l'andamento delle tens. tangenziali.

N	$= 65200 \text{ N}$	M_x	$= -2760000 \text{ Nmm}$	G	$= 73000 \text{ N/mm}^2$
T_y	$= 39200 \text{ N}$	σ_a	$= 220 \text{ N/mm}^2$	σ_{lld}	$=$
M_t	$= 122000 \text{ Nmm}$	E	$= 200000 \text{ N/mm}^2$	σ_{tresca}	$=$
y_G	$=$	$\tau(M_t)_d$	$=$	σ_{mises}	$=$
u_o	$=$	$\tau(T_{yc})$	$=$	$\sigma_{st.ven}$	$=$
v_o	$=$	$\tau(T_{yb})_d$	$=$	θ_t	$=$
A^*	$=$	$\tau(T_y)_s$	$=$	r_u	$=$
S_u^*	$=$	$\tau(T_y)_d$	$=$	r_v	$=$
C_w	$=$	σ	$=$	r_o	$=$
J_u	$=$	τ_s	$=$	J_p	$=$
J_v	$=$	τ_d	$=$		
J_t	$=$	σ_{ls}	$=$		
$\sigma(N)$	$=$	σ_{lls}	$=$		
$\sigma(M_x)$	$=$	σ_{ld}	$=$		



Calcolo degli sforzi in * con forze baricentriche essendo * il punto medio di BC

Rappresentare sul foglio, in scala: G, assi u,v, ellisse d'inertia, C.T.

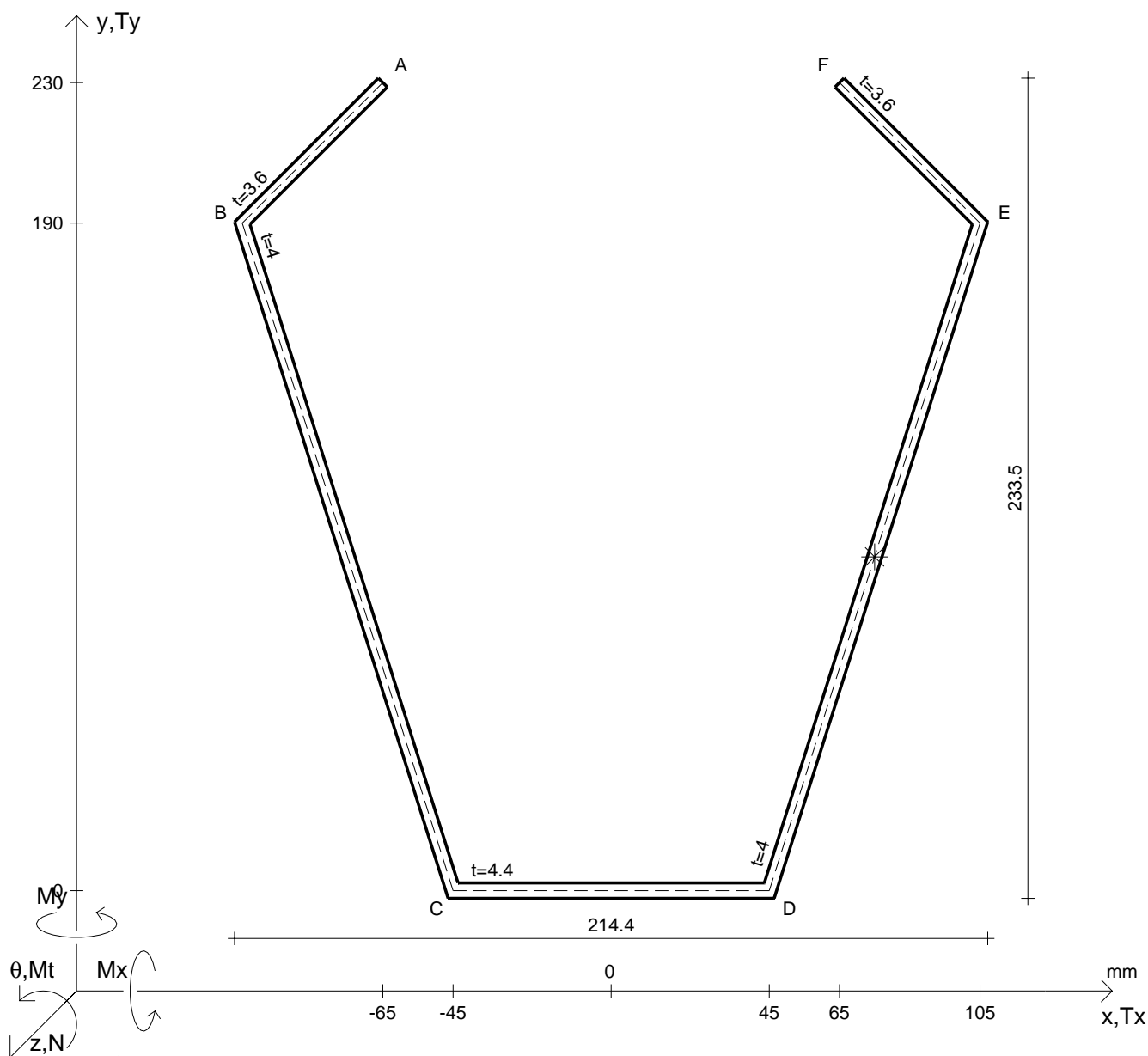
Rappresentare i cerchi di Mohr

Operare le conclusioni sulla verifica di resistenza in *

Facoltativo: rappresentare l'asse neutro e l'andamento delle tens. normali.

Facoltativo: rappresentare l'andamento delle tens. tangenziali.

N	$= 70500 \text{ N}$	M_x	$= -1840000 \text{ Nmm}$	G	$= 73000 \text{ N/mm}^2$
T_y	$= 39800 \text{ N}$	σ_a	$= 220 \text{ N/mm}^2$	σ_{lld}	$=$
M_t	$= 130000 \text{ Nmm}$	E	$= 200000 \text{ N/mm}^2$	σ_{tresca}	$=$
y_G	$=$	$\tau(M_t)_d$	$=$	σ_{mises}	$=$
u_o	$=$	$\tau(T_{yc})$	$=$	$\sigma_{st.ven}$	$=$
v_o	$=$	$\tau(T_{yb})_d$	$=$	θ_t	$=$
A^*	$=$	$\tau(T_y)_s$	$=$	r_u	$=$
S_u^*	$=$	$\tau(T_y)_d$	$=$	r_v	$=$
C_w	$=$	σ	$=$	r_o	$=$
J_u	$=$	τ_s	$=$	J_p	$=$
J_v	$=$	τ_d	$=$		
J_t	$=$	σ_{ls}	$=$		
$\sigma(N)$	$=$	σ_{lls}	$=$		
$\sigma(M_x)$	$=$	σ_{ld}	$=$		



Calcolo degli sforzi in * con forze baricentriche essendo * il punto medio di DE

Rappresentare sul foglio, in scala: G, assi u,v, ellisse d'inertia, C.T.

Rappresentare i cerchi di Mohr

Operare le conclusioni sulla verifica di resistenza in *

Facoltativo: rappresentare l'asse neutro e l'andamento delle tens. normali.

Facoltativo: rappresentare l'andamento delle tens. tangenziali.

$$\begin{aligned} N &= 137000 \text{ N} \\ T_y &= 70000 \text{ N} \\ M_t &= 193000 \text{ Nmm} \end{aligned}$$

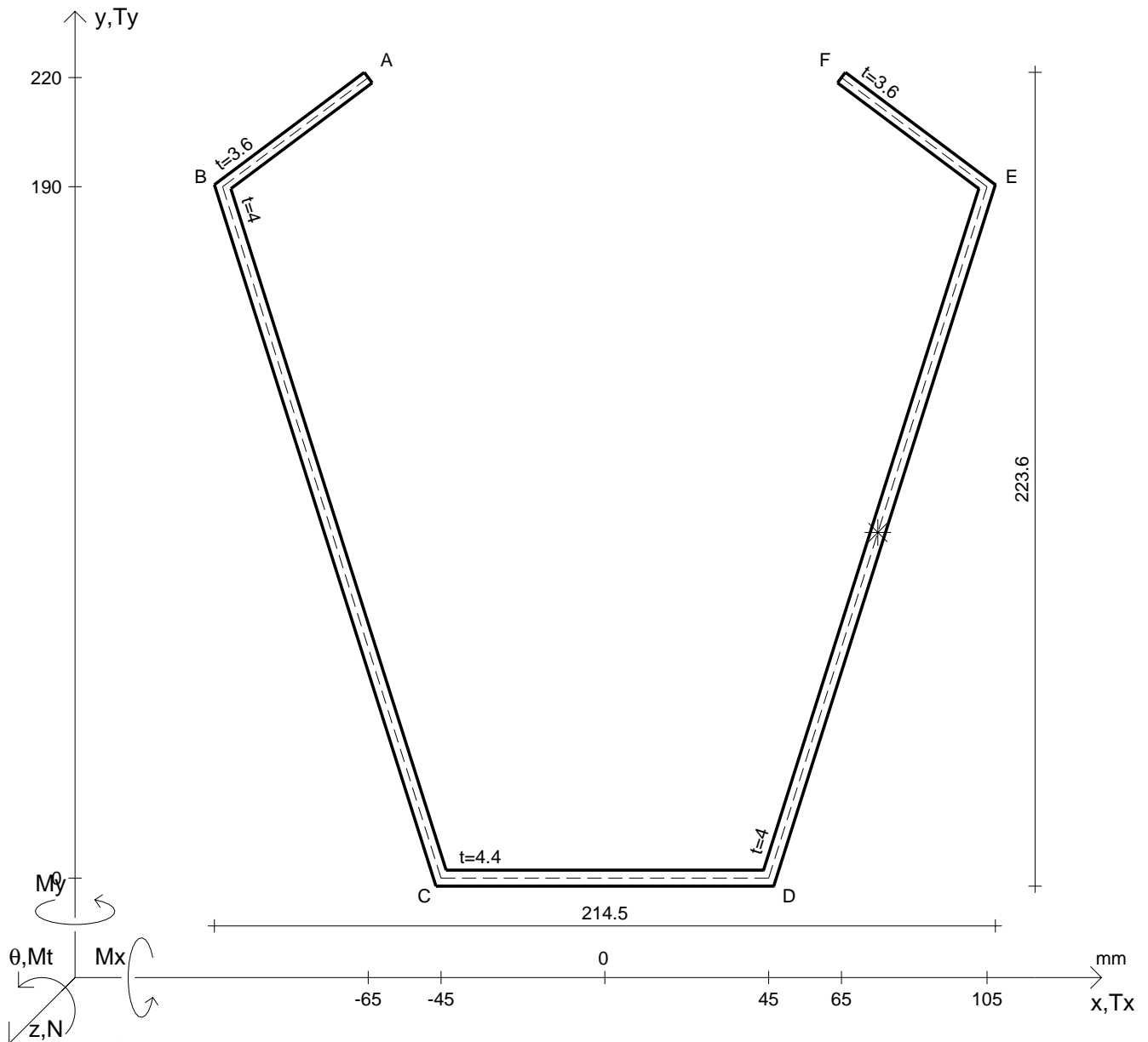
$$\begin{aligned} y_G &= \\ u_o &= \\ v_o &= \\ A^* &= \\ S_u &= \\ C_w &= \\ J_u &= \\ J_v &= \\ J_t &= \\ \sigma(N) &= \\ \sigma(M_x) &= \end{aligned}$$

$$\begin{aligned} M_x &= -8800000 \text{ Nmm} \\ \sigma_a &= 220 \text{ N/mm}^2 \\ E &= 200000 \text{ N/mm}^2 \end{aligned}$$

$$\begin{aligned} \tau(M_t)_d &= \\ \tau(T_{yc}) &= \\ \tau(T_{yb})_d &= \\ \tau(T_y)_s &= \\ \tau(T_y)_d &= \\ \sigma &= \\ \tau_s &= \\ \tau_d &= \\ \sigma_{ls} &= \\ \sigma_{lls} &= \\ \sigma_{ld} &= \end{aligned}$$

$$G = 73000 \text{ N/mm}^2$$

$$\begin{aligned} \sigma_{lld} &= \\ \sigma_{tresca} &= \\ \sigma_{mises} &= \\ \sigma_{st.ven} &= \\ \theta_t &= \\ r_u &= \\ r_v &= \\ r_o &= \\ J_p &= \end{aligned}$$



Calcolo degli sforzi in * con forze baricentriche essendo * il punto medio di DE

Rappresentare sul foglio, in scala: G, assi u,v, ellisse d'inertia, C.T.

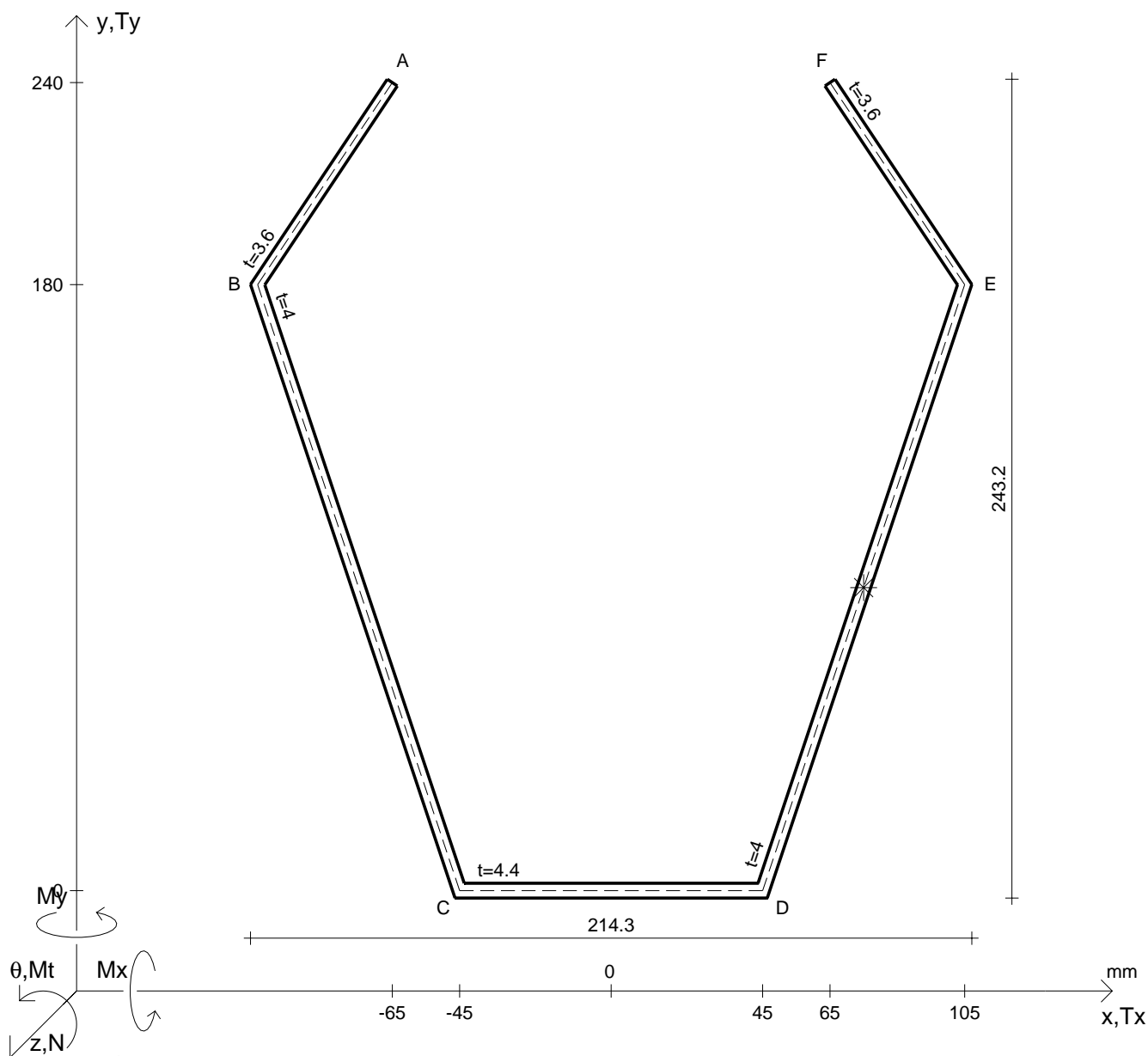
Rappresentare i cerchi di Mohr

Operare le conclusioni sulla verifica di resistenza in *

Facoltativo: rappresentare l'asse neutro e l'andamento delle tens. normali.

Facoltativo: rappresentare l'andamento delle tens. tangenziali.

N	$= 99800 \text{ N}$	M_x	$= -9440000 \text{ Nmm}$	G	$= 73000 \text{ N/mm}^2$
T_y	$= 76000 \text{ N}$	σ_a	$= 220 \text{ N/mm}^2$	σ_{lld}	$=$
M_t	$= 210000 \text{ Nmm}$	E	$= 200000 \text{ N/mm}^2$	σ_{tresca}	$=$
y_G	$=$	$\tau(M_t)_d$	$=$	σ_{mises}	$=$
u_o	$=$	$\tau(T_{yc})$	$=$	$\sigma_{st.ven}$	$=$
v_o	$=$	$\tau(T_{yb})_d$	$=$	θ_t	$=$
A^*	$=$	$\tau(T_y)_s$	$=$	r_u	$=$
S_u	$=$	$\tau(T_y)_d$	$=$	r_v	$=$
C_w	$=$	σ	$=$	r_o	$=$
J_u	$=$	τ_s	$=$	J_p	$=$
J_v	$=$	τ_d	$=$		
J_t	$=$	σ_{ls}	$=$		
$\sigma(N)$	$=$	σ_{lls}	$=$		
$\sigma(M_x)$	$=$	σ_{ld}	$=$		



Calcolo degli sforzi in * con forze baricentriche essendo * il punto medio di DE

Rappresentare sul foglio, in scala: G, assi u,v, ellisse d'inertia, C.T.

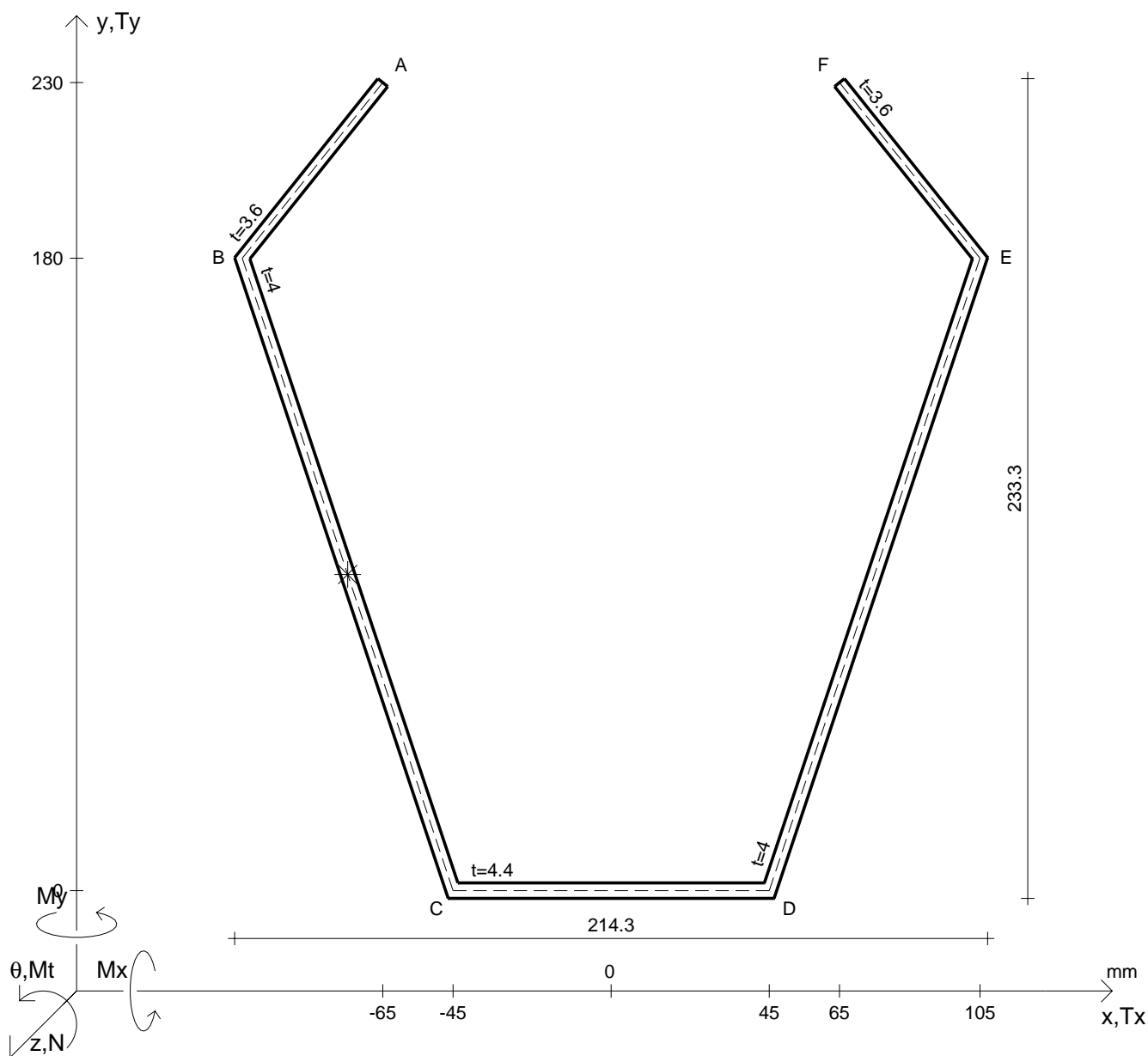
Rappresentare i cerchi di Mohr

Operare le conclusioni sulla verifica di resistenza in *

Facoltativo: rappresentare l'asse neutro e l'andamento delle tens. normali.

Facoltativo: rappresentare l'andamento delle tens. tangenziali.

N	$= 114000 \text{ N}$	M_x	$= -7110000 \text{ Nmm}$	G	$= 73000 \text{ N/mm}^2$
T_y	$= 88900 \text{ N}$	σ_a	$= 220 \text{ N/mm}^2$	σ_{lld}	$=$
M_t	$= 234000 \text{ Nmm}$	E	$= 200000 \text{ N/mm}^2$	σ_{tresca}	$=$
y_G	$=$	$\tau(M_t)_d$	$=$	σ_{mises}	$=$
u_o	$=$	$\tau(T_{yc})$	$=$	$\sigma_{st.ven}$	$=$
v_o	$=$	$\tau(T_{yb})_d$	$=$	θ_t	$=$
A^*	$=$	$\tau(T_y)_s$	$=$	r_u	$=$
S_u	$=$	$\tau(T_y)_d$	$=$	r_v	$=$
C_w	$=$	σ	$=$	r_o	$=$
J_u	$=$	τ_s	$=$	J_p	$=$
J_v	$=$	τ_d	$=$		
J_t	$=$	σ_{ls}	$=$		
$\sigma(N)$	$=$	σ_{lls}	$=$		
$\sigma(M_x)$	$=$	σ_{ld}	$=$		



Calcolo degli sforzi in * con forze baricentriche essendo * il punto medio di BC

Rappresentare sul foglio, in scala: G, assi u,v, ellisse d'inerzia, C.T.

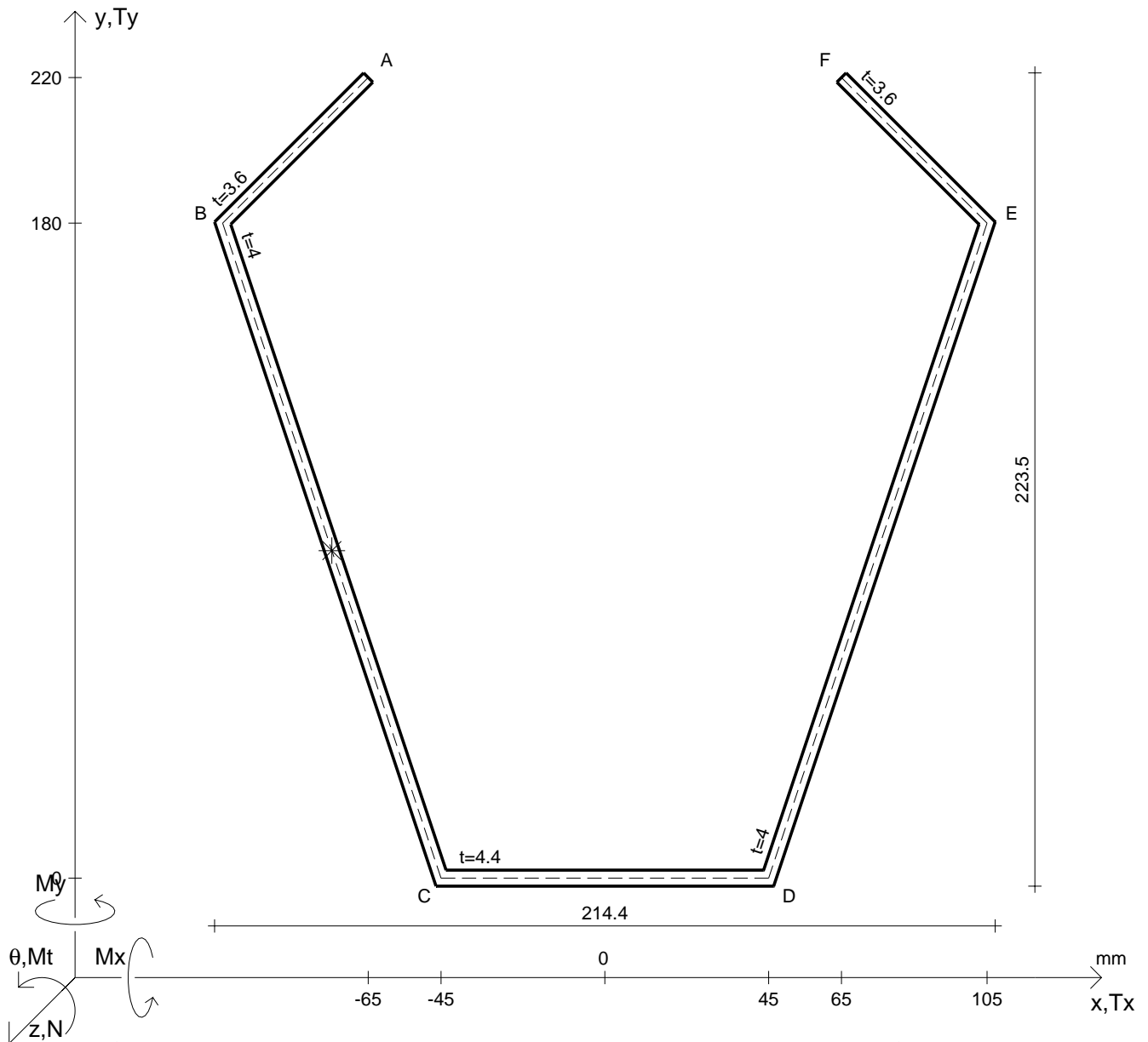
Rappresentare i cerchi di Mohr

Operare le conclusioni sulla verifica di resistenza in *

Facoltativo: rappresentare l'asse neutro e l'andamento delle tens. normali.

Facoltativo: rappresentare l'andamento delle tens. tangenziali.

N	$= 124000 \text{ N}$	M_x	$= -7620000 \text{ Nmm}$	G	$= 73000 \text{ N/mm}^2$
T_y	$= 93900 \text{ N}$	σ_a	$= 220 \text{ N/mm}^2$	σ_{lld}	$=$
M_t	$= 170000 \text{ Nmm}$	E	$= 200000 \text{ N/mm}^2$	σ_{tresca}	$=$
y_G	$=$	$\tau(M_t)_d$	$=$	σ_{mises}	$=$
u_o	$=$	$\tau(T_{yc})$	$=$	$\sigma_{st.ven}$	$=$
v_o	$=$	$\tau(T_{yb})_d$	$=$	θ_t	$=$
A^*	$=$	$\tau(T_y)_s$	$=$	r_u	$=$
S_u	$=$	$\tau(T_y)_d$	$=$	r_v	$=$
C_w	$=$	σ	$=$	r_o	$=$
J_u	$=$	τ_s	$=$	J_p	$=$
J_v	$=$	τ_d	$=$		
J_t	$=$	σ_{ls}	$=$		
$\sigma(N)$	$=$	σ_{lls}	$=$		
$\sigma(M_x)$	$=$	σ_{ld}	$=$		



Calcolo degli sforzi in * con forze baricentriche essendo * il punto medio di BC

Rappresentare sul foglio, in scala: G, assi u,v, ellisse d'inertia, C.T.

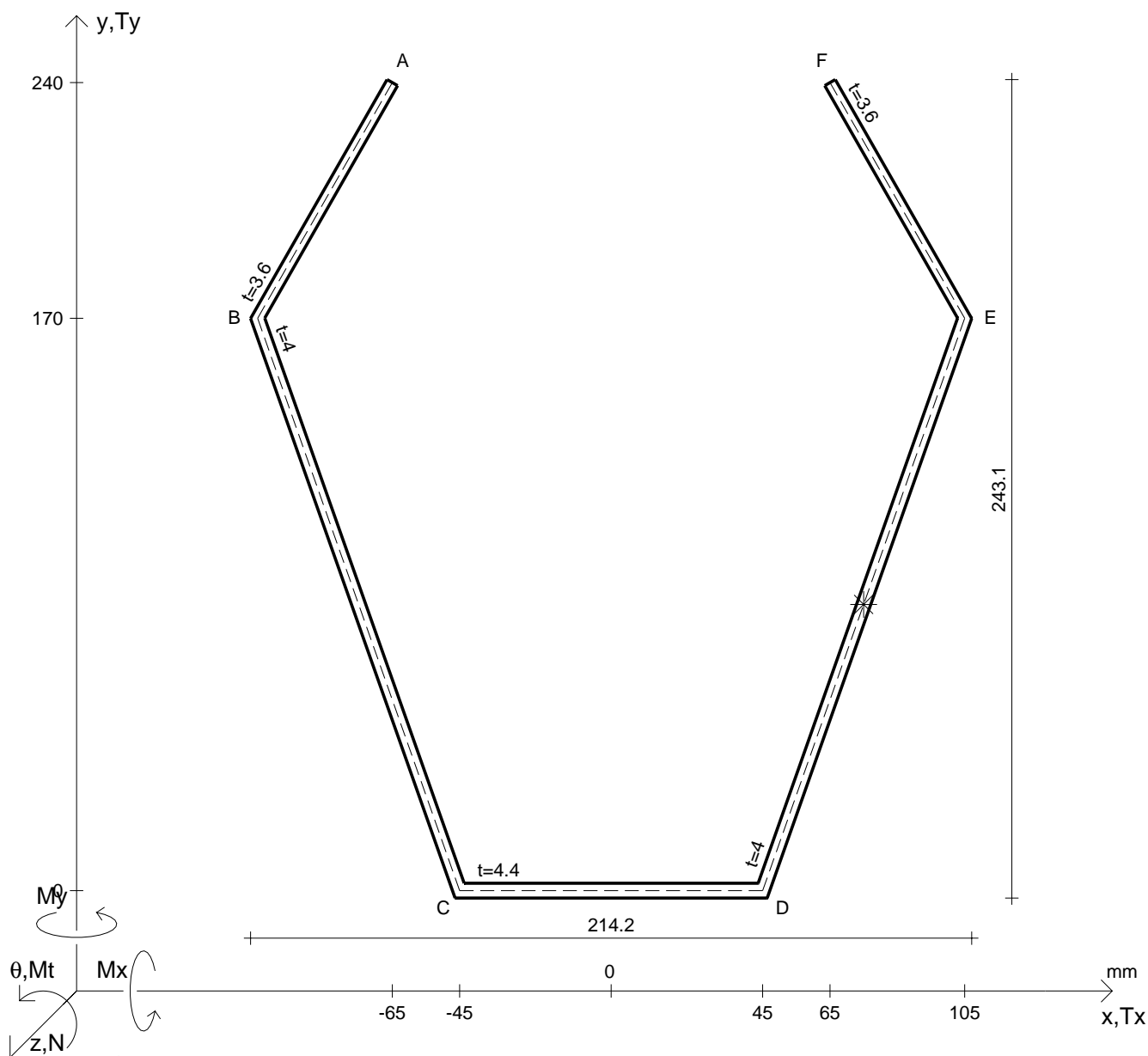
Rappresentare i cerchi di Mohr

Operare le conclusioni sulla verifica di resistenza in *

Facoltativo: rappresentare l'asse neutro e l'andamento delle tens. normali.

Facoltativo: rappresentare l'andamento delle tens. tangenziali.

N	$= 133000 \text{ N}$	M_x	$= -8140000 \text{ Nmm}$	G	$= 73000 \text{ N/mm}^2$
T_y	$= 67000 \text{ N}$	σ_a	$= 220 \text{ N/mm}^2$	σ_{lld}	$=$
M_t	$= 187000 \text{ Nmm}$	E	$= 200000 \text{ N/mm}^2$	σ_{tresca}	$=$
y_G	$=$	$\tau(M_t)_d$	$=$	σ_{mises}	$=$
u_o	$=$	$\tau(T_{yc})$	$=$	$\sigma_{st.ven}$	$=$
v_o	$=$	$\tau(T_{yb})_d$	$=$	θ_t	$=$
A^*	$=$	$\tau(T_y)_s$	$=$	r_u	$=$
S_u	$=$	$\tau(T_y)_d$	$=$	r_v	$=$
C_w	$=$	σ	$=$	r_o	$=$
J_u	$=$	τ_s	$=$	J_p	$=$
J_v	$=$	τ_d	$=$		
J_t	$=$	σ_{ls}	$=$		
$\sigma(N)$	$=$	σ_{lls}	$=$		
$\sigma(M_x)$	$=$	σ_{ld}	$=$		



Calcolo degli sforzi in * con forze baricentriche essendo * il punto medio di DE

Rappresentare sul foglio, in scala: G, assi u,v, ellisse d'inertia, C.T.

Rappresentare i cerchi di Mohr

Operare le conclusioni sulla verifica di resistenza in *

Facoltativo: rappresentare l'asse neutro e l'andamento delle tens. normali.

Facoltativo: rappresentare l'andamento delle tens. tangenziali.

$$\begin{aligned} N &= 101000 \text{ N} \\ T_y &= 80300 \text{ N} \\ M_t &= 211000 \text{ Nmm} \end{aligned}$$

$$y_G =$$

$$u_o =$$

$$v_o =$$

$$A^* =$$

$$S_u =$$

$$C_w =$$

$$J_u =$$

$$J_v =$$

$$J_t =$$

$$\sigma(N) =$$

$$\sigma(M_x) =$$

$$M_x = -9360000 \text{ Nmm}$$

$$\sigma_a = 220 \text{ N/mm}^2$$

$$E = 200000 \text{ N/mm}^2$$

$$\tau(M_t)_d =$$

$$\tau(T_{yc}) =$$

$$\tau(T_{yb})_d =$$

$$\tau(T_y)_s =$$

$$\tau(T_y)_d =$$

$$\sigma =$$

$$\tau_s =$$

$$\tau_d =$$

$$\sigma_{ls} =$$

$$\sigma_{lls} =$$

$$\sigma_{ld} =$$

$$G = 73000 \text{ N/mm}^2$$

$$\sigma_{lld} =$$

$$\sigma_{tresca} =$$

$$\sigma_{mises} =$$

$$\sigma_{st.ven} =$$

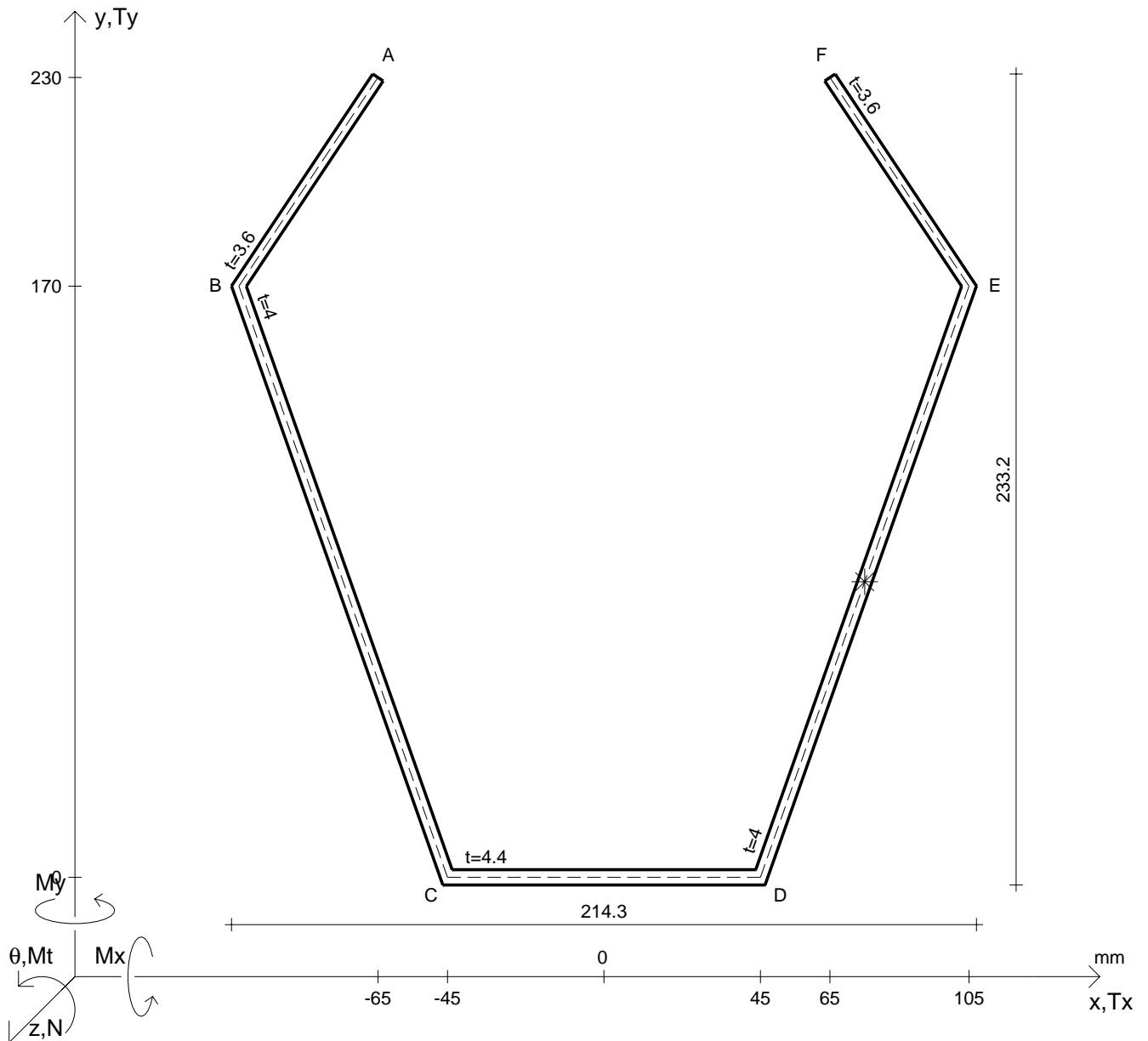
$$\theta_t =$$

$$r_u =$$

$$r_v =$$

$$r_o =$$

$$J_p =$$



Calcolo degli sforzi in * con forze baricentriche essendo * il punto medio di DE

Rappresentare sul foglio, in scala: G, assi u,v, ellisse d'inertia, C.T.

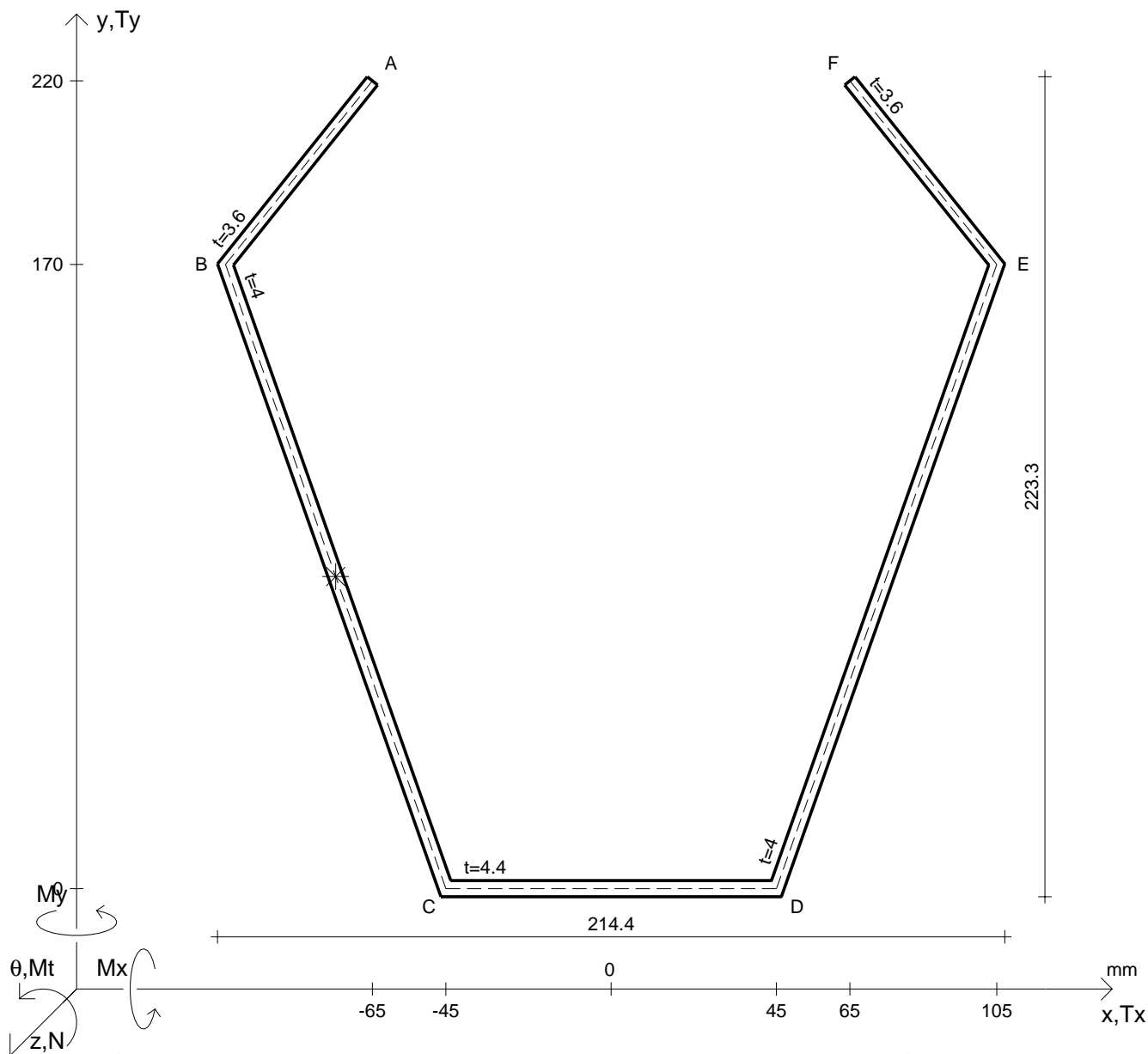
Rappresentare i cerchi di Mohr

Operare le conclusioni sulla verifica di resistenza in *

Facoltativo: rappresentare l'asse neutro e l'andamento delle tens. normali.

Facoltativo: rappresentare l'andamento delle tens. tangenziali.

N	$= 111000 \text{ N}$	M_x	$= -6580000 \text{ Nmm}$	G	$= 73000 \text{ N/mm}^2$
T_y	$= 85300 \text{ N}$	σ_a	$= 220 \text{ N/mm}^2$		
M_t	$= 226000 \text{ Nmm}$	E	$= 200000 \text{ N/mm}^2$		
y_G	$=$	$\tau(M_t)_d$	$=$	σ_{lld}	$=$
u_o	$=$	$\tau(T_{yc})$	$=$	σ_{tresca}	$=$
v_o	$=$	$\tau(T_{yb})_d$	$=$	σ_{mises}	$=$
A^*	$=$	$\tau(T_y)_s$	$=$	$\sigma_{st.ven}$	$=$
S_u	$=$	$\tau(T_y)_d$	$=$	θ_t	$=$
C_w	$=$	σ	$=$	r_u	$=$
J_u	$=$	τ_s	$=$	r_v	$=$
J_v	$=$	τ_d	$=$	r_o	$=$
J_t	$=$	σ_{ls}	$=$	J_p	$=$
$\sigma(N)$	$=$	σ_{lls}	$=$		
$\sigma(M_x)$	$=$	σ_{ld}	$=$		



Calcolo degli sforzi in * con forze baricentriche essendo * il punto medio di BC

Rappresentare sul foglio, in scala: G, assi u,v, ellisse d'inertia, C.T.

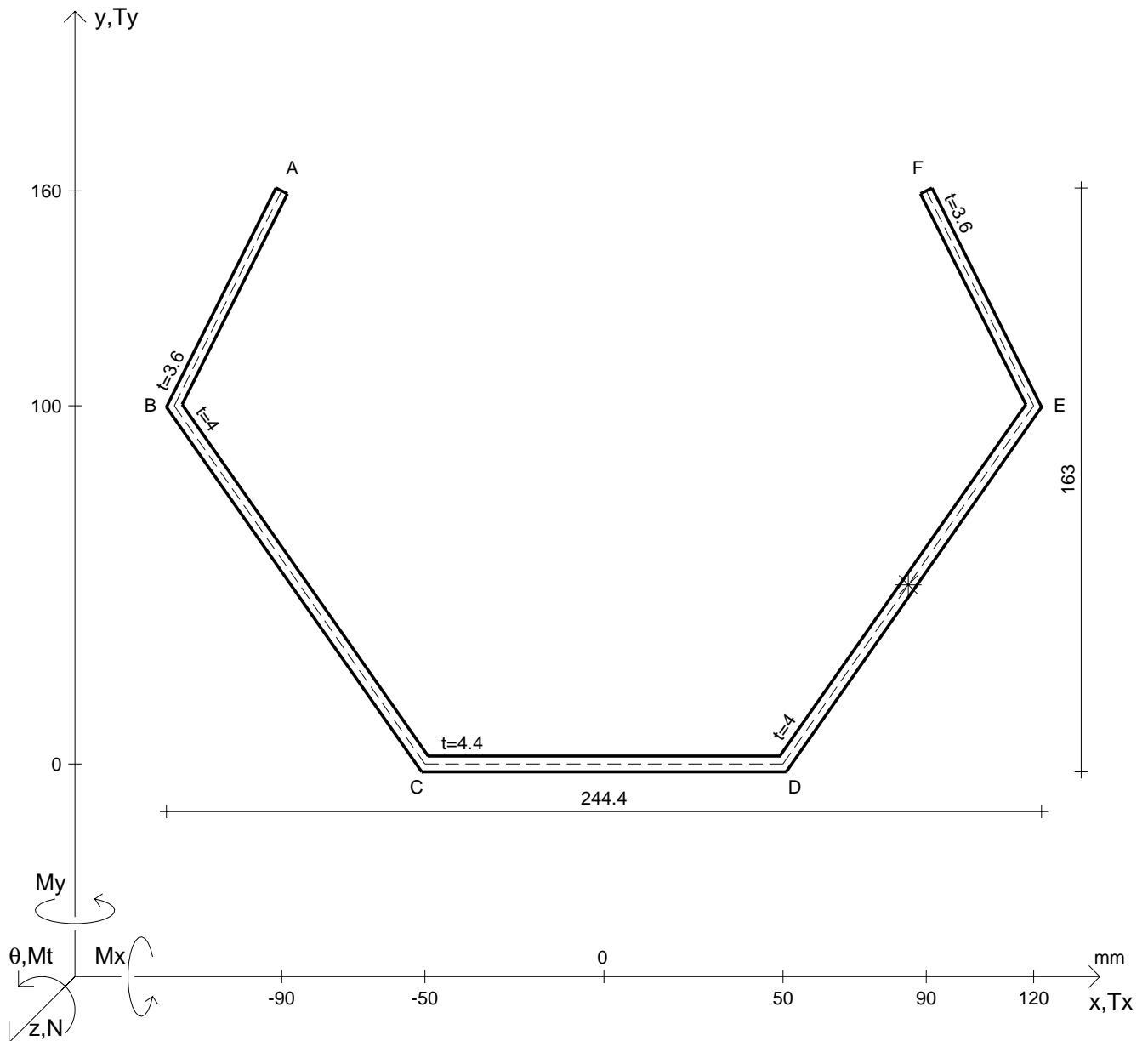
Rappresentare i cerchi di Mohr

Operare le conclusioni sulla verifica di resistenza in *

Facoltativo: rappresentare l'asse neutro e l'andamento delle tens. normali.

Facoltativo: rappresentare l'andamento delle tens. tangenziali.

N	$= 120000 \text{ N}$	M_x	$= -7040000 \text{ Nmm}$	G	$= 73000 \text{ N/mm}^2$
T_y	$= 89900 \text{ N}$	σ_a	$= 220 \text{ N/mm}^2$		
M_t	$= 164000 \text{ Nmm}$	E	$= 200000 \text{ N/mm}^2$		
y_G	$=$	$\tau(M_t)_d$	$=$	σ_{lld}	$=$
u_o	$=$	$\tau(T_{yc})$	$=$	σ_{tresca}	$=$
v_o	$=$	$\tau(T_{yb})_d$	$=$	σ_{mises}	$=$
A^*	$=$	$\tau(T_y)_s$	$=$	$\sigma_{st.ven}$	$=$
S_u	$=$	$\tau(T_y)_d$	$=$	θ_t	$=$
C_w	$=$	σ	$=$	r_u	$=$
J_u	$=$	τ_s	$=$	r_v	$=$
J_v	$=$	τ_d	$=$	r_o	$=$
J_t	$=$	σ_{ls}	$=$	J_p	$=$
$\sigma(N)$	$=$	σ_{lls}	$=$		
$\sigma(M_x)$	$=$	σ_{ld}	$=$		



Calcolo degli sforzi in * con forze baricentriche essendo * il punto medio di DE

Rappresentare sul foglio, in scala: G, assi u,v, ellisse d'inertia, C.T.

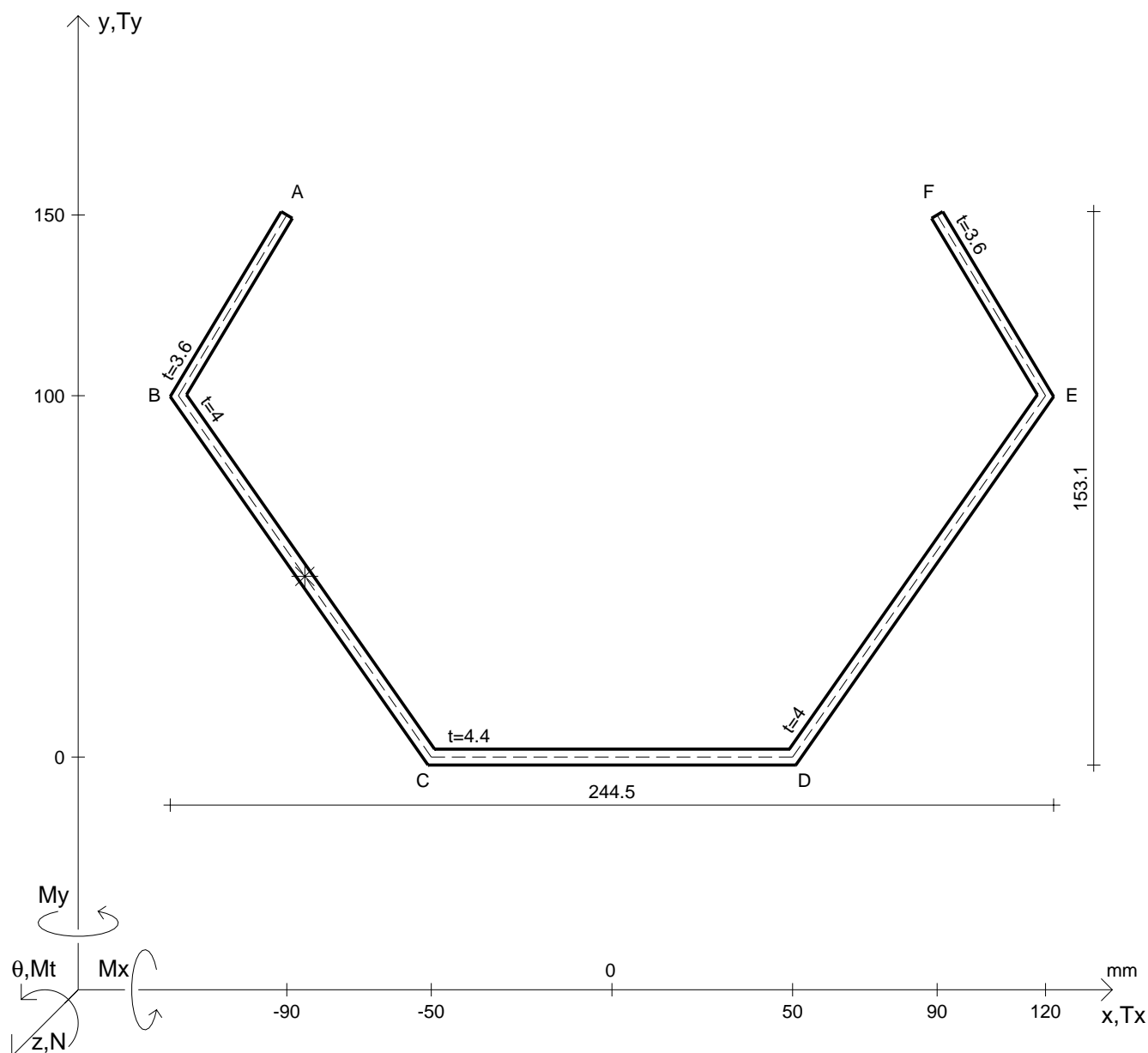
Rappresentare i cerchi di Mohr

Operare le conclusioni sulla verifica di resistenza in *

Facoltativo: rappresentare l'asse neutro e l'andamento delle tens. normali.

Facoltativo: rappresentare l'andamento delle tens. tangenziali.

N	$= 108000 \text{ N}$	M_x	$= -4120000 \text{ Nmm}$	G	$= 73000 \text{ N/mm}^2$
T_y	$= 47800 \text{ N}$	σ_a	$= 220 \text{ N/mm}^2$		
M_t	$= 152000 \text{ Nmm}$	E	$= 200000 \text{ N/mm}^2$		
y_G	$=$	$\tau(M_t)_d$	$=$	σ_{lld}	$=$
u_o	$=$	$\tau(T_{yc})$	$=$	σ_{tresca}	$=$
v_o	$=$	$\tau(T_{yb})_d$	$=$	σ_{mises}	$=$
A^*	$=$	$\tau(T_y)_s$	$=$	$\sigma_{st.ven}$	$=$
S_u	$=$	$\tau(T_y)_d$	$=$	θ_t	$=$
C_w	$=$	σ	$=$	r_u	$=$
J_u	$=$	τ_s	$=$	r_v	$=$
J_v	$=$	τ_d	$=$	r_o	$=$
J_t	$=$	σ_{ls}	$=$	J_p	$=$
$\sigma(N)$	$=$	σ_{lls}	$=$		
$\sigma(M_x)$	$=$	σ_{ld}	$=$		



Calcolo degli sforzi in * con forze baricentriche essendo * il punto medio di BC

Rappresentare sul foglio, in scala: G, assi u,v, ellisse d'inerzia, C.T.

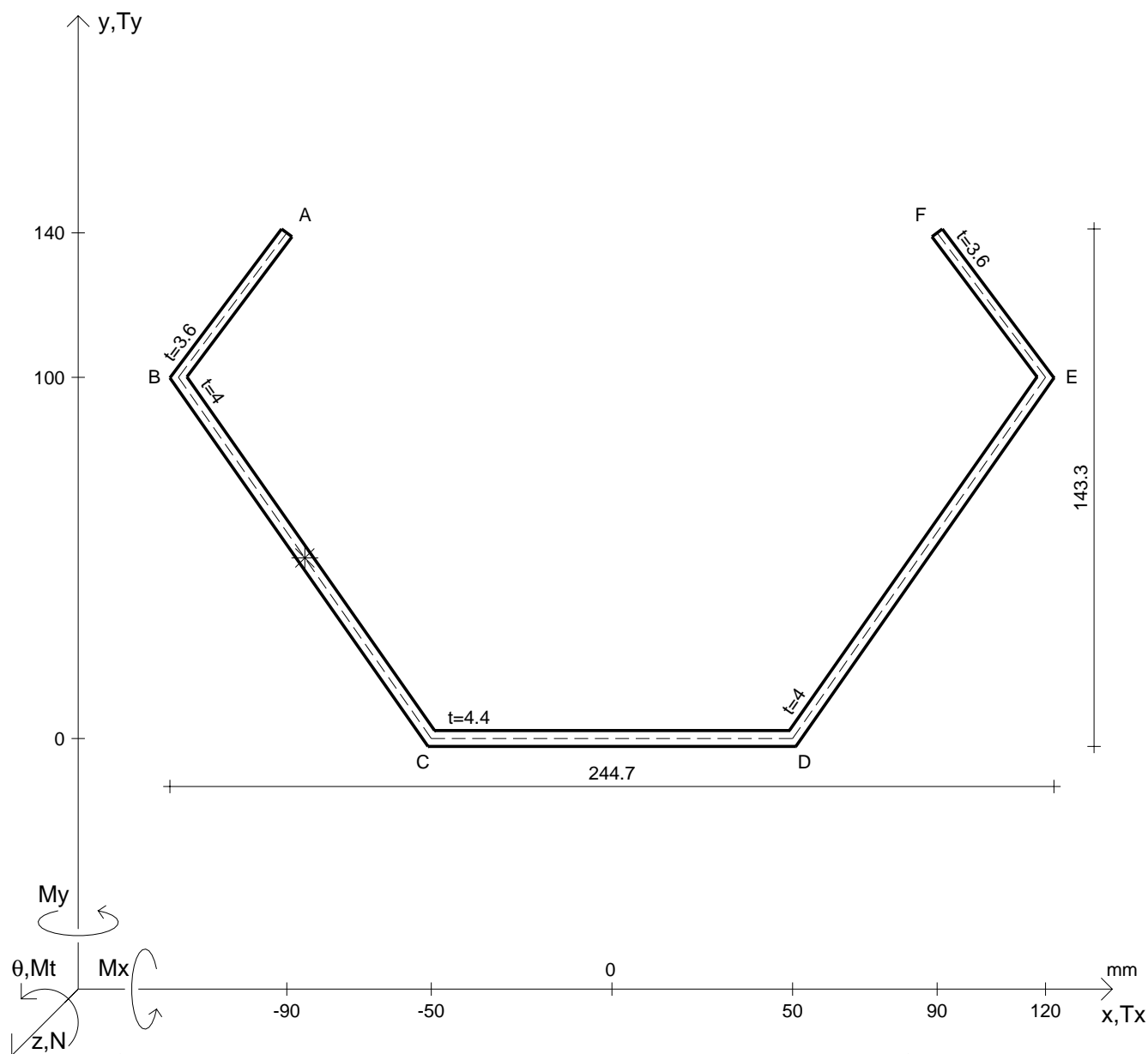
Rappresentare i cerchi di Mohr

Operare le conclusioni sulla verifica di resistenza in *

Facoltativo: rappresentare l'asse neutro e l'andamento delle tens. normali.

Facoltativo: rappresentare l'andamento delle tens. tangenziali.

N	$= 77700 \text{ N}$	M_x	$= -4160000 \text{ Nmm}$	G	$= 73000 \text{ N/mm}^2$
T_y	$= 50200 \text{ N}$	σ_a	$= 220 \text{ N/mm}^2$	σ_{lld}	$=$
M_t	$= 164000 \text{ Nmm}$	E	$= 200000 \text{ N/mm}^2$	σ_{tresca}	$=$
y_G	$=$	$\tau(M_t)_d$	$=$	σ_{mises}	$=$
u_o	$=$	$\tau(T_{yc})$	$=$	$\sigma_{st.ven}$	$=$
v_o	$=$	$\tau(T_{yb})_d$	$=$	θ_t	$=$
A^*	$=$	$\tau(T_y)_s$	$=$	r_u	$=$
S_u	$=$	$\tau(T_y)_d$	$=$	r_v	$=$
C_w	$=$	σ	$=$	r_o	$=$
J_u	$=$	τ_s	$=$	J_p	$=$
J_v	$=$	τ_d	$=$		
J_t	$=$	σ_{ls}	$=$		
$\sigma(N)$	$=$	σ_{lls}	$=$		
$\sigma(M_x)$	$=$	σ_{ld}	$=$		



Calcolo degli sforzi in * con forze baricentriche essendo * il punto medio di BC

Rappresentare sul foglio, in scala: G, assi u, v , ellisse d'inertia, C.T.

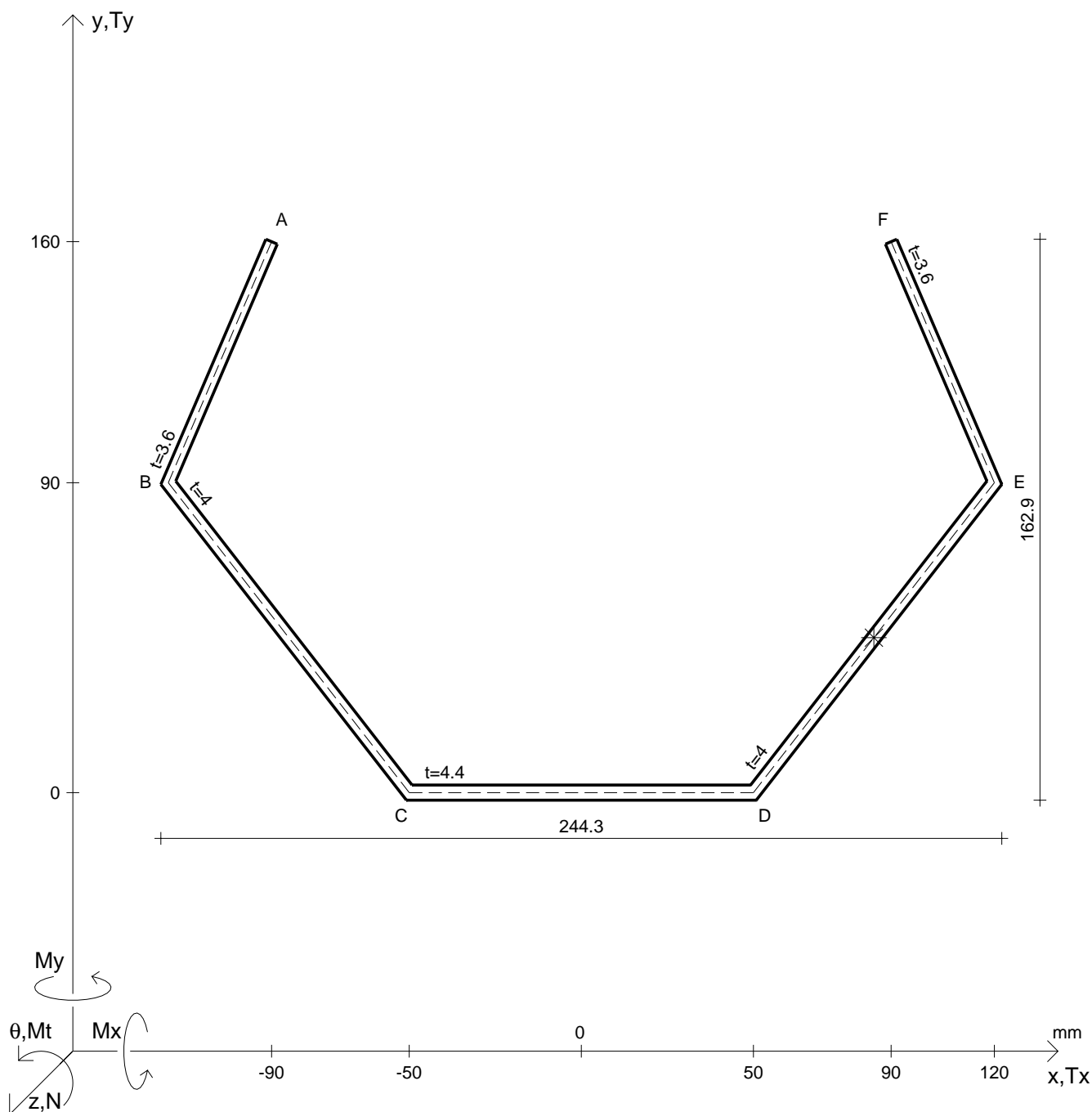
Rappresentare i cerchi di Mohr

Operare le conclusioni sulla verifica di resistenza in *

Facoltativo: rappresentare l'asse neutro e l'andamento delle tens. normali.

Facoltativo: rappresentare l'andamento delle tens. tangenziali.

N	$= 84200 \text{ N}$	M_x	$= -2860000 \text{ Nmm}$	G	$= 73000 \text{ N/mm}^2$
T_y	$= 52100 \text{ N}$	σ_a	$= 220 \text{ N/mm}^2$	σ_{lld}	$=$
M_t	$= 175000 \text{ Nmm}$	E	$= 200000 \text{ N/mm}^2$	σ_{tresca}	$=$
y_G	$=$	$\tau(M_t)_d$	$=$	σ_{mises}	$=$
u_o	$=$	$\tau(T_{yc})$	$=$	$\sigma_{st.ven}$	$=$
v_o	$=$	$\tau(T_{yb})_d$	$=$	θ_t	$=$
A^*	$=$	$\tau(T_y)_s$	$=$	r_u	$=$
S_u	$=$	$\tau(T_y)_d$	$=$	r_v	$=$
C_w	$=$	σ	$=$	r_o	$=$
J_u	$=$	τ_s	$=$	J_p	$=$
J_v	$=$	τ_d	$=$		
J_t	$=$	σ_{ls}	$=$		
$\sigma(N)$	$=$	σ_{lls}	$=$		
$\sigma(M_x)$	$=$	σ_{ld}	$=$		



Calcolo degli sforzi in * con forze baricentriche essendo * il punto medio di DE

Rappresentare sul foglio, in scala: G, assi u,v, ellisse d'inertia, C.T.

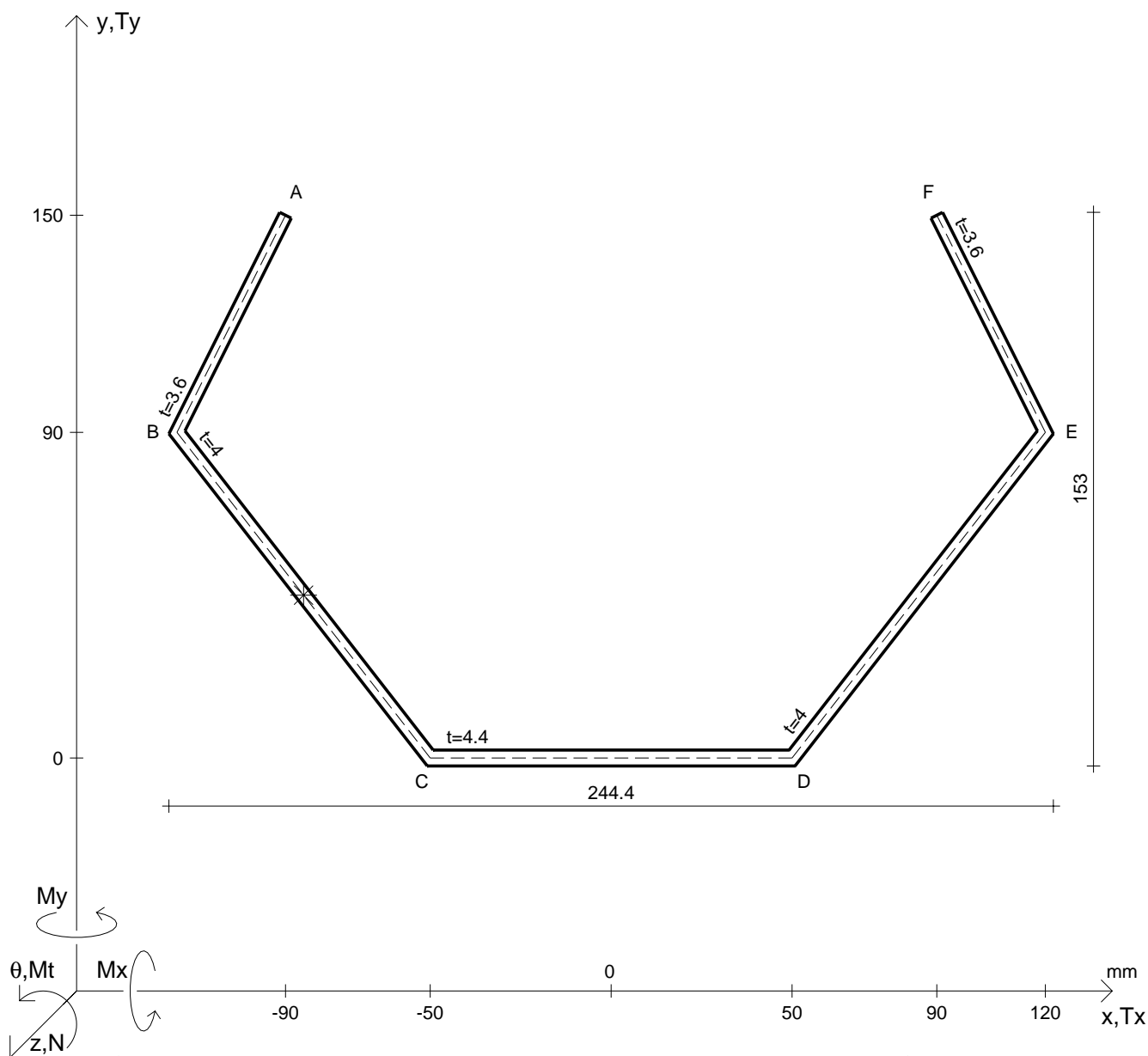
Rappresentare i cerchi di Mohr

Operare le conclusioni sulla verifica di resistenza in *

Facoltativo: rappresentare l'asse neutro e l'andamento delle tens. normali.

Facoltativo: rappresentare l'andamento delle tens. tangenziali.

N	= 98700 N	M_t	= 134000 Nmm	σ_a	= 220 N/mm ²	G	= 73000 N/mm ²
T_y	= 65000 N	M_x	= -3620000 Nmm	E	= 200000 N/mm ²	σ_{mises}	=
y_G	=	J_t	=	σ	=	$\sigma_{st.ven}$	=
u_o	=	$\sigma(N)$	=	τ_s	=	θ_t	=
v_o	=	$\sigma(M_x)$	=	τ_d	=	r_u	=
A^*	=	$\tau(M_t)_d$	=	σ_{ls}	=	r_v	=
S_u	=	$\tau(T_{yc})$	=	σ_{lls}	=	r_o	=
C_w	=	$\tau(T_{yb})_d$	=	σ_{ld}	=	J_p	=
J_u	=	$\tau(T_y)_s$	=	σ_{lld}	=		
J_v	=	$\tau(T_y)_d$	=	σ_{tresca}	=		



Calcolo degli sforzi in * con forze baricentriche essendo * il punto medio di BC

Rappresentare sul foglio, in scala: G, assi u,v, ellisse d'inertia, C.T.

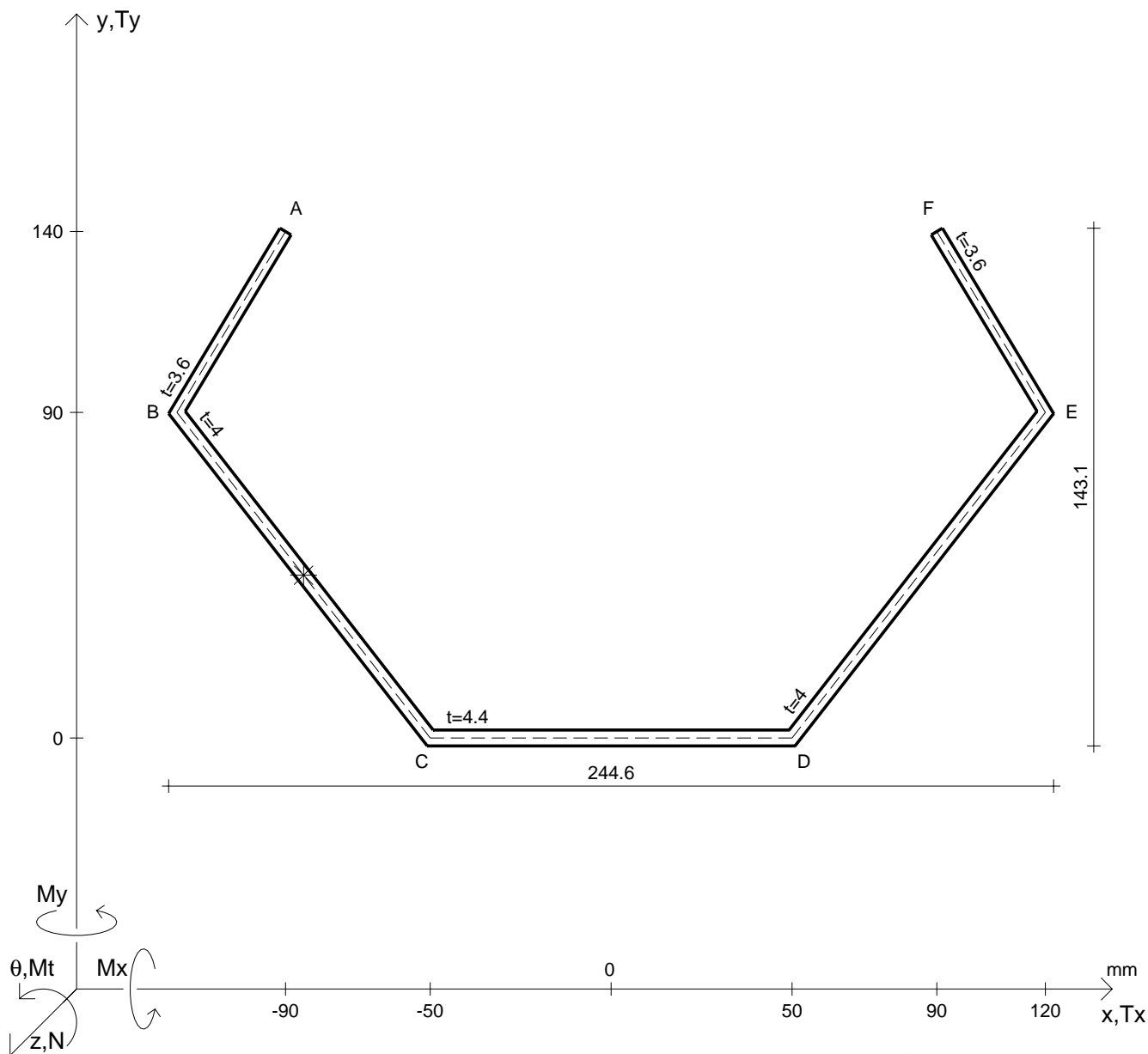
Rappresentare i cerchi di Mohr

Operare le conclusioni sulla verifica di resistenza in *

Facoltativo: rappresentare l'asse neutro e l'andamento delle tens. normali.

Facoltativo: rappresentare l'andamento delle tens. tangenziali.

N	$= 104000 \text{ N}$	M_x	$= -3660000 \text{ Nmm}$	G	$= 73000 \text{ N/mm}^2$
T_y	$= 44800 \text{ N}$	σ_a	$= 220 \text{ N/mm}^2$	σ_{lld}	$=$
M_t	$= 146000 \text{ Nmm}$	E	$= 200000 \text{ N/mm}^2$	σ_{tresca}	$=$
y_G	$=$	$\tau(M_t)_d$	$=$	σ_{mises}	$=$
u_o	$=$	$\tau(T_{yc})$	$=$	$\sigma_{st.ven}$	$=$
v_o	$=$	$\tau(T_{yb})_d$	$=$	θ_t	$=$
A^*	$=$	$\tau(T_y)_s$	$=$	r_u	$=$
S_u	$=$	$\tau(T_y)_d$	$=$	r_v	$=$
C_w	$=$	σ	$=$	r_o	$=$
J_u	$=$	τ_s	$=$	J_p	$=$
J_v	$=$	τ_d	$=$		
J_t	$=$	σ_{ls}	$=$		
$\sigma(N)$	$=$	σ_{lls}	$=$		
$\sigma(M_x)$	$=$	σ_{ld}	$=$		



Calcolo degli sforzi in * con forze baricentriche essendo * il punto medio di BC

Rappresentare sul foglio, in scala: G, assi u,v, ellisse d'inertia, C.T.

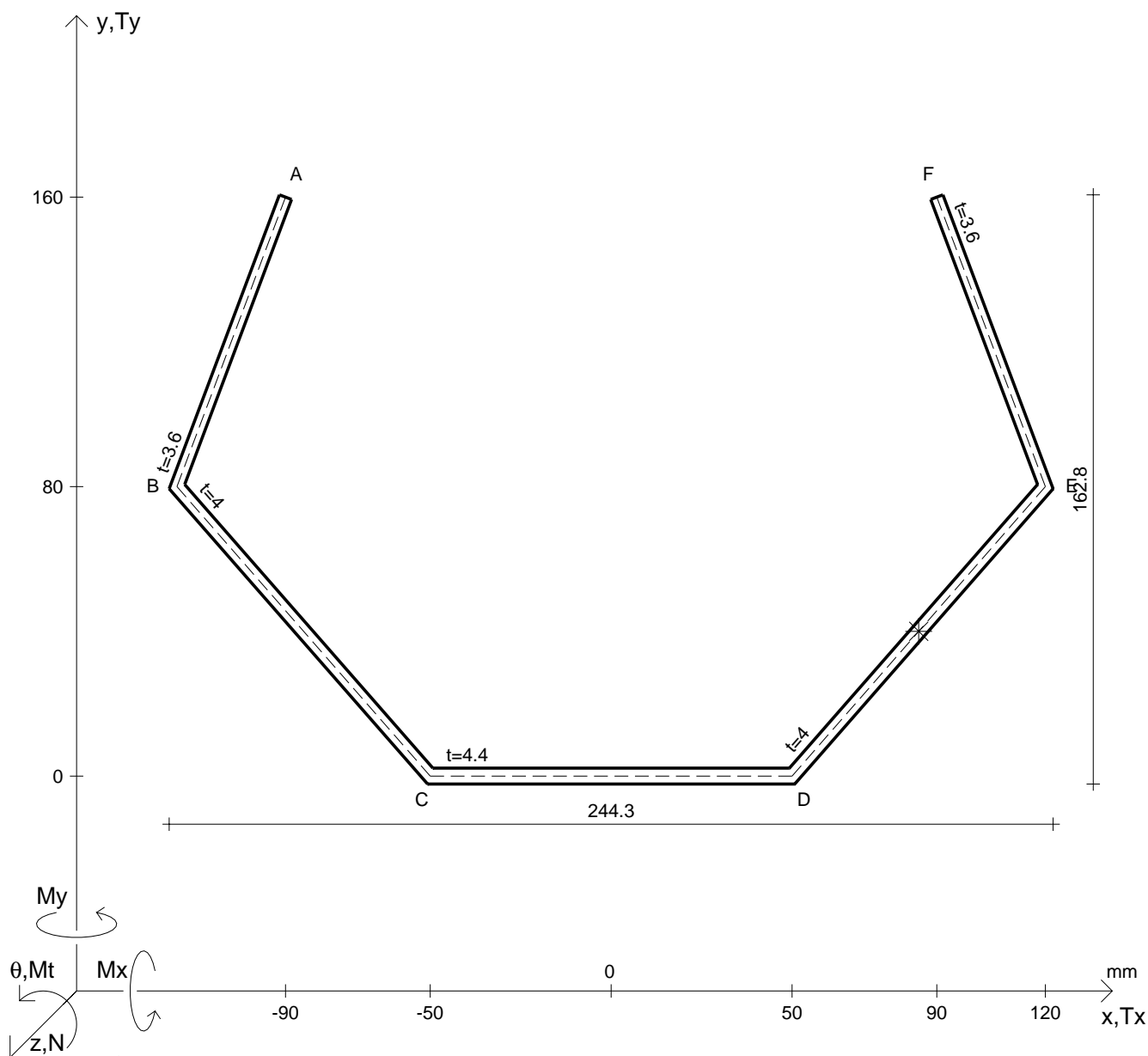
Rappresentare i cerchi di Mohr

Operare le conclusioni sulla verifica di resistenza in *

Facoltativo: rappresentare l'asse neutro e l'andamento delle tens. normali.

Facoltativo: rappresentare l'andamento delle tens. tangenziali.

N	$= 74900 \text{ N}$	M_x	$= -3670000 \text{ Nmm}$	G	$= 73000 \text{ N/mm}^2$
T_y	$= 46700 \text{ N}$	σ_a	$= 220 \text{ N/mm}^2$	σ_{lld}	$=$
M_t	$= 158000 \text{ Nmm}$	E	$= 200000 \text{ N/mm}^2$	σ_{tresca}	$=$
y_G	$=$	$\tau(M_t)_d$	$=$	σ_{mises}	$=$
u_o	$=$	$\tau(T_{yc})$	$=$	$\sigma_{st.ven}$	$=$
v_o	$=$	$\tau(T_{yb})_d$	$=$	θ_t	$=$
A^*	$=$	$\tau(T_y)_s$	$=$	r_u	$=$
S_u	$=$	$\tau(T_y)_d$	$=$	r_v	$=$
C_w	$=$	σ	$=$	r_o	$=$
J_u	$=$	τ_s	$=$	J_p	$=$
J_v	$=$	τ_d	$=$		
J_t	$=$	σ_{ls}	$=$		
$\sigma(N)$	$=$	σ_{lls}	$=$		
$\sigma(M_x)$	$=$	σ_{ld}	$=$		



Calcolo degli sforzi in * con forze baricentriche essendo * il punto medio di DE

Rappresentare sul foglio, in scala: G, assi u, v , ellisse d'inertia, C.T.

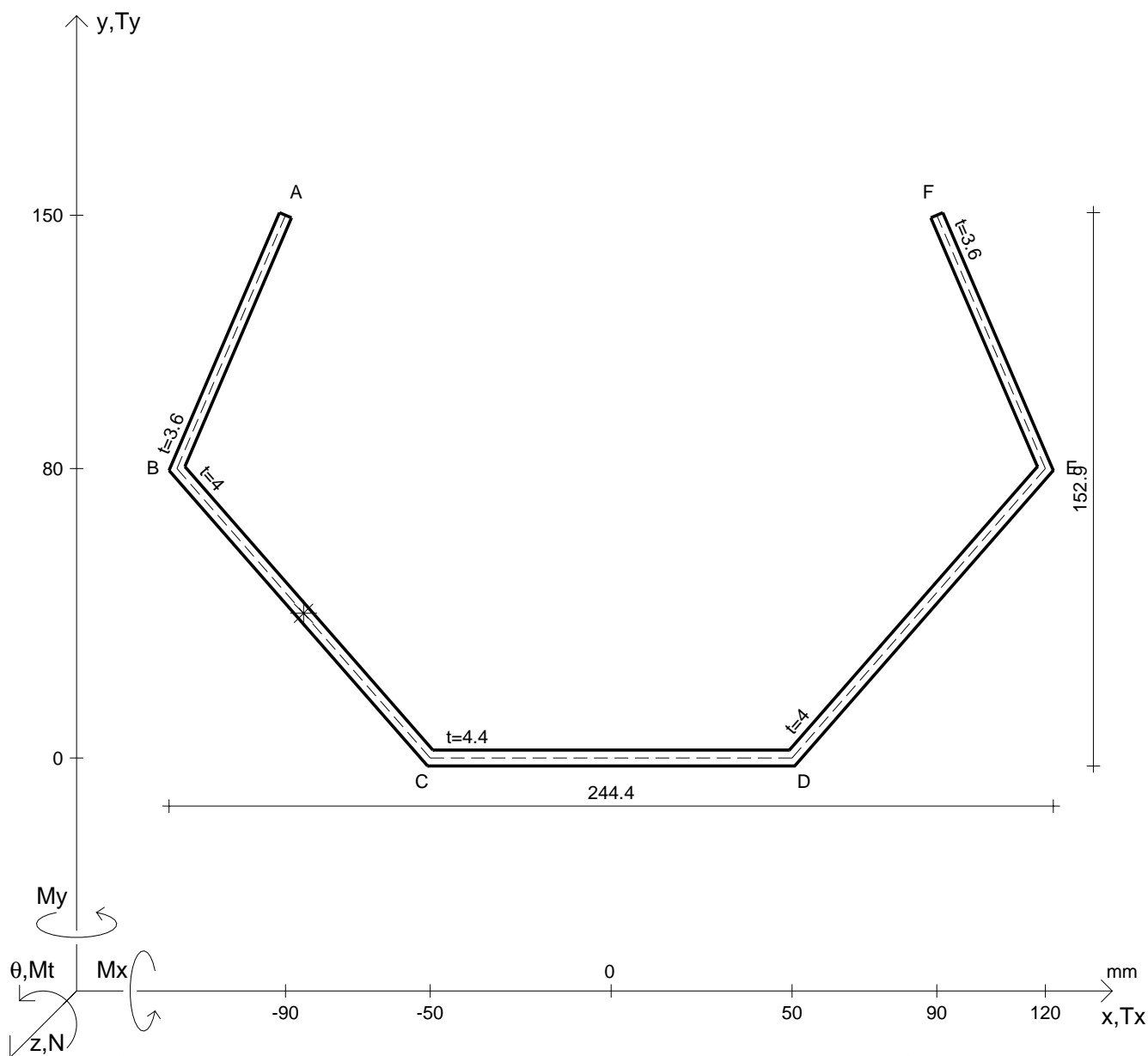
Rappresentare i cerchi di Mohr

Operare le conclusioni sulla verifica di resistenza in *

Facoltativo: rappresentare l'asse neutro e l'andamento delle tens. normali.

Facoltativo: rappresentare l'andamento delle tens. tangenziali.

N	$= 91900 \text{ N}$	M_x	$= -3270000 \text{ Nmm}$	G	$= 73000 \text{ N/mm}^2$
T_y	$= 57800 \text{ N}$	σ_a	$= 220 \text{ N/mm}^2$	σ_{lld}	$=$
M_t	$= 186000 \text{ Nmm}$	E	$= 200000 \text{ N/mm}^2$	σ_{tresca}	$=$
y_G	$=$	$\tau(M_t)_d$	$=$	σ_{mises}	$=$
u_o	$=$	$\tau(T_{yc})$	$=$	$\sigma_{st.ven}$	$=$
v_o	$=$	$\tau(T_{yb})_d$	$=$	θ_t	$=$
A^*	$=$	$\tau(T_y)_s$	$=$	r_u	$=$
S_u	$=$	$\tau(T_y)_d$	$=$	r_v	$=$
C_w	$=$	σ	$=$	r_o	$=$
J_u	$=$	τ_s	$=$	J_p	$=$
J_v	$=$	τ_d	$=$		
J_t	$=$	σ_{ls}	$=$		
$\sigma(N)$	$=$	σ_{lls}	$=$		
$\sigma(M_x)$	$=$	σ_{ld}	$=$		



Calcolo degli sforzi in * con forze baricentriche essendo * il punto medio di BC

Rappresentare sul foglio, in scala: G, assi u,v, ellisse d'inertia, C.T.

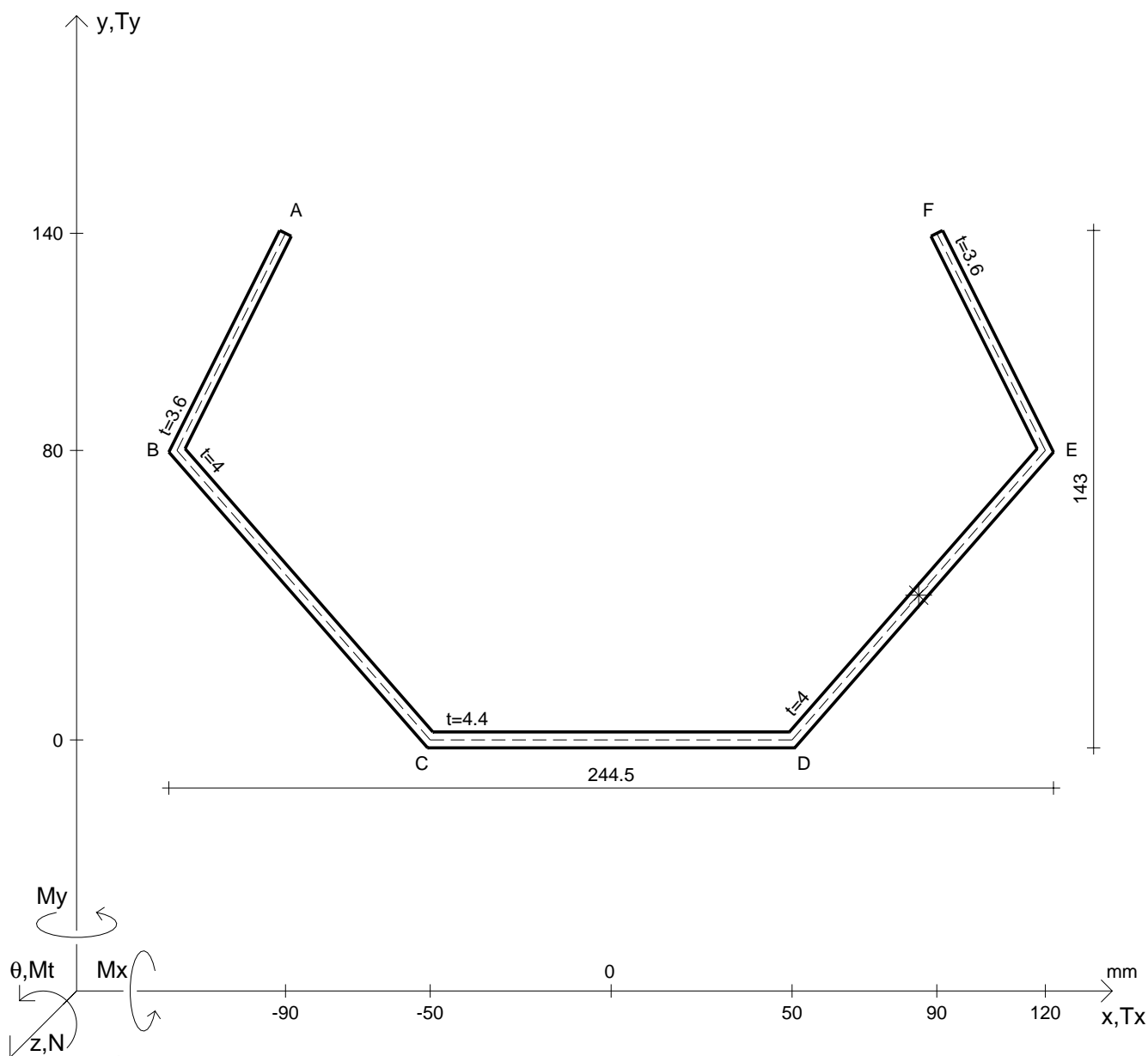
Rappresentare i cerchi di Mohr

Operare le conclusioni sulla verifica di resistenza in *

Facoltativo: rappresentare l'asse neutro e l'andamento delle tens. normali.

Facoltativo: rappresentare l'andamento delle tens. tangenziali.

N	$= 96200 \text{ N}$	M_x	$= -3240000 \text{ Nmm}$	G	$= 73000 \text{ N/mm}^2$
T_y	$= 60400 \text{ N}$	σ_a	$= 220 \text{ N/mm}^2$	σ_{lld}	$=$
M_t	$= 131000 \text{ Nmm}$	E	$= 200000 \text{ N/mm}^2$	σ_{tresca}	$=$
y_G	$=$	$\tau(M_t)_d$	$=$	σ_{mises}	$=$
u_o	$=$	$\tau(T_{yc})$	$=$	$\sigma_{st.ven}$	$=$
v_o	$=$	$\tau(T_{yb})_d$	$=$	θ_t	$=$
A^*	$=$	$\tau(T_y)_s$	$=$	r_u	$=$
S_u	$=$	$\tau(T_y)_d$	$=$	r_v	$=$
C_w	$=$	σ	$=$	r_o	$=$
J_u	$=$	τ_s	$=$	J_p	$=$
J_v	$=$	τ_d	$=$		
J_t	$=$	σ_{ls}	$=$		
$\sigma(N)$	$=$	σ_{lls}	$=$		
$\sigma(M_x)$	$=$	σ_{ld}	$=$		



Calcolo degli sforzi in * con forze baricentriche essendo * il punto medio di DE

Rappresentare sul foglio, in scala: G, assi u,v, ellisse d'inertia, C.T.

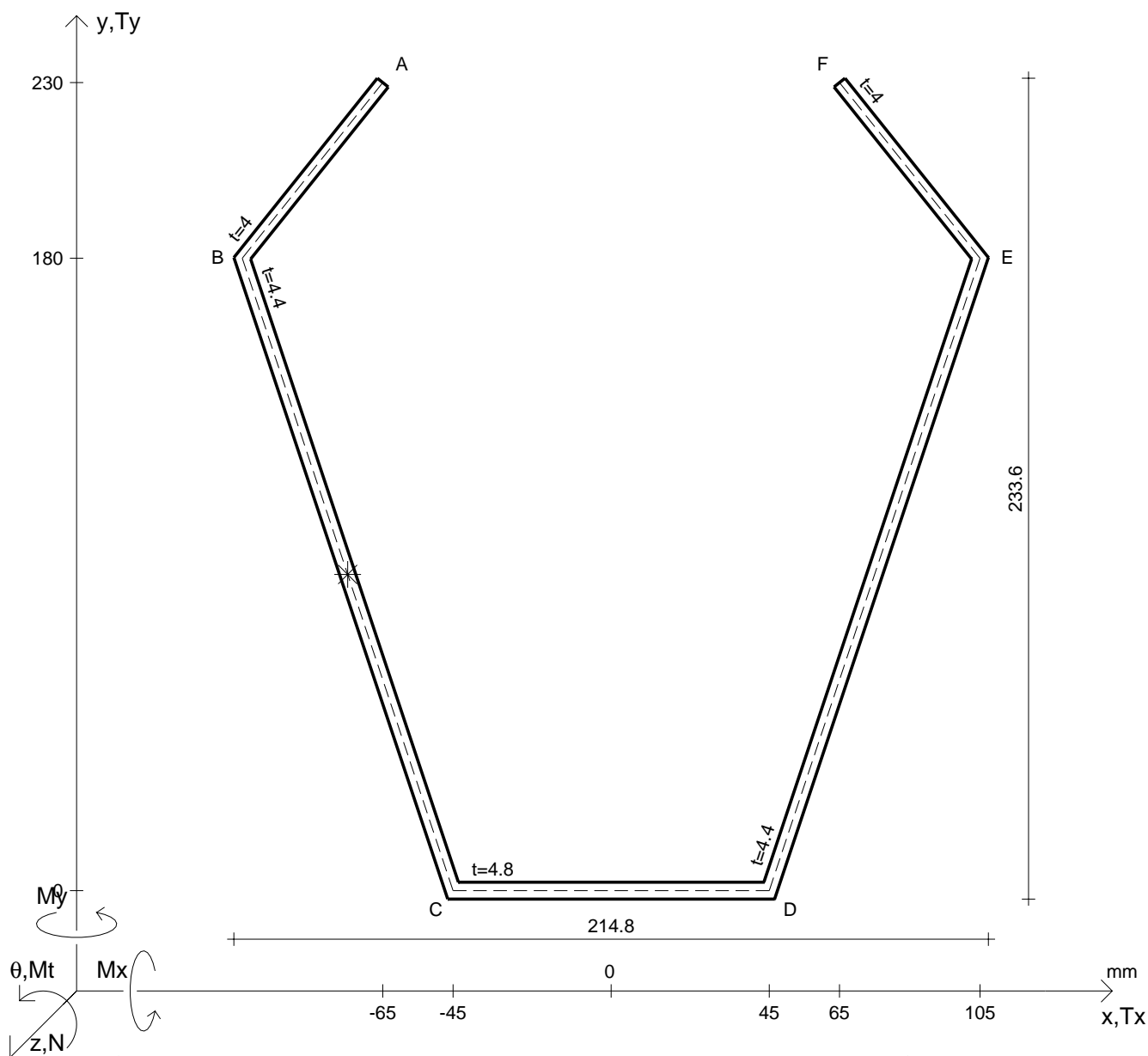
Rappresentare i cerchi di Mohr

Operare le conclusioni sulla verifica di resistenza in *

Facoltativo: rappresentare l'asse neutro e l'andamento delle tens. normali.

Facoltativo: rappresentare l'andamento delle tens. tangenziali.

N	$= 101000 \text{ N}$	M_x	$= -3220000 \text{ Nmm}$	G	$= 73000 \text{ N/mm}^2$
T_y	$= 41800 \text{ N}$	σ_a	$= 220 \text{ N/mm}^2$	σ_{lld}	$=$
M_t	$= 141000 \text{ Nmm}$	E	$= 200000 \text{ N/mm}^2$	σ_{tresca}	$=$
y_G	$=$	$\tau(M_t)_d$	$=$	σ_{mises}	$=$
u_o	$=$	$\tau(T_{yc})$	$=$	$\sigma_{st.ven}$	$=$
v_o	$=$	$\tau(T_{yb})_d$	$=$	θ_t	$=$
A^*	$=$	$\tau(T_y)_s$	$=$	r_u	$=$
S_u	$=$	$\tau(T_y)_d$	$=$	r_v	$=$
C_w	$=$	σ	$=$	r_o	$=$
J_u	$=$	τ_s	$=$	J_p	$=$
J_v	$=$	τ_d	$=$		
J_t	$=$	σ_{ls}	$=$		
$\sigma(N)$	$=$	σ_{lls}	$=$		
$\sigma(M_x)$	$=$	σ_{ld}	$=$		



Calcolo degli sforzi in * con forze baricentriche essendo * il punto medio di BC

Rappresentare sul foglio, in scala: G, assi u,v, ellisse d'inertia, C.T.

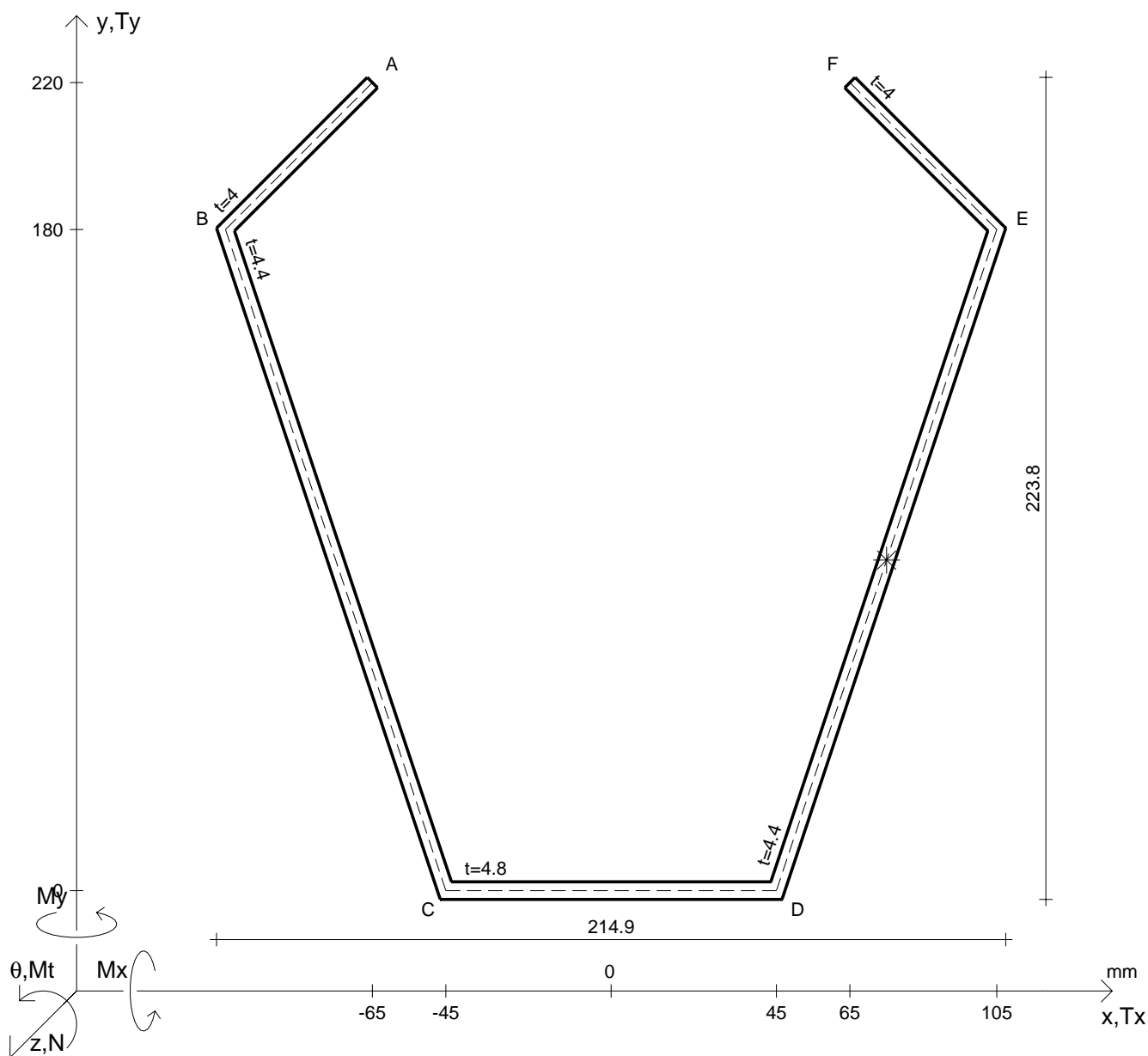
Rappresentare i cerchi di Mohr

Operare le conclusioni sulla verifica di resistenza in *

Facoltativo: rappresentare l'asse neutro e l'andamento delle tens. normali.

Facoltativo: rappresentare l'andamento delle tens. tangenziali.

N	$= 110000 \text{ N}$	M_x	$= -10100000 \text{ Nmm}$	G	$= 73000 \text{ N/mm}^2$
T_y	$= 85000 \text{ N}$	σ_a	$= 220 \text{ N/mm}^2$		
M_t	$= 255000 \text{ Nmm}$	E	$= 200000 \text{ N/mm}^2$		
y_G	$=$	$\tau(M_t)_d$	$=$	σ_{lld}	$=$
u_o	$=$	$\tau(T_{yc})$	$=$	σ_{tresca}	$=$
v_o	$=$	$\tau(T_{yb})_d$	$=$	σ_{mises}	$=$
A^*	$=$	$\tau(T_y)_s$	$=$	$\sigma_{st.ven}$	$=$
S_u	$=$	$\tau(T_y)_d$	$=$	θ_t	$=$
C_w	$=$	σ	$=$	r_u	$=$
J_u	$=$	τ_s	$=$	r_v	$=$
J_v	$=$	τ_d	$=$	r_o	$=$
J_t	$=$	σ_{ls}	$=$	J_p	$=$
$\sigma(N)$	$=$	σ_{lls}	$=$		
$\sigma(M_x)$	$=$	σ_{ld}	$=$		



Calcolo degli sforzi in * con forze baricentriche essendo * il punto medio di DE

Rappresentare sul foglio, in scala: G, assi u, v , ellisse d'inerzia, C.T.

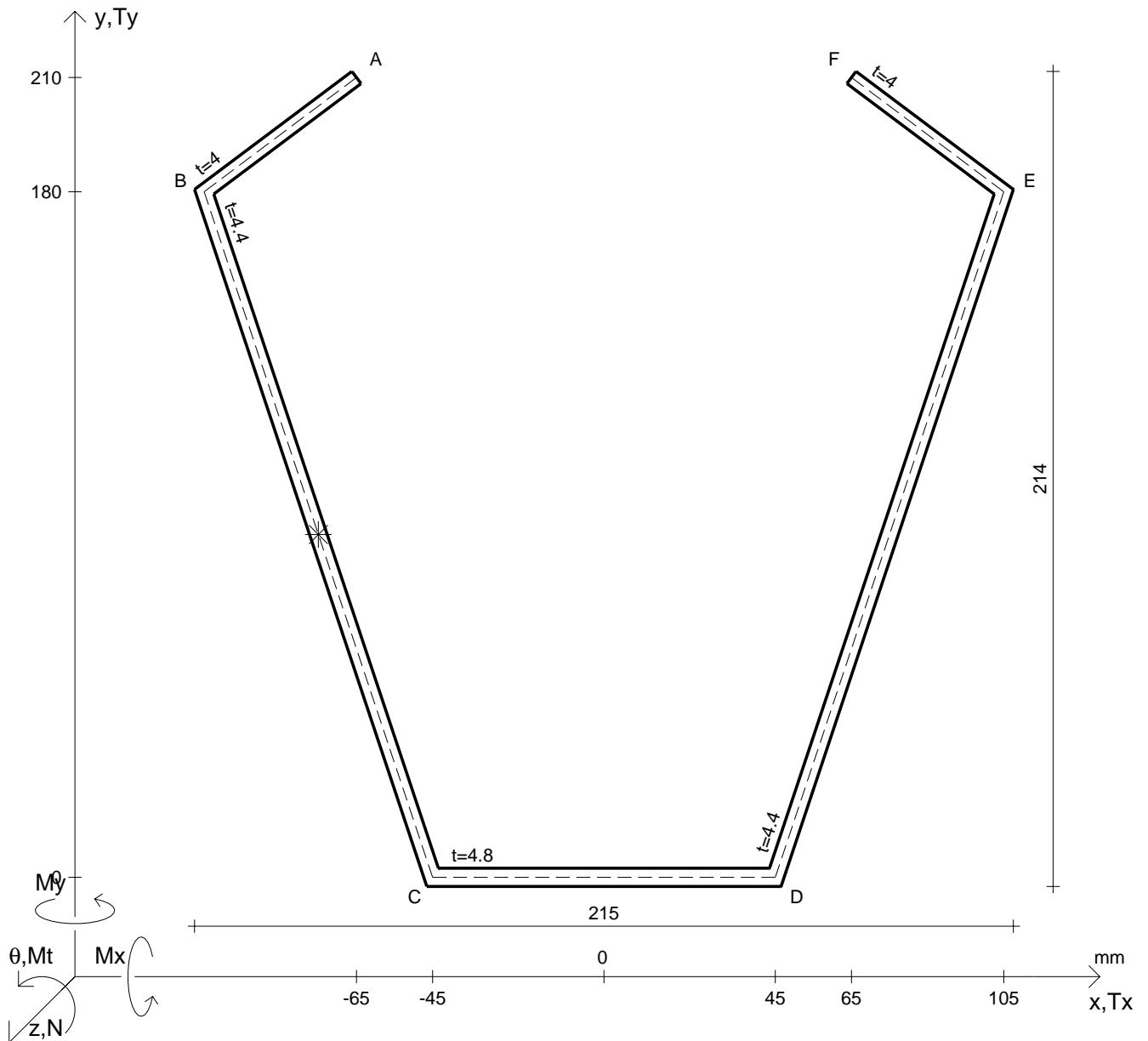
Rappresentare i cerchi di Mohr

Operare le conclusioni sulla verifica di resistenza in *

Facoltativo: rappresentare l'asse neutro e l'andamento delle tens. normali.

Facoltativo: rappresentare l'andamento delle tens. tangenziali.

N	$= 120000 \text{ N}$	M_x	$= -7250000 \text{ Nmm}$	G	$= 73000 \text{ N/mm}^2$
T_y	$= 90800 \text{ N}$	σ_a	$= 220 \text{ N/mm}^2$		
M_t	$= 275000 \text{ Nmm}$	E	$= 200000 \text{ N/mm}^2$		
y_G	$=$	$\tau(M_t)_d$	$=$	σ_{lld}	$=$
u_o	$=$	$\tau(T_{yc})$	$=$	σ_{tresca}	$=$
v_o	$=$	$\tau(T_{yb})_d$	$=$	σ_{mises}	$=$
A^*	$=$	$\tau(T_y)_s$	$=$	$\sigma_{st.ven}$	$=$
S_u	$=$	$\tau(T_y)_d$	$=$	θ_t	$=$
C_w	$=$	σ	$=$	r_u	$=$
J_u	$=$	τ_s	$=$	r_v	$=$
J_v	$=$	τ_d	$=$	r_o	$=$
J_t	$=$	σ_{ls}	$=$	J_p	$=$
$\sigma(N)$	$=$	σ_{lls}	$=$		
$\sigma(M_x)$	$=$	σ_{ld}	$=$		



Calcolo degli sforzi in * con forze baricentriche essendo * il punto medio di BC

Rappresentare sul foglio, in scala: G, assi u,v, ellisse d'inertia, C.T.

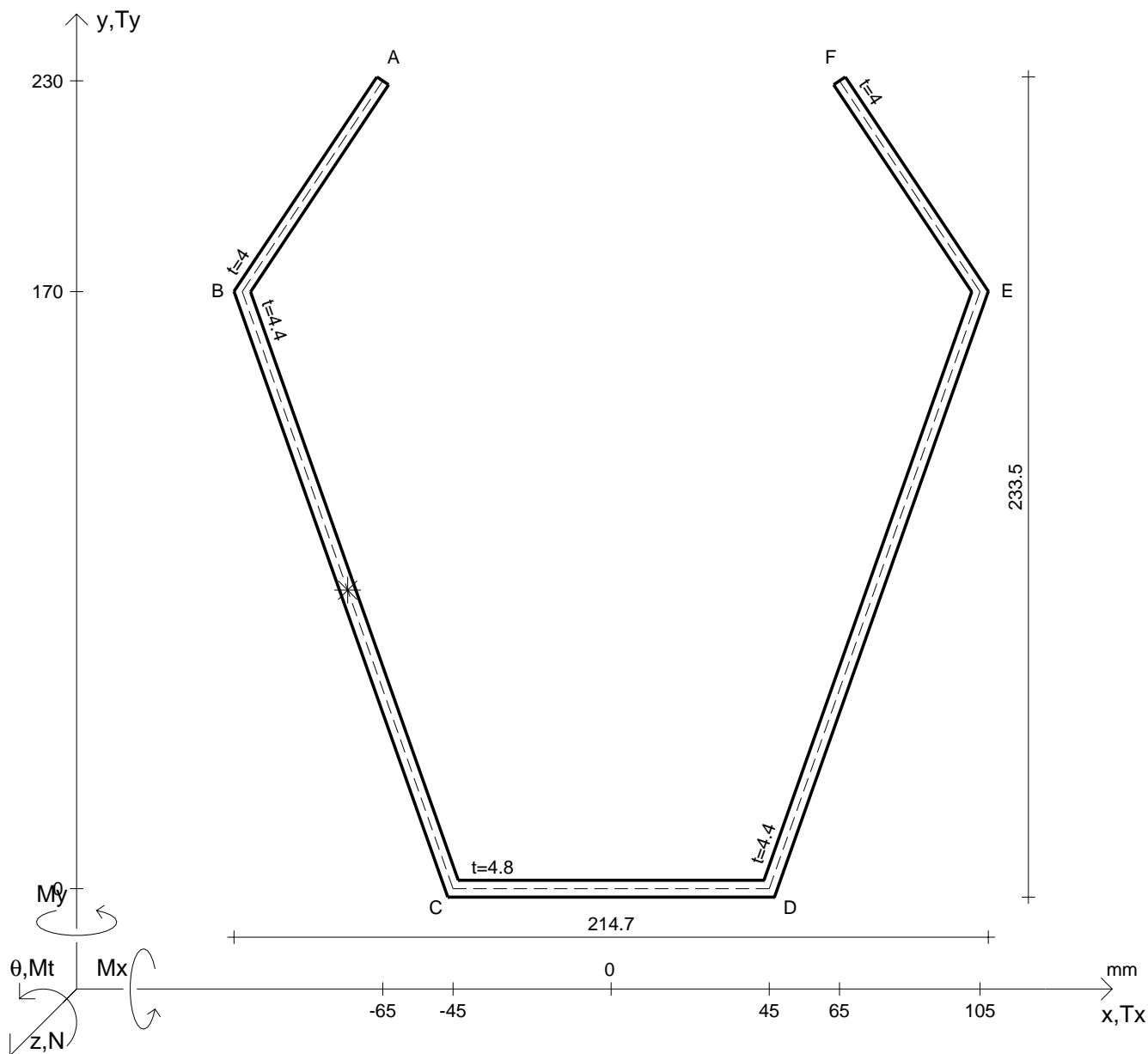
Rappresentare i cerchi di Mohr

Operare le conclusioni sulla verifica di resistenza in *

Facoltativo: rappresentare l'asse neutro e l'andamento delle tens. normali.

Facoltativo: rappresentare l'andamento delle tens. tangenziali.

N	$= 130000 \text{ N}$	M_x	$= -7920000 \text{ Nmm}$	G	$= 73000 \text{ N/mm}^2$
T_y	$= 96300 \text{ N}$	σ_a	$= 220 \text{ N/mm}^2$	σ_{lld}	$=$
M_t	$= 200000 \text{ Nmm}$	E	$= 200000 \text{ N/mm}^2$	σ_{tresca}	$=$
y_G	$=$	$\tau(M_t)_d$	$=$	σ_{mises}	$=$
u_o	$=$	$\tau(T_{yc})$	$=$	$\sigma_{st.ven}$	$=$
v_o	$=$	$\tau(T_{yb})_d$	$=$	θ_t	$=$
A^*	$=$	$\tau(T_y)_s$	$=$	r_u	$=$
S_u	$=$	$\tau(T_y)_d$	$=$	r_v	$=$
C_w	$=$	σ	$=$	r_o	$=$
J_u	$=$	τ_s	$=$	J_p	$=$
J_v	$=$	τ_d	$=$		
J_t	$=$	σ_{ls}	$=$		
$\sigma(N)$	$=$	σ_{lls}	$=$		
$\sigma(M_x)$	$=$	σ_{ld}	$=$		



Calcolo degli sforzi in * con forze baricentriche essendo * il punto medio di BC

Rappresentare sul foglio, in scala: G, assi u,v, ellisse d'inertia, C.T.

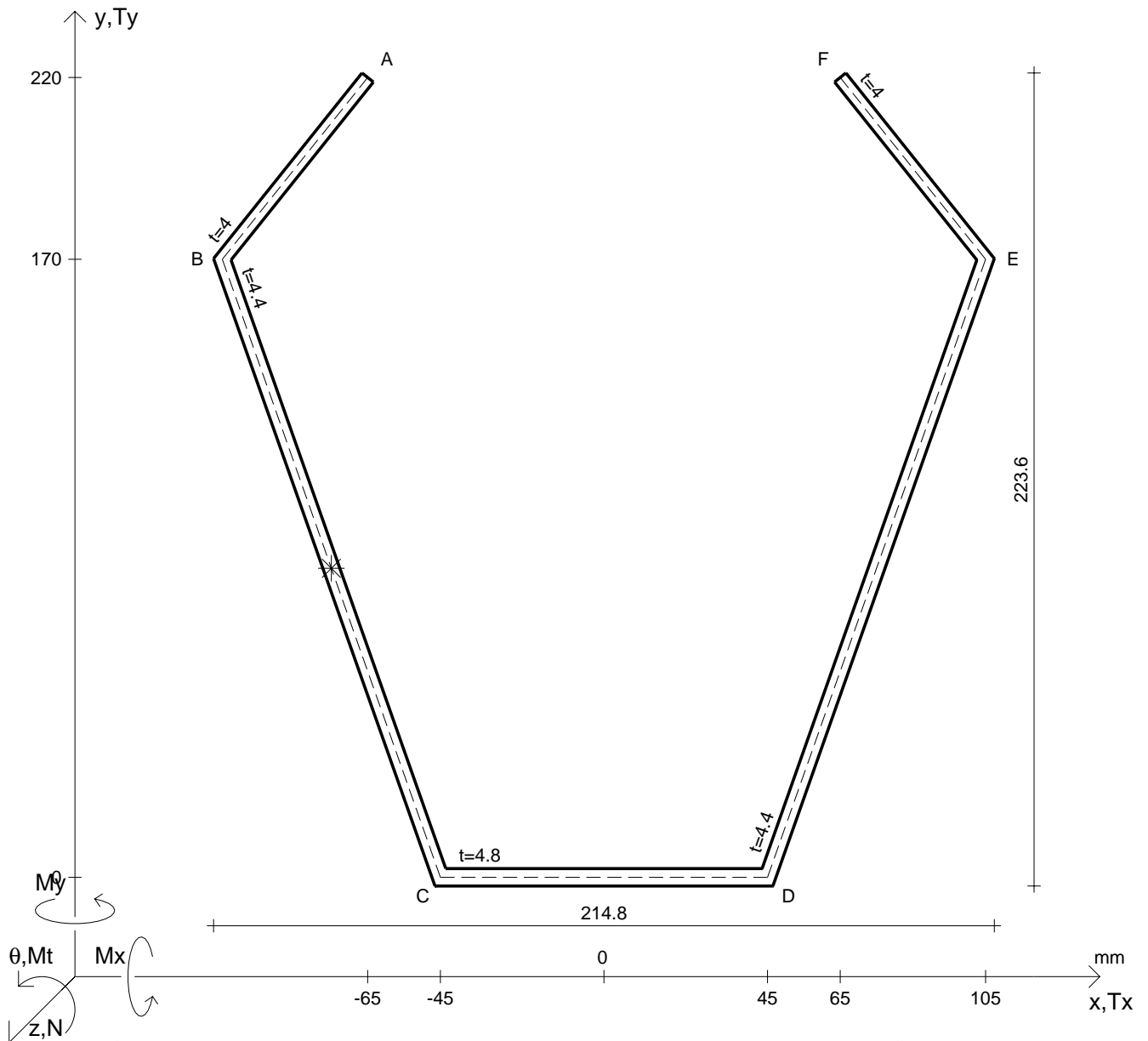
Rappresentare i cerchi di Mohr

Operare le conclusioni sulla verifica di resistenza in *

Facoltativo: rappresentare l'asse neutro e l'andamento delle tens. normali.

Facoltativo: rappresentare l'andamento delle tens. tangenziali.

N	$= 147000 \text{ N}$	M_x	$= -8950000 \text{ Nmm}$	G	$= 73000 \text{ N/mm}^2$
T_y	$= 75700 \text{ N}$	σ_a	$= 220 \text{ N/mm}^2$		
M_t	$= 227000 \text{ Nmm}$	E	$= 200000 \text{ N/mm}^2$		
y_G	$=$	$\tau(M_t)_d$	$=$	σ_{lld}	$=$
u_o	$=$	$\tau(T_{yc})$	$=$	σ_{tresca}	$=$
v_o	$=$	$\tau(T_{yb})_d$	$=$	σ_{mises}	$=$
A^*	$=$	$\tau(T_y)_s$	$=$	$\sigma_{st.ven}$	$=$
S_u	$=$	$\tau(T_y)_d$	$=$	θ_t	$=$
C_w	$=$	σ	$=$	r_u	$=$
J_u	$=$	τ_s	$=$	r_v	$=$
J_v	$=$	τ_d	$=$	r_o	$=$
J_t	$=$	σ_{ls}	$=$	J_p	$=$
$\sigma(N)$	$=$	σ_{lls}	$=$		
$\sigma(M_x)$	$=$	σ_{ld}	$=$		



Calcolo degli sforzi in * con forze baricentriche essendo * il punto medio di BC

Rappresentare sul foglio, in scala: G, assi u,v, ellisse d'inertia, C.T.

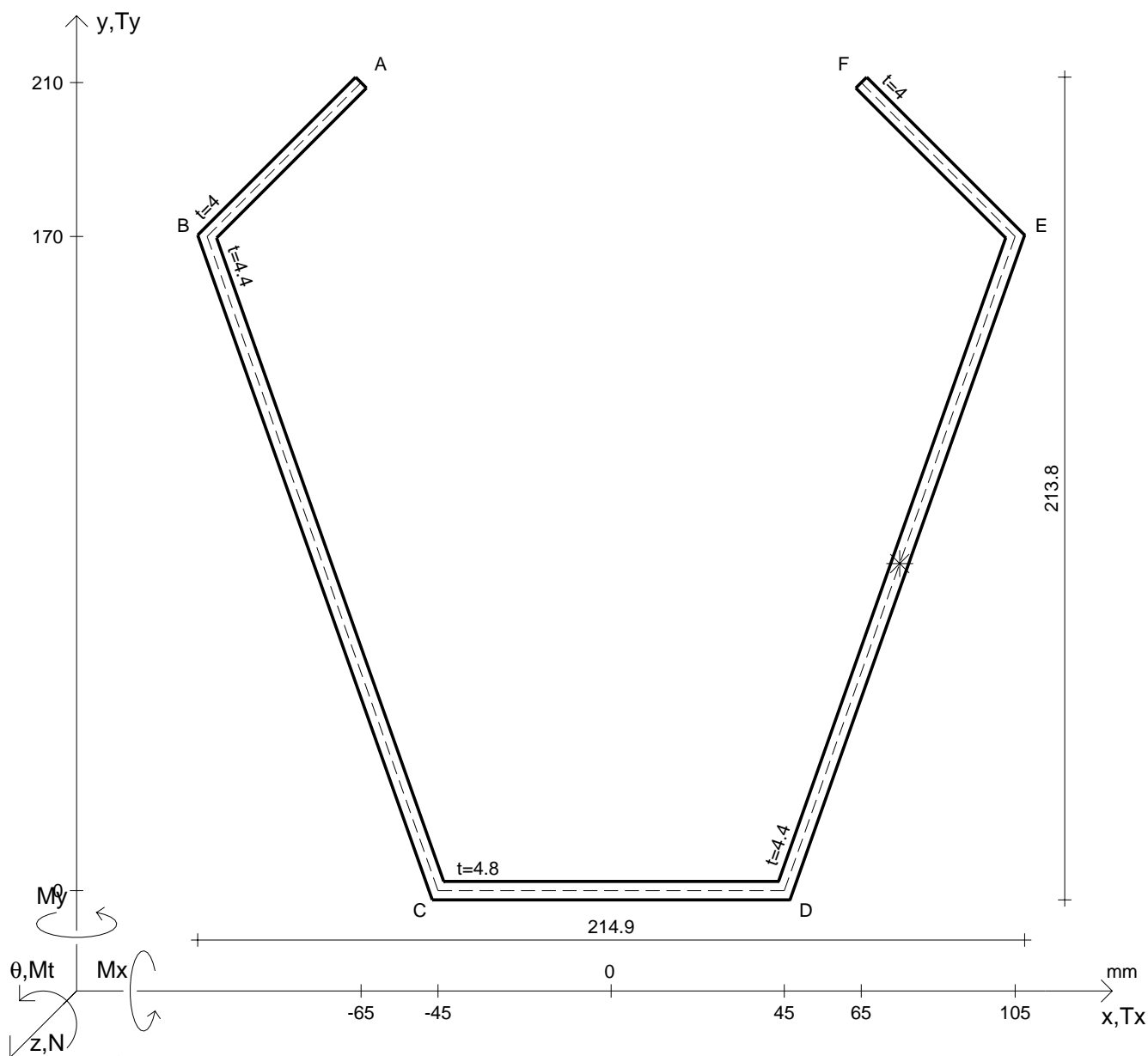
Rappresentare i cerchi di Mohr

Operare le conclusioni sulla verifica di resistenza in *

Facoltativo: rappresentare l'asse neutro e l'andamento delle tens. normali.

Facoltativo: rappresentare l'andamento delle tens. tangenziali.

N	$= 106000 \text{ N}$	M_x	$= -9380000 \text{ Nmm}$	G	$= 73000 \text{ N/mm}^2$
T_y	$= 81400 \text{ N}$	σ_a	$= 220 \text{ N/mm}^2$	σ_{lld}	$=$
M_t	$= 247000 \text{ Nmm}$	E	$= 200000 \text{ N/mm}^2$	σ_{tresca}	$=$
y_G	$=$	$\tau(M_t)_d$	$=$	σ_{mises}	$=$
u_o	$=$	$\tau(T_{yc})$	$=$	$\sigma_{st.ven}$	$=$
v_o	$=$	$\tau(T_{yb})_d$	$=$	θ_t	$=$
A^*	$=$	$\tau(T_y)_s$	$=$	r_u	$=$
S_u	$=$	$\tau(T_y)_d$	$=$	r_v	$=$
C_w	$=$	σ	$=$	r_o	$=$
J_u	$=$	τ_s	$=$	J_p	$=$
J_v	$=$	τ_d	$=$		
J_t	$=$	σ_{ls}	$=$		
$\sigma(N)$	$=$	σ_{lls}	$=$		
$\sigma(M_x)$	$=$	σ_{ld}	$=$		



Calcolo degli sforzi in * con forze baricentriche essendo * il punto medio di DE

Rappresentare sul foglio, in scala: G, assi u,v, ellisse d'inertia, C.T.

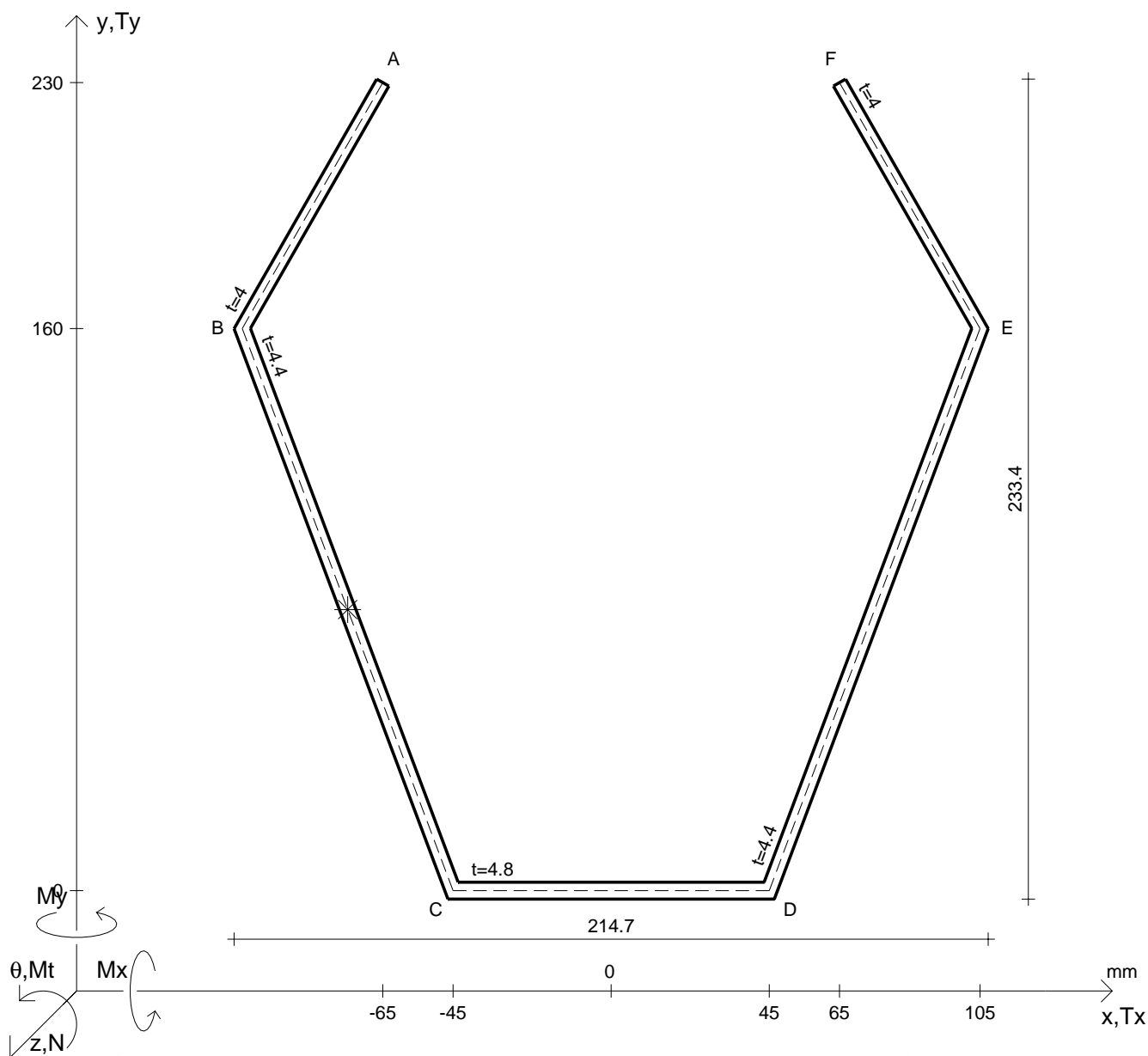
Rappresentare i cerchi di Mohr

Operare le conclusioni sulla verifica di resistenza in *

Facoltativo: rappresentare l'asse neutro e l'andamento delle tens. normali.

Facoltativo: rappresentare l'andamento delle tens. tangenziali.

N	$= 116000 \text{ N}$	M_x	$= -6680000 \text{ Nmm}$	G	$= 73000 \text{ N/mm}^2$
T_y	$= 86700 \text{ N}$	σ_a	$= 220 \text{ N/mm}^2$		
M_t	$= 266000 \text{ Nmm}$	E	$= 200000 \text{ N/mm}^2$		
y_G	$=$	$\tau(M_t)_d$	$=$	σ_{lld}	$=$
u_o	$=$	$\tau(T_{yc})$	$=$	σ_{tresca}	$=$
v_o	$=$	$\tau(T_{yb})_d$	$=$	σ_{mises}	$=$
A^*	$=$	$\tau(T_y)_s$	$=$	$\sigma_{st.ven}$	$=$
S_u	$=$	$\tau(T_y)_d$	$=$	θ_t	$=$
C_w	$=$	σ	$=$	r_u	$=$
J_u	$=$	τ_s	$=$	r_v	$=$
J_v	$=$	τ_d	$=$	r_o	$=$
J_t	$=$	σ_{ls}	$=$	J_p	$=$
$\sigma(N)$	$=$	σ_{lls}	$=$		
$\sigma(M_x)$	$=$	σ_{ld}	$=$		



Calcolo degli sforzi in $*$ con forze baricentriche essendo $*$ il punto medio di BC

Rappresentare sul foglio, in scala: G, assi u, v , ellisse d'inerzia, C.T.

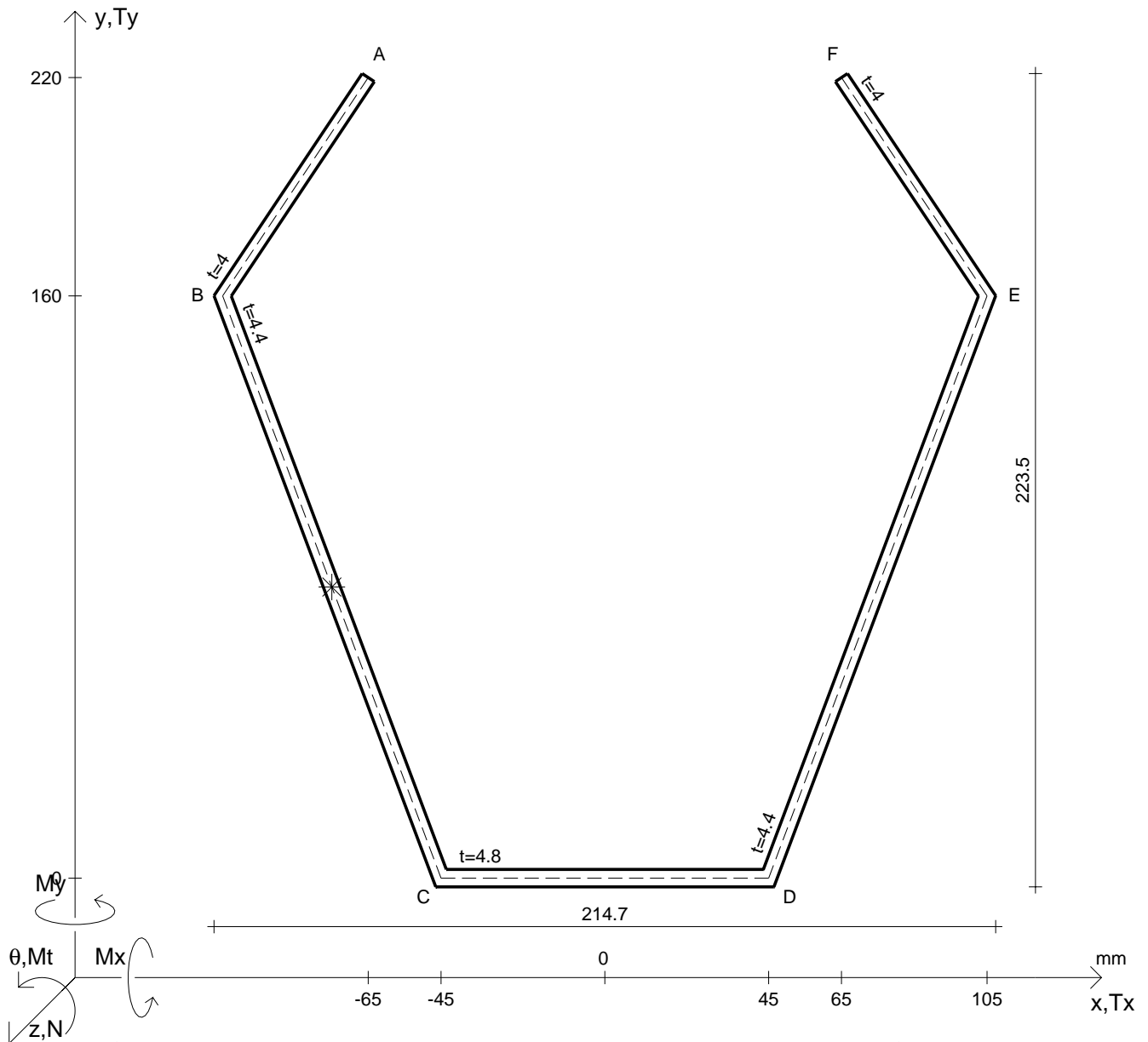
Rappresentare i cerchi di Mohr

Operare le conclusioni sulla verifica di resistenza in $*$

Facoltativo: rappresentare l'asse neutro e l'andamento delle tens. normali.

Facoltativo: rappresentare l'andamento delle tens. tangenziali.

N	$= 133000$ N	M_x	$= -7880000$ Nmm	G	$= 73000$ N/mm ²
T_y	$= 102000$ N	σ_a	$= 220$ N/mm ²	σ_{lld}	$=$
M_t	$= 201000$ Nmm	E	$= 200000$ N/mm ²	σ_{tresca}	$=$
y_G	$=$	$\tau(M_t)_d$	$=$	σ_{mises}	$=$
u_o	$=$	$\tau(T_{yc})$	$=$	$\sigma_{st.ven}$	$=$
v_o	$=$	$\tau(T_{yb})_d$	$=$	θ_t	$=$
A^*	$=$	$\tau(T_y)_s$	$=$	r_u	$=$
S_u	$=$	$\tau(T_y)_d$	$=$	r_v	$=$
C_w	$=$	σ	$=$	r_o	$=$
J_u	$=$	τ_s	$=$	J_p	$=$
J_v	$=$	τ_d	$=$		
J_t	$=$	σ_{ls}	$=$		
$\sigma(N)$	$=$	σ_{lls}	$=$		
$\sigma(M_x)$	$=$	σ_{ld}	$=$		



Calcolo degli sforzi in * con forze baricentriche essendo * il punto medio di BC

Rappresentare sul foglio, in scala: G, assi u,v, ellisse d'inertia, C.T.

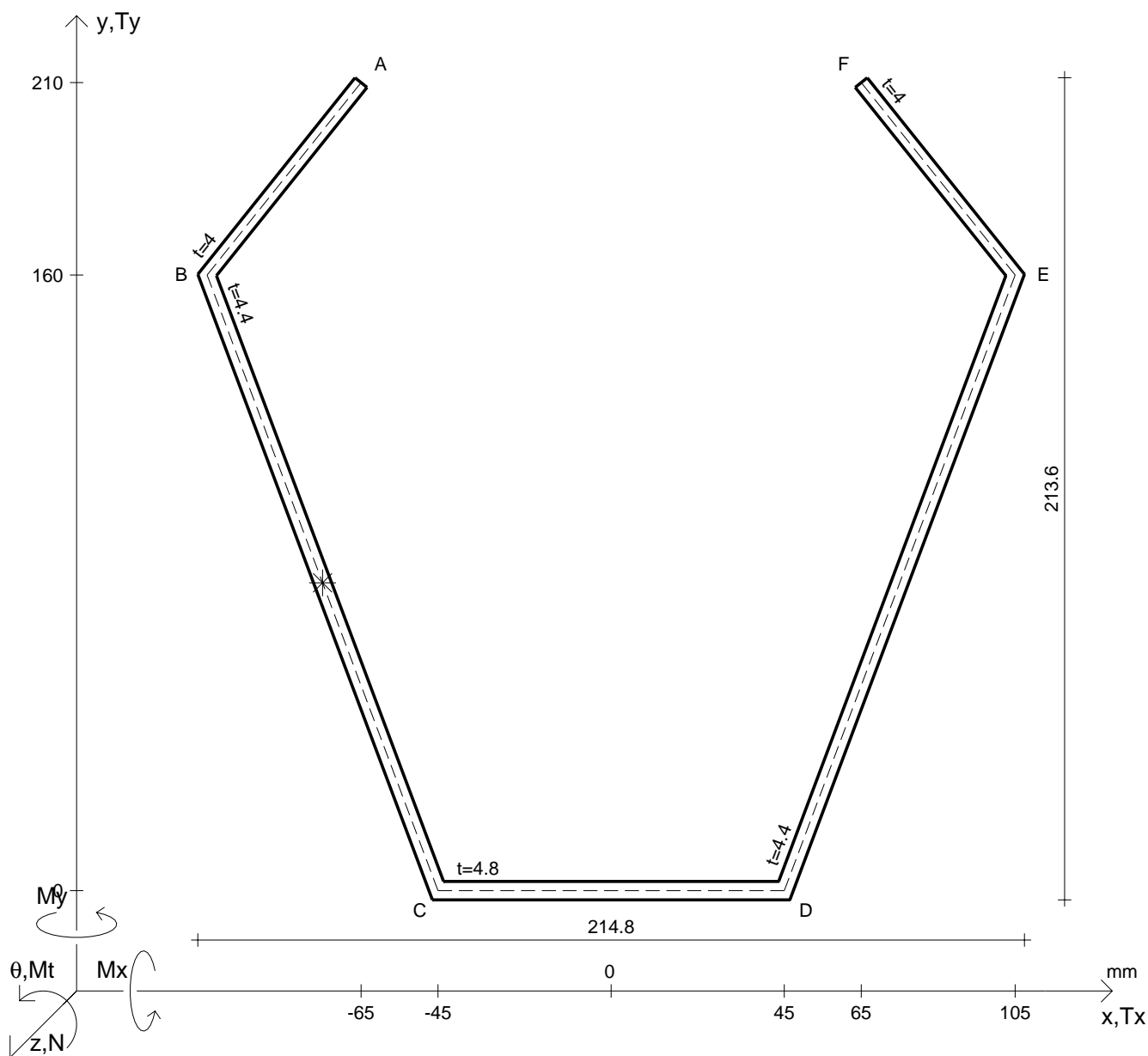
Rappresentare i cerchi di Mohr

Operare le conclusioni sulla verifica di resistenza in *

Facoltativo: rappresentare l'asse neutro e l'andamento delle tens. normali.

Facoltativo: rappresentare l'andamento delle tens. tangenziali.

N	$= 142000 \text{ N}$	M_x	$= -8260000 \text{ Nmm}$	G	$= 73000 \text{ N/mm}^2$
T_y	$= 72500 \text{ N}$	σ_a	$= 220 \text{ N/mm}^2$	σ_{lld}	$=$
M_t	$= 220000 \text{ Nmm}$	E	$= 200000 \text{ N/mm}^2$	σ_{tresca}	$=$
y_G	$=$	$\tau(M_t)_d$	$=$	σ_{mises}	$=$
u_o	$=$	$\tau(T_{yc})$	$=$	$\sigma_{st.ven}$	$=$
v_o	$=$	$\tau(T_{yb})_d$	$=$	θ_t	$=$
A^*	$=$	$\tau(T_y)_s$	$=$	r_u	$=$
S_u	$=$	$\tau(T_y)_d$	$=$	r_v	$=$
C_w	$=$	σ	$=$	r_o	$=$
J_u	$=$	τ_s	$=$	J_p	$=$
J_v	$=$	τ_d	$=$		
J_t	$=$	σ_{ls}	$=$		
$\sigma(N)$	$=$	σ_{lls}	$=$		
$\sigma(M_x)$	$=$	σ_{ld}	$=$		



Calcolo degli sforzi in $*$ con forze baricentriche essendo $*$ il punto medio di BC

Rappresentare sul foglio, in scala: G, assi u, v , ellisse d'inertia, C.T.

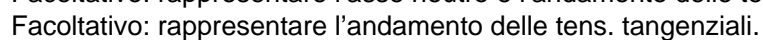
Rappresentare i cerchi di Mohr

Operare le conclusioni sulla verifica di resistenza in $*$

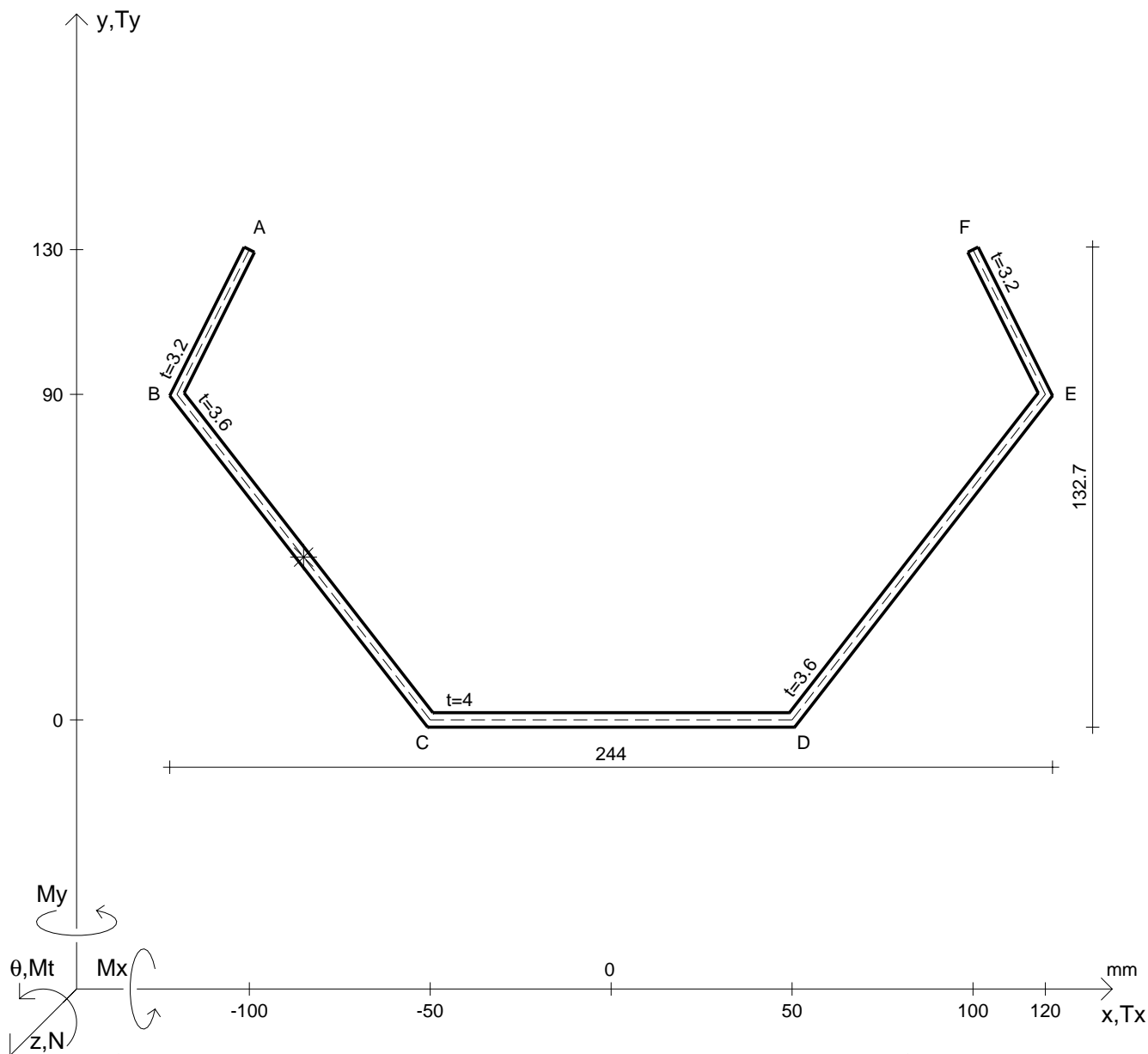
Facoltativo: rappresentare l'asse neutro e l'andamento delle tens. normali.

Facoltativo: rappresentare l'andamento delle tens. tangenziali.

N	$= 103000 \text{ N}$	M_x	$= -8630000 \text{ Nmm}$	G	$= 73000 \text{ N/mm}^2$
T_y	$= 77800 \text{ N}$	σ_a	$= 220 \text{ N/mm}^2$	σ_{lld}	$=$
M_t	$= 239000 \text{ Nmm}$	E	$= 200000 \text{ N/mm}^2$	σ_{tresca}	$=$
y_G	$=$	$\tau(M_t)_d$	$=$	σ_{mises}	$=$
u_o	$=$	$\tau(T_{yc})$	$=$	$\sigma_{st.ven}$	$=$
v_o	$=$	$\tau(T_{yb})_d$	$=$	θ_t	$=$
A^*	$=$	$\tau(T_y)_s$	$=$	r_u	$=$
S_u	$=$	$\tau(T_y)_d$	$=$	r_v	$=$
C_w	$=$	σ	$=$	r_o	$=$
J_u	$=$	τ_s	$=$	J_p	$=$
J_v	$=$	τ_d	$=$		
J_t	$=$	σ_{ls}	$=$		
$\sigma(N)$	$=$	σ_{lls}	$=$		
$\sigma(M_x)$	$=$	σ_{ld}	$=$		



28.04.14



Calcolo degli sforzi in * con forze baricentriche essendo * il punto medio di BC

Rappresentare sul foglio, in scala: G, assi u,v, ellisse d'inertia, C.T.

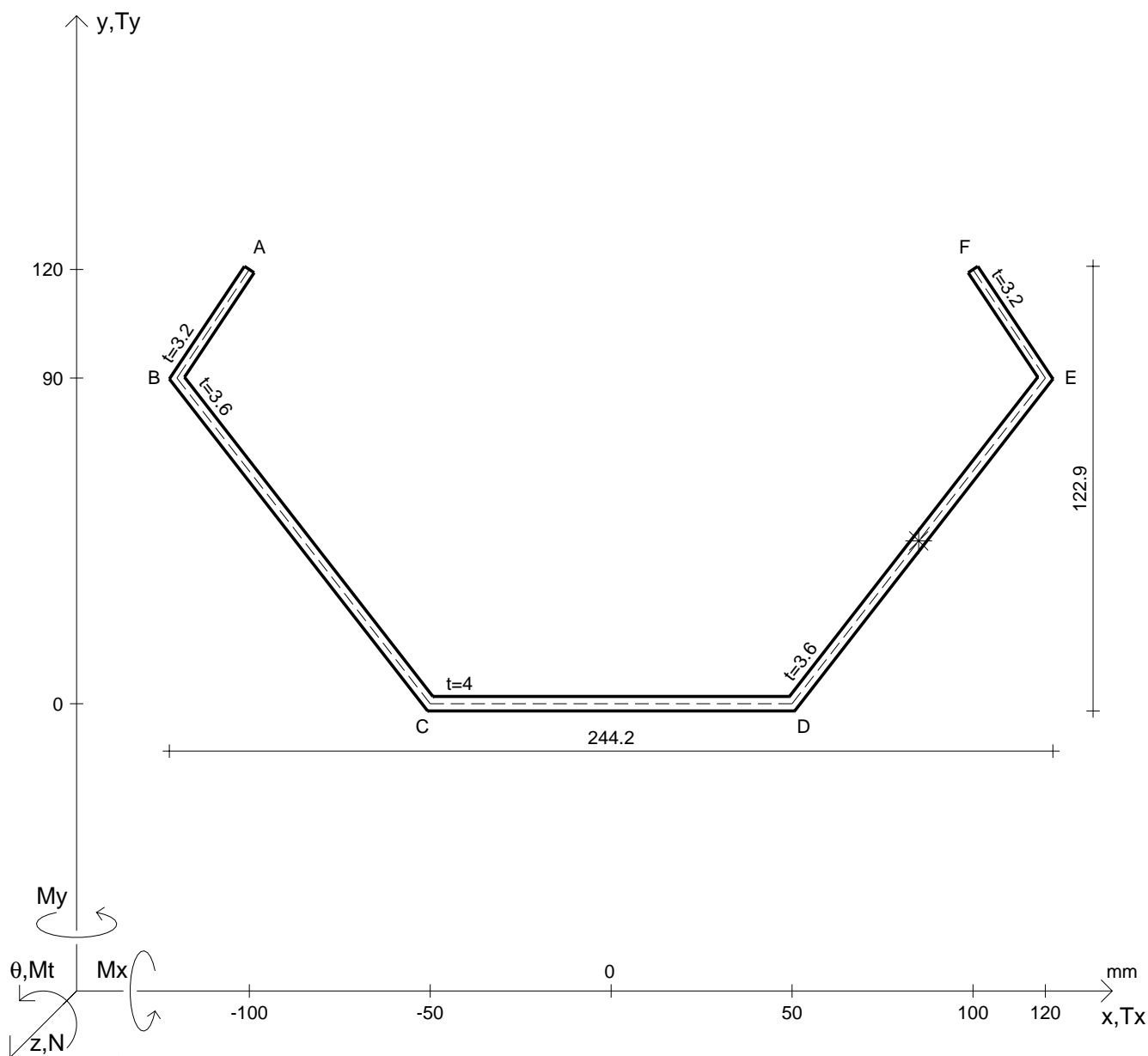
Rappresentare i cerchi di Mohr

Operare le conclusioni sulla verifica di resistenza in *

Facoltativo: rappresentare l'asse neutro e l'andamento delle tens. normali.

Facoltativo: rappresentare l'andamento delle tens. tangenziali.

N	$= 79500 \text{ N}$	M_x	$= -2350000 \text{ Nmm}$	G	$= 73000 \text{ N/mm}^2$
T_y	$= 47300 \text{ N}$	σ_a	$= 220 \text{ N/mm}^2$	σ_{lld}	$=$
M_t	$= 99500 \text{ Nmm}$	E	$= 200000 \text{ N/mm}^2$	σ_{tresca}	$=$
y_G	$=$	$\tau(M_t)_d$	$=$	σ_{mises}	$=$
u_o	$=$	$\tau(T_{yc})$	$=$	$\sigma_{st.ven}$	$=$
v_o	$=$	$\tau(T_{yb})_d$	$=$	θ_t	$=$
A^*	$=$	$\tau(T_y)_s$	$=$	r_u	$=$
S_u^*	$=$	$\tau(T_y)_d$	$=$	r_v	$=$
C_w	$=$	σ	$=$	r_o	$=$
J_u	$=$	τ_s	$=$	J_p	$=$
J_v	$=$	τ_d	$=$		
J_t	$=$	σ_{ls}	$=$		
$\sigma(N)$	$=$	σ_{lls}	$=$		
$\sigma(M_x)$	$=$	σ_{ld}	$=$		



Calcolo degli sforzi in * con forze baricentriche essendo * il punto medio di DE

Rappresentare sul foglio, in scala: G, assi u,v, ellisse d'inertia, C.T.

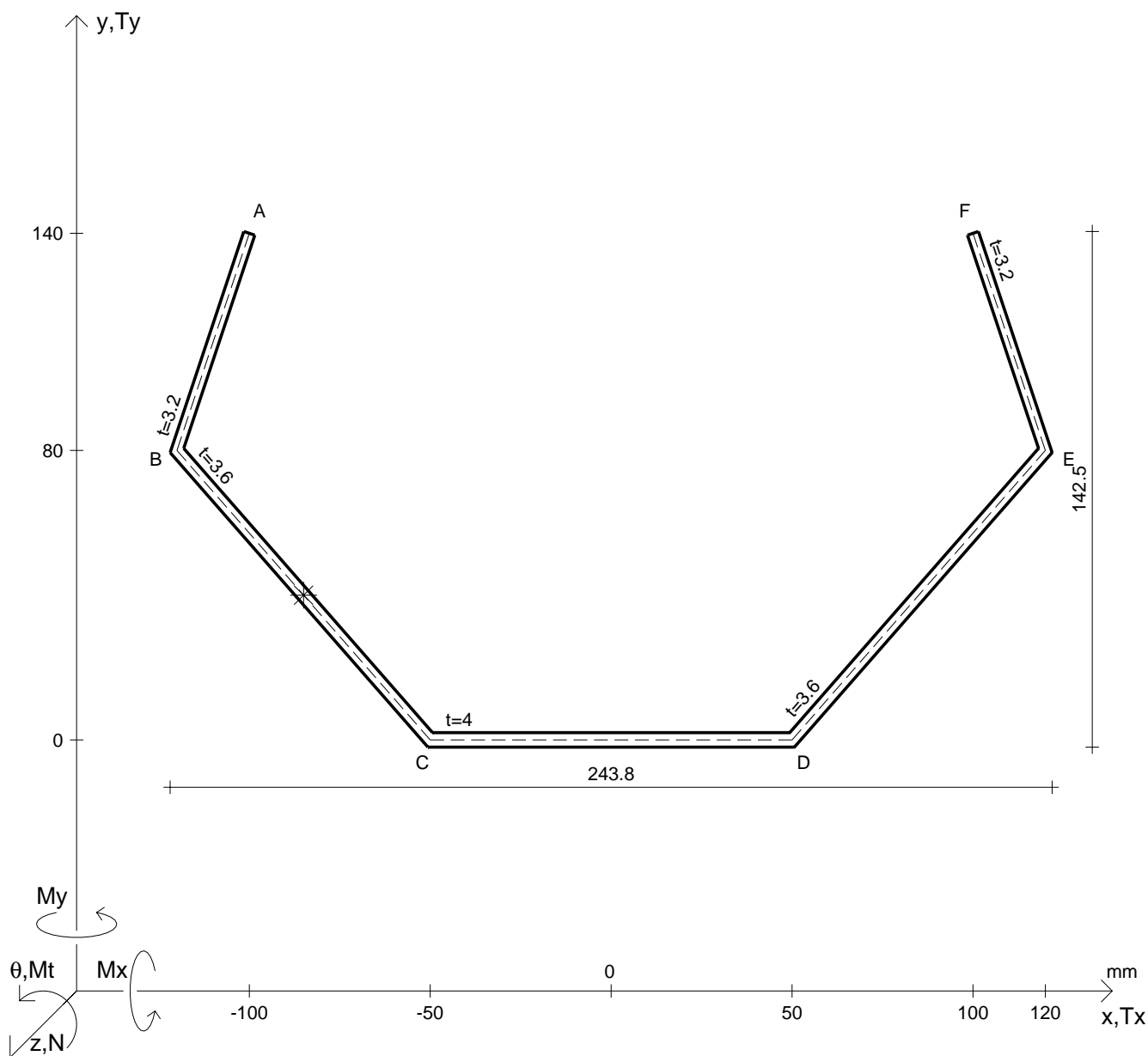
Rappresentare i cerchi di Mohr

Operare le conclusioni sulla verifica di resistenza in *

Facoltativo: rappresentare l'asse neutro e l'andamento delle tens. normali.

Facoltativo: rappresentare l'andamento delle tens. tangenziali.

N	$= 83600 \text{ N}$	M_x	$= 2370000 \text{ Nmm}$	G	$= 73000 \text{ N/mm}^2$
T_y	$= 32400 \text{ N}$	σ_a	$= 220 \text{ N/mm}^2$	σ_{lld}	$=$
M_t	$= 107000 \text{ Nmm}$	E	$= 200000 \text{ N/mm}^2$	σ_{tresca}	$=$
y_G	$=$	$\tau(M_t)_d$	$=$	σ_{mises}	$=$
u_o	$=$	$\tau(T_{yc})$	$=$	$\sigma_{st.ven}$	$=$
v_o	$=$	$\tau(T_{yb})_d$	$=$	θ_t	$=$
A^*	$=$	$\tau(T_y)_s$	$=$	r_u	$=$
S_u^*	$=$	$\tau(T_y)_d$	$=$	r_v	$=$
C_w	$=$	σ	$=$	r_o	$=$
J_u	$=$	τ_s	$=$	J_p	$=$
J_v	$=$	τ_d	$=$		
J_t	$=$	σ_{ls}	$=$		
$\sigma(N)$	$=$	σ_{lls}	$=$		
$\sigma(M_x)$	$=$	σ_{ld}	$=$		



Calcolo degli sforzi in * con forze baricentriche essendo * il punto medio di BC

Rappresentare sul foglio, in scala: G, assi u,v, ellisse d'inerzia, C.T.

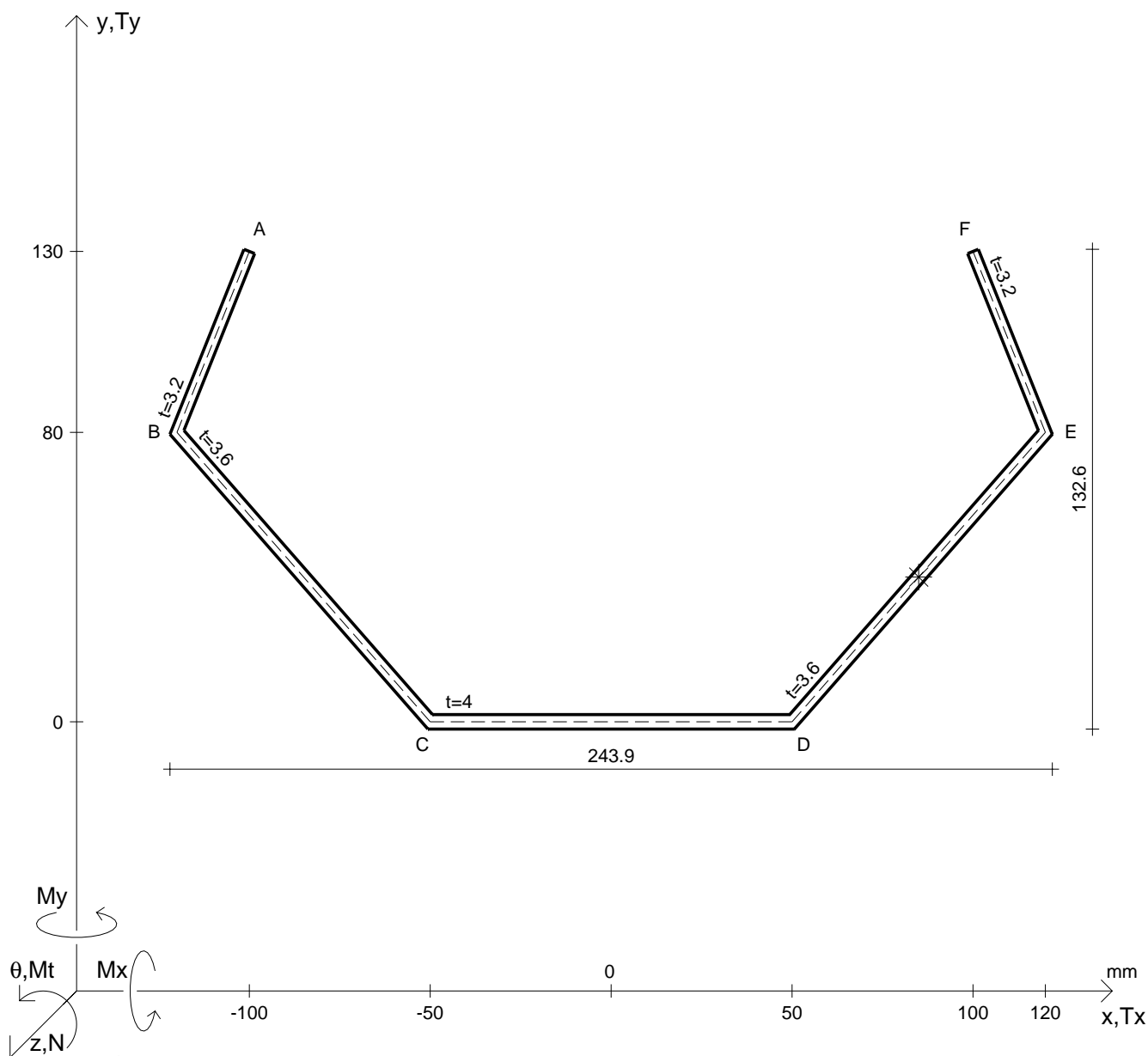
Rappresentare i cerchi di Mohr

Operare le conclusioni sulla verifica di resistenza in *

Facoltativo: rappresentare l'asse neutro e l'andamento delle tens. normali.

Facoltativo: rappresentare l'andamento delle tens. tangenziali.

N	$= 66500 \text{ N}$	M_x	$= -3040000 \text{ Nmm}$	G	$= 73000 \text{ N/mm}^2$
T_y	$= 41900 \text{ N}$	σ_a	$= 220 \text{ N/mm}^2$	σ_{lld}	$=$
M_t	$= 125000 \text{ Nmm}$	E	$= 200000 \text{ N/mm}^2$	σ_{tresca}	$=$
y_G	$=$	$\tau(M_t)_d$	$=$	σ_{mises}	$=$
u_o	$=$	$\tau(T_{yc})$	$=$	$\sigma_{st.ven}$	$=$
v_o	$=$	$\tau(T_{yb})_d$	$=$	θ_t	$=$
A^*	$=$	$\tau(T_y)_s$	$=$	r_u	$=$
S_u	$=$	$\tau(T_y)_d$	$=$	r_v	$=$
C_w	$=$	σ	$=$	r_o	$=$
J_u	$=$	τ_s	$=$	J_p	$=$
J_v	$=$	τ_d	$=$		
J_t	$=$	σ_{ls}	$=$		
$\sigma(N)$	$=$	σ_{lls}	$=$		
$\sigma(M_x)$	$=$	σ_{ld}	$=$		



Calcolo degli sforzi in * con forze baricentriche essendo * il punto medio di DE

Rappresentare sul foglio, in scala: G, assi u,v, ellisse d'inertia, C.T.

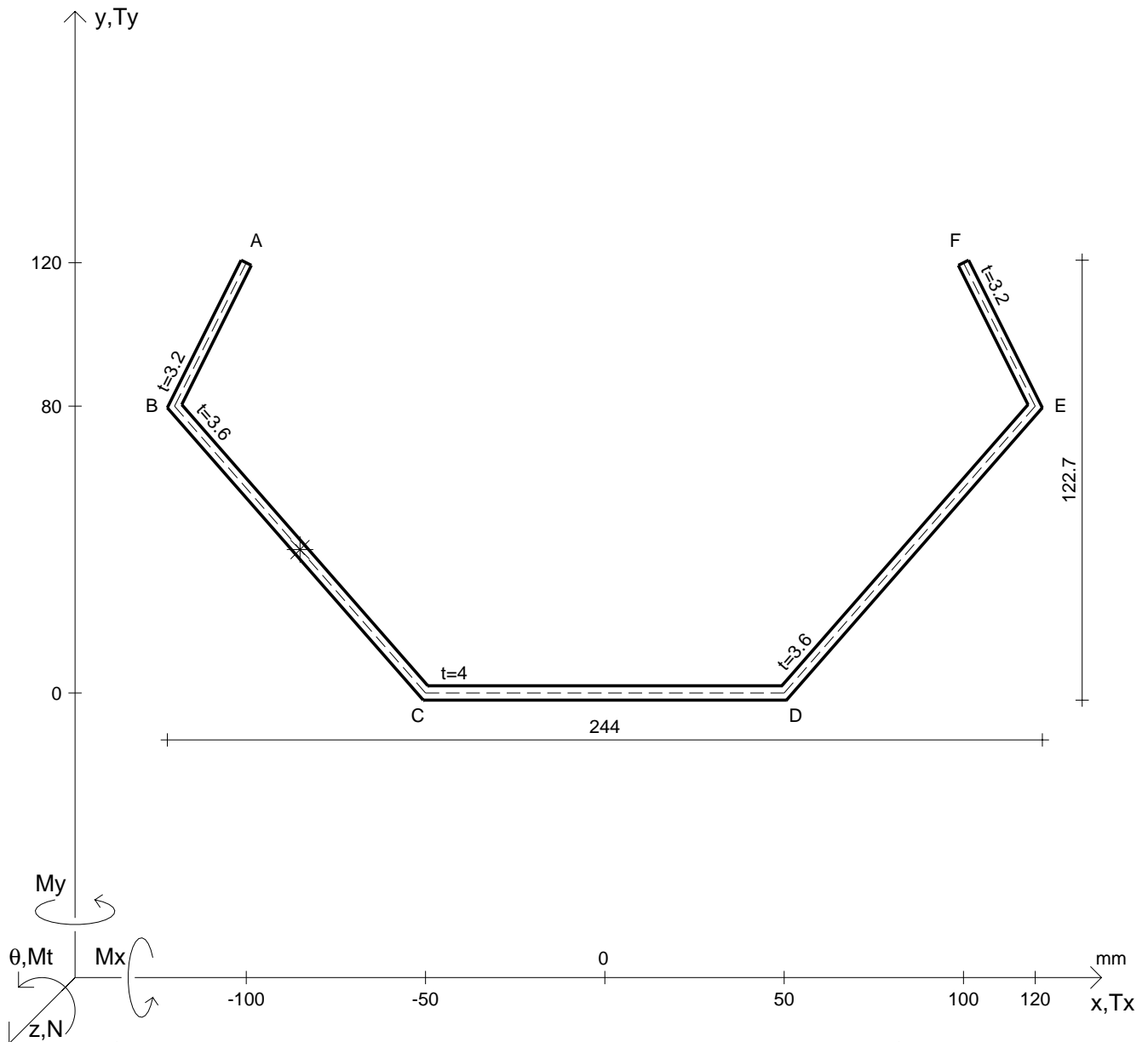
Rappresentare i cerchi di Mohr

Operare le conclusioni sulla verifica di resistenza in *

Facoltativo: rappresentare l'asse neutro e l'andamento delle tens. normali.

Facoltativo: rappresentare l'andamento delle tens. tangenziali.

N	$= 71800 \text{ N}$	M_x	$= -2020000 \text{ Nmm}$	G	$= 73000 \text{ N/mm}^2$
T_y	$= 42900 \text{ N}$	σ_a	$= 220 \text{ N/mm}^2$	σ_{lld}	$=$
M_t	$= 133000 \text{ Nmm}$	E	$= 200000 \text{ N/mm}^2$	σ_{tresca}	$=$
y_G	$=$	$\tau(M_t)_d$	$=$	σ_{mises}	$=$
u_o	$=$	$\tau(T_{yc})$	$=$	$\sigma_{st.ven}$	$=$
v_o	$=$	$\tau(T_{yb})_d$	$=$	θ_t	$=$
A^*	$=$	$\tau(T_y)_s$	$=$	r_u	$=$
S_u^*	$=$	$\tau(T_y)_d$	$=$	r_v	$=$
C_w	$=$	σ	$=$	r_o	$=$
J_u	$=$	τ_s	$=$	J_p	$=$
J_v	$=$	τ_d	$=$		
J_t	$=$	σ_{ls}	$=$		
$\sigma(N)$	$=$	σ_{lls}	$=$		
$\sigma(M_x)$	$=$	σ_{ld}	$=$		



Calcolo degli sforzi in * con forze baricentriche essendo * il punto medio di BC

Rappresentare sul foglio, in scala: G, assi u,v, ellisse d'inertia, C.T.

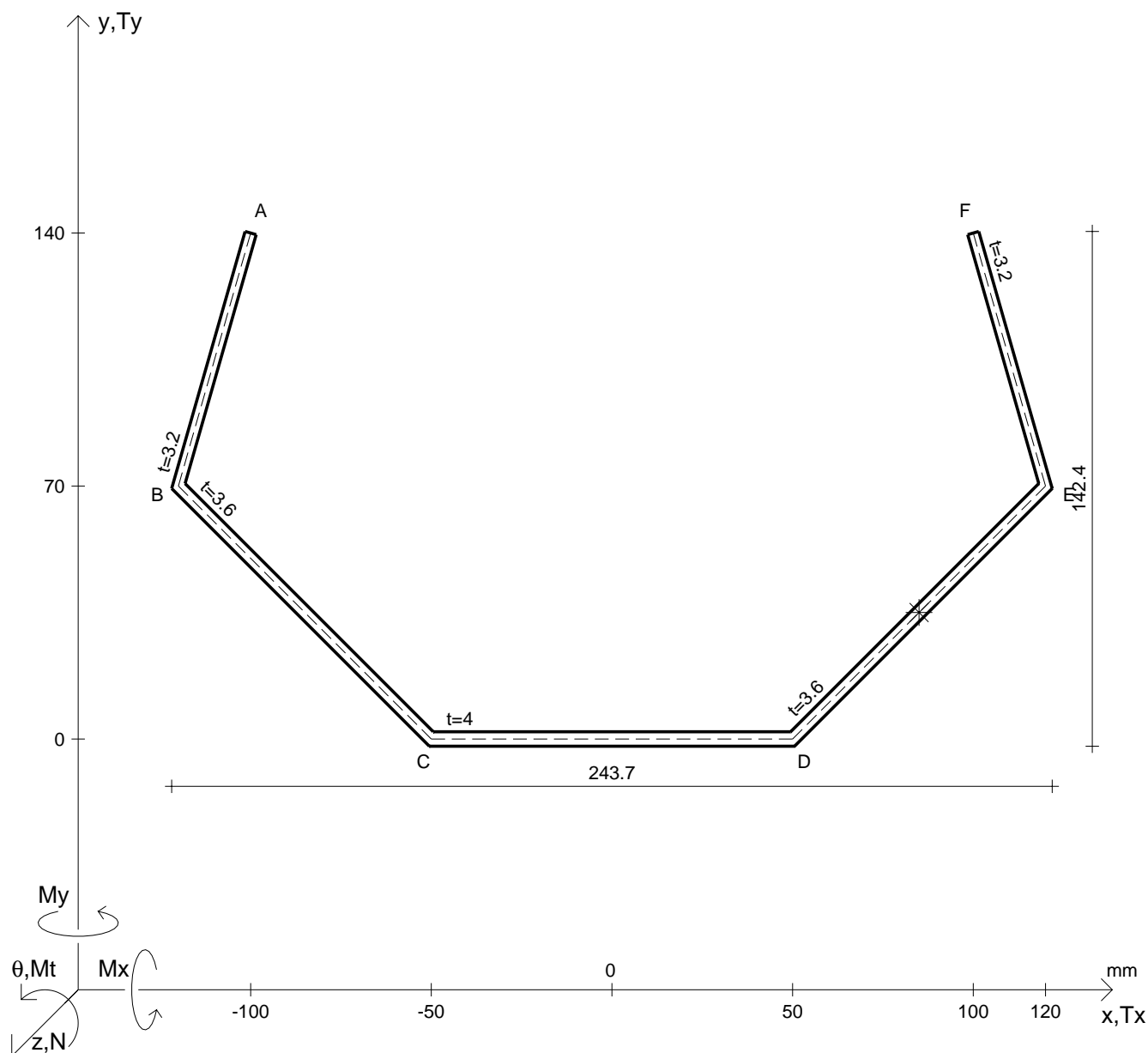
Rappresentare i cerchi di Mohr

Operare le conclusioni sulla verifica di resistenza in *

Facoltativo: rappresentare l'asse neutro e l'andamento delle tens. normali.

Facoltativo: rappresentare l'andamento delle tens. tangenziali.

N	$= 76500 \text{ N}$	M_x	$= -2030000 \text{ Nmm}$	G	$= 73000 \text{ N/mm}^2$
T_y	$= 43400 \text{ N}$	σ_a	$= 220 \text{ N/mm}^2$	σ_{lld}	$=$
M_t	$= 95800 \text{ Nmm}$	E	$= 200000 \text{ N/mm}^2$	σ_{tresca}	$=$
y_G	$=$	$\tau(M_t)_d$	$=$	σ_{mises}	$=$
u_o	$=$	$\tau(T_{yc})$	$=$	$\sigma_{st.ven}$	$=$
v_o	$=$	$\tau(T_{yb})_d$	$=$	θ_t	$=$
A^*	$=$	$\tau(T_y)_s$	$=$	r_u	$=$
S_u	$=$	$\tau(T_y)_d$	$=$	r_v	$=$
C_w	$=$	σ	$=$	r_o	$=$
J_u	$=$	τ_s	$=$	J_p	$=$
J_v	$=$	τ_d	$=$		
J_t	$=$	σ_{ls}	$=$		
$\sigma(N)$	$=$	σ_{lls}	$=$		
$\sigma(M_x)$	$=$	σ_{ld}	$=$		



Calcolo degli sforzi in * con forze baricentriche essendo * il punto medio di DE

Rappresentare sul foglio, in scala: G, assi u,v, ellisse d'inertia, C.T.

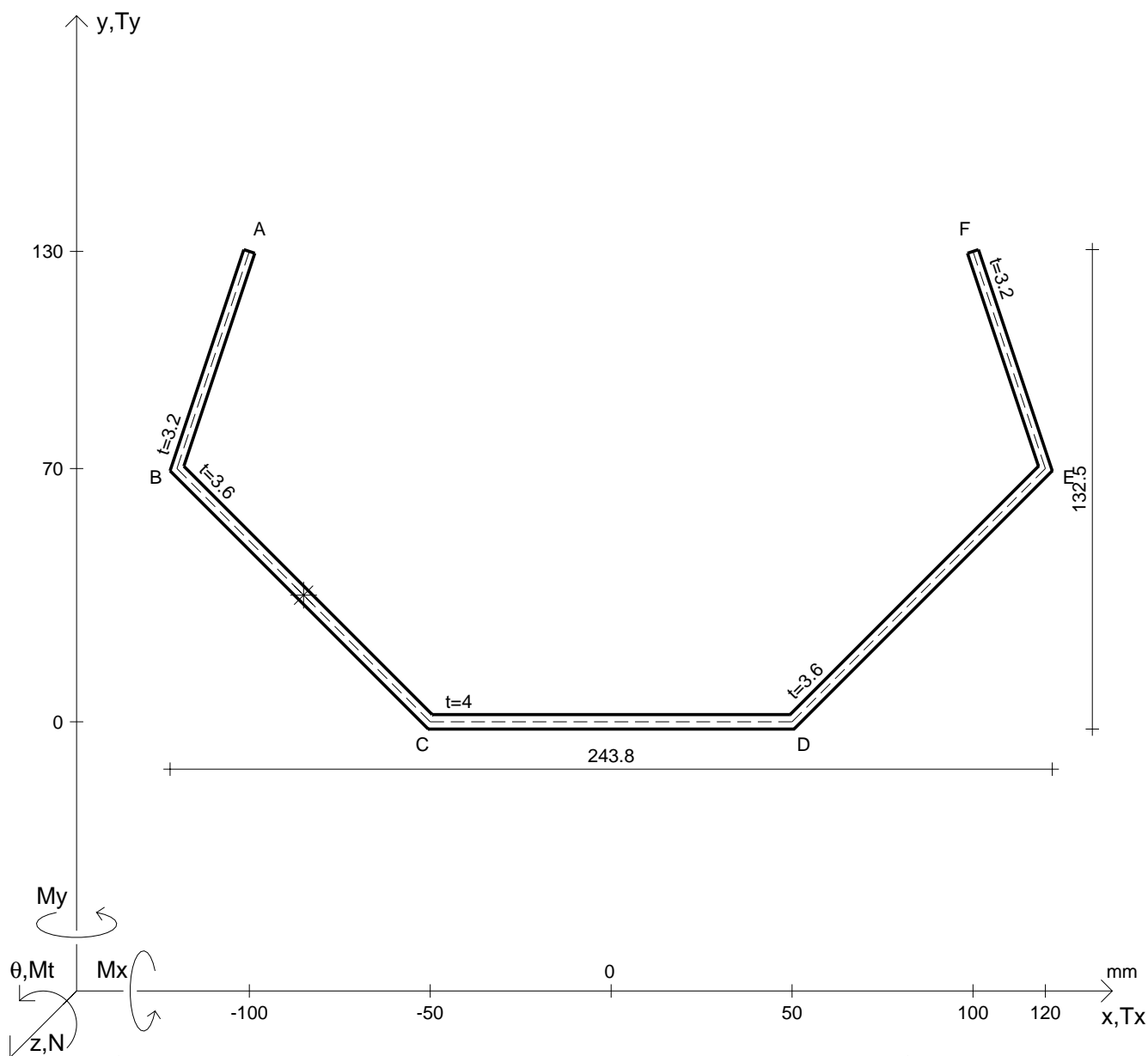
Rappresentare i cerchi di Mohr

Operare le conclusioni sulla verifica di resistenza in *

Facoltativo: rappresentare l'asse neutro e l'andamento delle tens. normali.

Facoltativo: rappresentare l'andamento delle tens. tangenziali.

N	$= 92000 \text{ N}$	M_x	$= -2770000 \text{ Nmm}$	G	$= 73000 \text{ N/mm}^2$
T_y	$= 37000 \text{ N}$	σ_a	$= 220 \text{ N/mm}^2$	σ_{lld}	$=$
M_t	$= 114000 \text{ Nmm}$	E	$= 200000 \text{ N/mm}^2$	σ_{tresca}	$=$
y_G	$=$	$\tau(M_t)_d$	$=$	σ_{mises}	$=$
u_o	$=$	$\tau(T_{yc})$	$=$	$\sigma_{st.ven}$	$=$
v_o	$=$	$\tau(T_{yb})_d$	$=$	θ_t	$=$
A^*	$=$	$\tau(T_y)_s$	$=$	r_u	$=$
S_u	$=$	$\tau(T_y)_d$	$=$	r_v	$=$
C_w	$=$	σ	$=$	r_o	$=$
J_u	$=$	τ_s	$=$	J_p	$=$
J_v	$=$	τ_d	$=$		
J_t	$=$	σ_{ls}	$=$		
$\sigma(N)$	$=$	σ_{lls}	$=$		
$\sigma(M_x)$	$=$	σ_{ld}	$=$		



Calcolo degli sforzi in * con forze baricentriche essendo * il punto medio di BC

Rappresentare sul foglio, in scala: G, assi u,v, ellisse d'inertia, C.T.

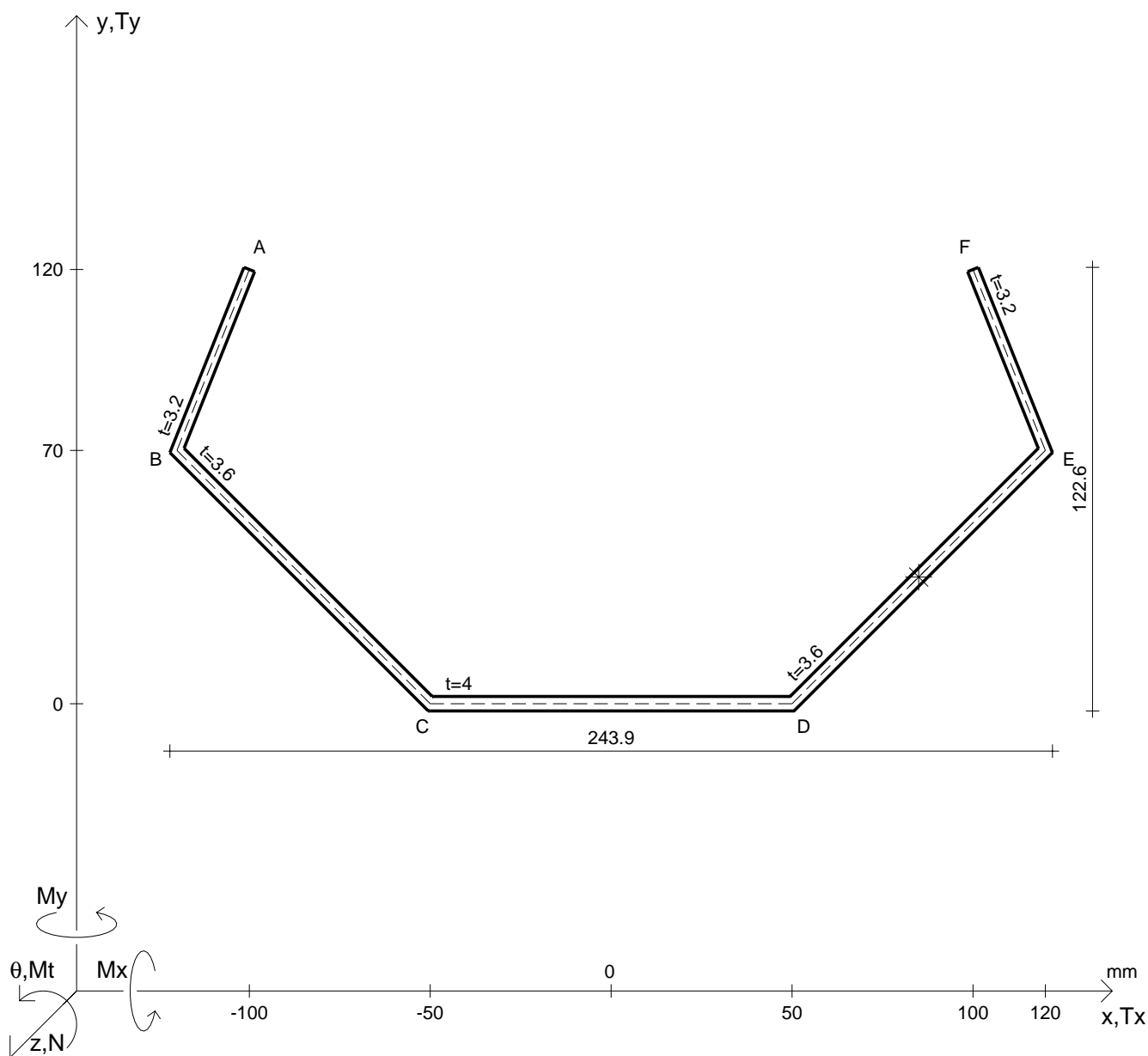
Rappresentare i cerchi di Mohr

Operare le conclusioni sulla verifica di resistenza in *

Facoltativo: rappresentare l'asse neutro e l'andamento delle tens. normali.

Facoltativo: rappresentare l'andamento delle tens. tangenziali.

N	$= 64300 \text{ N}$	M_x	$= -2650000 \text{ Nmm}$	G	$= 73000 \text{ N/mm}^2$
T_y	$= 38900 \text{ N}$	σ_a	$= 220 \text{ N/mm}^2$	σ_{lld}	$=$
M_t	$= 120000 \text{ Nmm}$	E	$= 200000 \text{ N/mm}^2$	σ_{tresca}	$=$
y_G	$=$	$\tau(M_t)_d$	$=$	σ_{mises}	$=$
u_o	$=$	$\tau(T_{yc})$	$=$	$\sigma_{st.ven}$	$=$
v_o	$=$	$\tau(T_{yb})_d$	$=$	θ_t	$=$
A^*	$=$	$\tau(T_y)_s$	$=$	r_u	$=$
S_u^*	$=$	$\tau(T_y)_d$	$=$	r_v	$=$
C_w	$=$	σ	$=$	r_o	$=$
J_u	$=$	τ_s	$=$	J_p	$=$
J_v	$=$	τ_d	$=$		
J_t	$=$	σ_{ls}	$=$		
$\sigma(N)$	$=$	σ_{lls}	$=$		
$\sigma(M_x)$	$=$	σ_{ld}	$=$		



Calcolo degli sforzi in * con forze baricentriche essendo * il punto medio di DE

Rappresentare sul foglio, in scala: G, assi u,v, ellisse d'inertia, C.T.

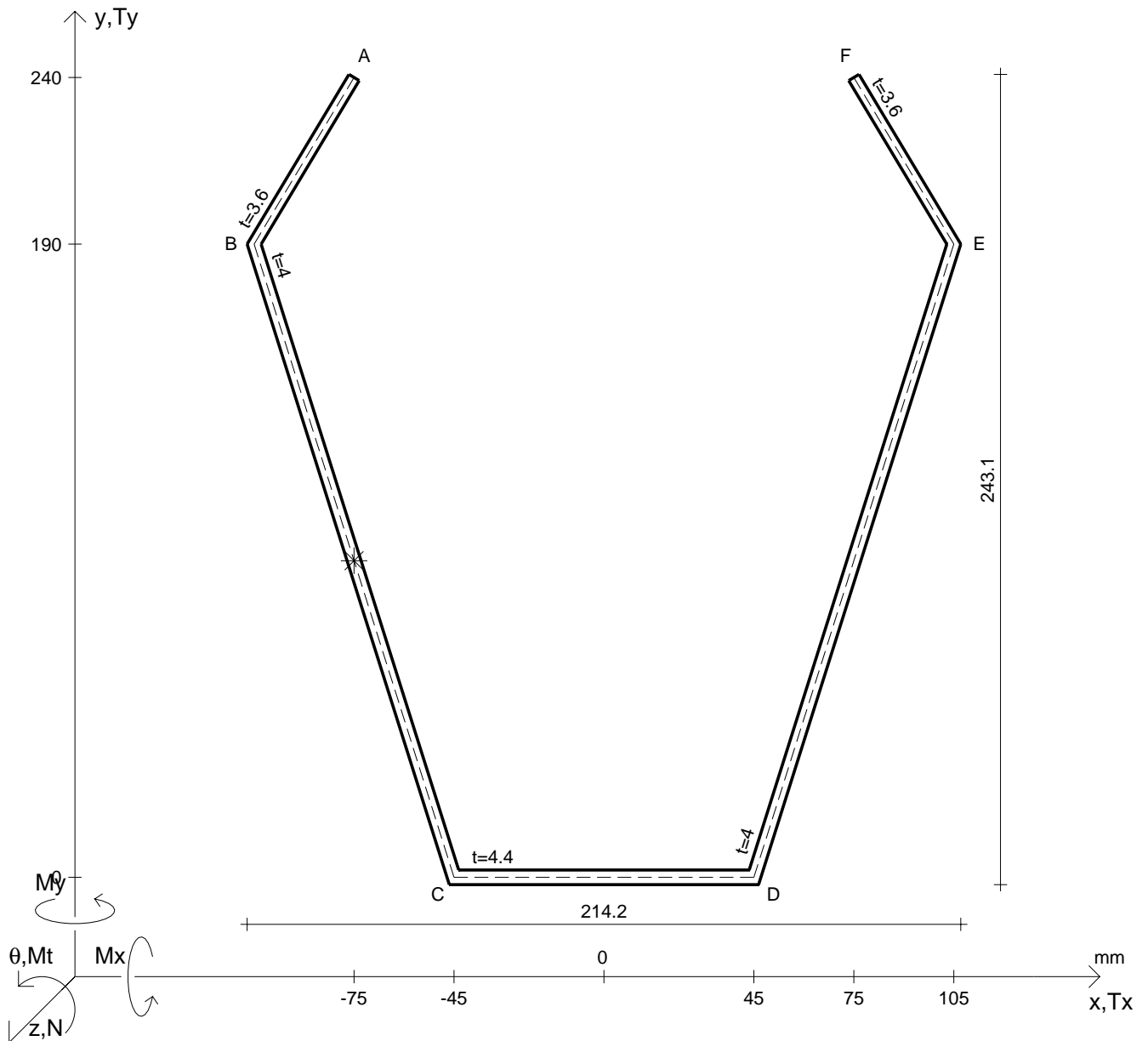
Rappresentare i cerchi di Mohr

Operare le conclusioni sulla verifica di resistenza in *

Facoltativo: rappresentare l'asse neutro e l'andamento delle tens. normali.

Facoltativo: rappresentare l'andamento delle tens. tangenziali.

N	$= 69200 \text{ N}$	M_x	$= -1740000 \text{ Nmm}$	G	$= 73000 \text{ N/mm}^2$
T_y	$= 39400 \text{ N}$	σ_a	$= 220 \text{ N/mm}^2$	σ_{lld}	$=$
M_t	$= 128000 \text{ Nmm}$	E	$= 200000 \text{ N/mm}^2$	σ_{tresca}	$=$
y_G	$=$	$\tau(M_t)_d$	$=$	σ_{mises}	$=$
u_o	$=$	$\tau(T_{yc})$	$=$	$\sigma_{st.ven}$	$=$
v_o	$=$	$\tau(T_{yb})_d$	$=$	θ_t	$=$
A^*	$=$	$\tau(T_y)_s$	$=$	r_u	$=$
S_u^*	$=$	$\tau(T_y)_d$	$=$	r_v	$=$
C_w	$=$	σ	$=$	r_o	$=$
J_u	$=$	τ_s	$=$	J_p	$=$
J_v	$=$	τ_d	$=$		
J_t	$=$	σ_{ls}	$=$		
$\sigma(N)$	$=$	σ_{lls}	$=$		
$\sigma(M_x)$	$=$	σ_{ld}	$=$		



Calcolo degli sforzi in * con forze baricentriche essendo * il punto medio di BC

Rappresentare sul foglio, in scala: G, assi u,v, ellisse d'inertia, C.T.

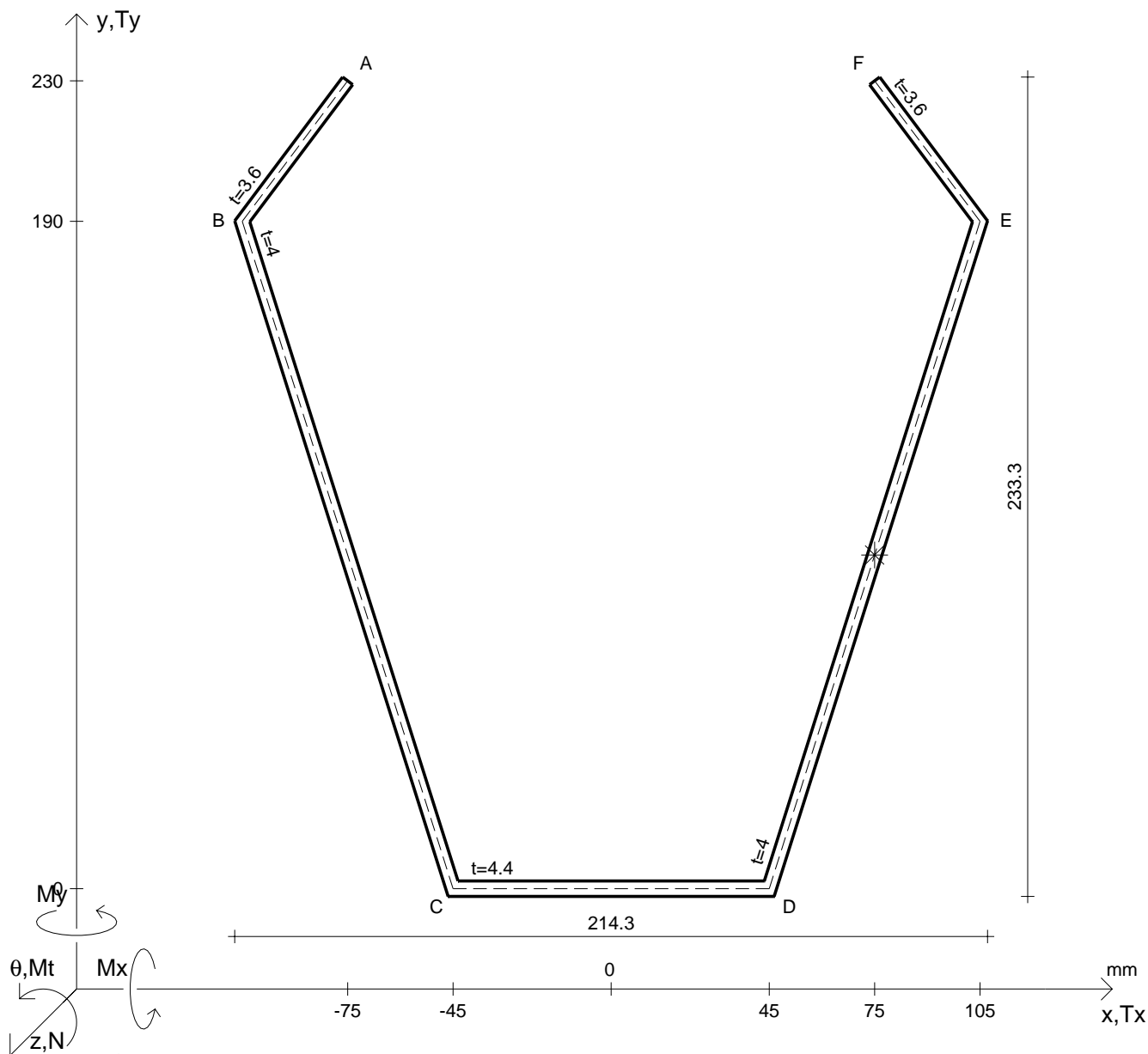
Rappresentare i cerchi di Mohr

Operare le conclusioni sulla verifica di resistenza in *

Facoltativo: rappresentare l'asse neutro e l'andamento delle tens. normali.

Facoltativo: rappresentare l'andamento delle tens. tangenziali.

N	$= 126000 \text{ N}$	M_x	$= -7830000 \text{ Nmm}$	G	$= 73000 \text{ N/mm}^2$
T_y	$= 97100 \text{ N}$	σ_a	$= 220 \text{ N/mm}^2$	σ_{lld}	$=$
M_t	$= 173000 \text{ Nmm}$	E	$= 200000 \text{ N/mm}^2$	σ_{tresca}	$=$
y_G	$=$	$\tau(M_t)_d$	$=$	σ_{mises}	$=$
u_o	$=$	$\tau(T_{yc})$	$=$	$\sigma_{st.ven}$	$=$
v_o	$=$	$\tau(T_{yb})_d$	$=$	θ_t	$=$
A^*	$=$	$\tau(T_y)_s$	$=$	r_u	$=$
S_u	$=$	$\tau(T_y)_d$	$=$	r_v	$=$
C_w	$=$	σ	$=$	r_o	$=$
J_u	$=$	τ_s	$=$	J_p	$=$
J_v	$=$	τ_d	$=$		
J_t	$=$	σ_{ls}	$=$		
$\sigma(N)$	$=$	σ_{lls}	$=$		
$\sigma(M_x)$	$=$	σ_{ld}	$=$		



Calcolo degli sforzi in * con forze baricentriche essendo * il punto medio di DE

Rappresentare sul foglio, in scala: G, assi u,v, ellisse d'inertia, C.T.

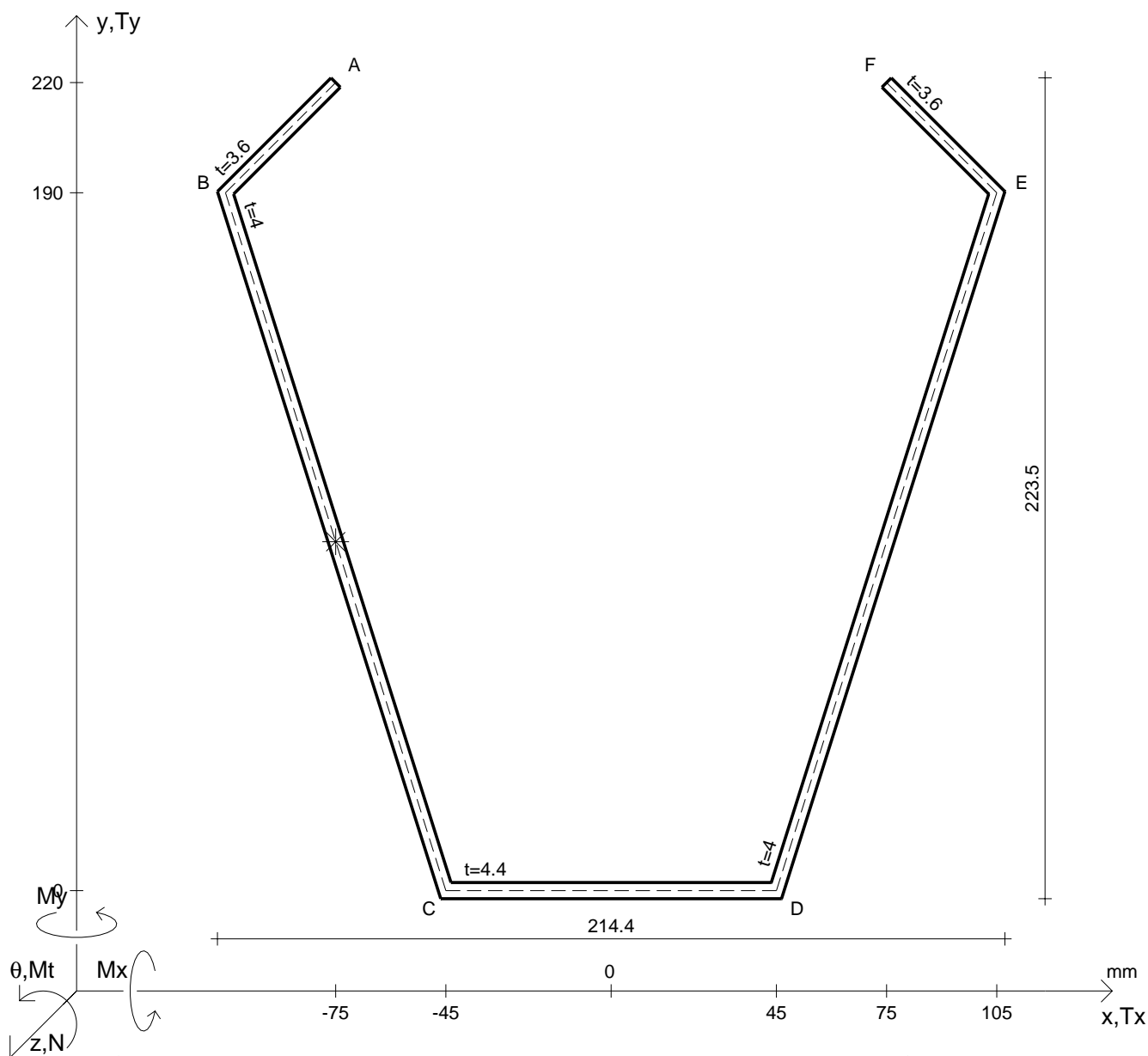
Rappresentare i cerchi di Mohr

Operare le conclusioni sulla verifica di resistenza in *

Facoltativo: rappresentare l'asse neutro e l'andamento delle tens. normali.

Facoltativo: rappresentare l'andamento delle tens. tangenziali.

N	= 135000 N	M_x	= -8290000 Nmm	G	= 73000 N/mm ²
T_y	= 69300 N	σ_a	= 220 N/mm ²		
M_t	= 190000 Nmm	E	= 200000 N/mm ²		
y_G	=	$\tau(M_t)_d$	=	σ_{lld}	=
u_o	=	$\tau(T_{yc})$	=	σ_{tresca}	=
v_o	=	$\tau(T_{yb})_d$	=	σ_{mises}	=
A^*	=	$\tau(T_y)_s$	=	$\sigma_{st.ven}$	=
S_u	=	$\tau(T_y)_d$	=	θ_t	=
C_w	=	σ	=	r_u	=
J_u	=	τ_s	=	r_v	=
J_v	=	τ_d	=	r_o	=
J_t	=	σ_{ls}	=	J_p	=
$\sigma(N)$	=	σ_{lls}	=		
$\sigma(M_x)$	=	σ_{ld}	=		



Calcolo degli sforzi in * con forze baricentriche essendo * il punto medio di BC

Rappresentare sul foglio, in scala: G, assi u,v, ellisse d'inertia, C.T.

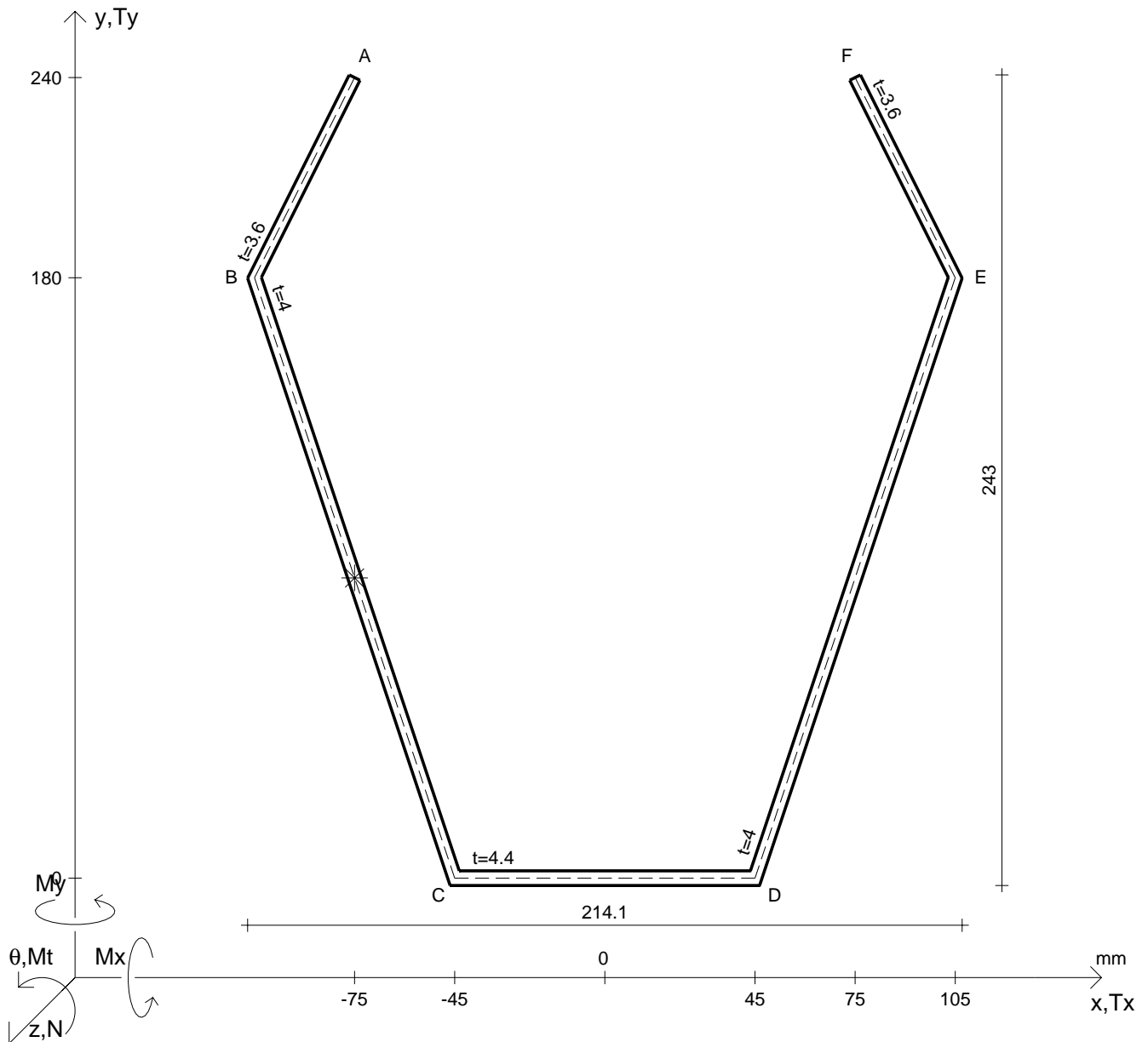
Rappresentare i cerchi di Mohr

Operare le conclusioni sulla verifica di resistenza in *

Facoltativo: rappresentare l'asse neutro e l'andamento delle tens. normali.

Facoltativo: rappresentare l'andamento delle tens. tangenziali.

N	= 97400 N	M _x	= 8760000 Nmm	G	= 73000 N/mm ²
T _y	= 75000 N	σ _a	= 220 N/mm ²		
M _t	= 206000 Nmm	E	= 200000 N/mm ²		
y _G	=	τ(M _t) _d	=	σ _{lld}	=
u _o	=	τ(T _{yc})	=	σ _{tresca}	=
v _o	=	τ(T _{yb}) _d	=	σ _{mises}	=
A _*	=	τ(T _y) _s	=	σ _{st.ven}	=
S _u	=	τ(T _y) _d	=	θ _t	=
C _w	=	σ	=	r _u	=
J _u	=	τ _s	=	r _v	=
J _v	=	τ _d	=	r _o	=
J _t	=	σ _{ls}	=	J _p	=
σ(N)	=	σ _{lls}	=		
σ(M _x)	=	σ _{ld}	=		



Calcolo degli sforzi in * con forze baricentriche essendo * il punto medio di BC

Rappresentare sul foglio, in scala: G, assi u,v, ellisse d'inertia, C.T.

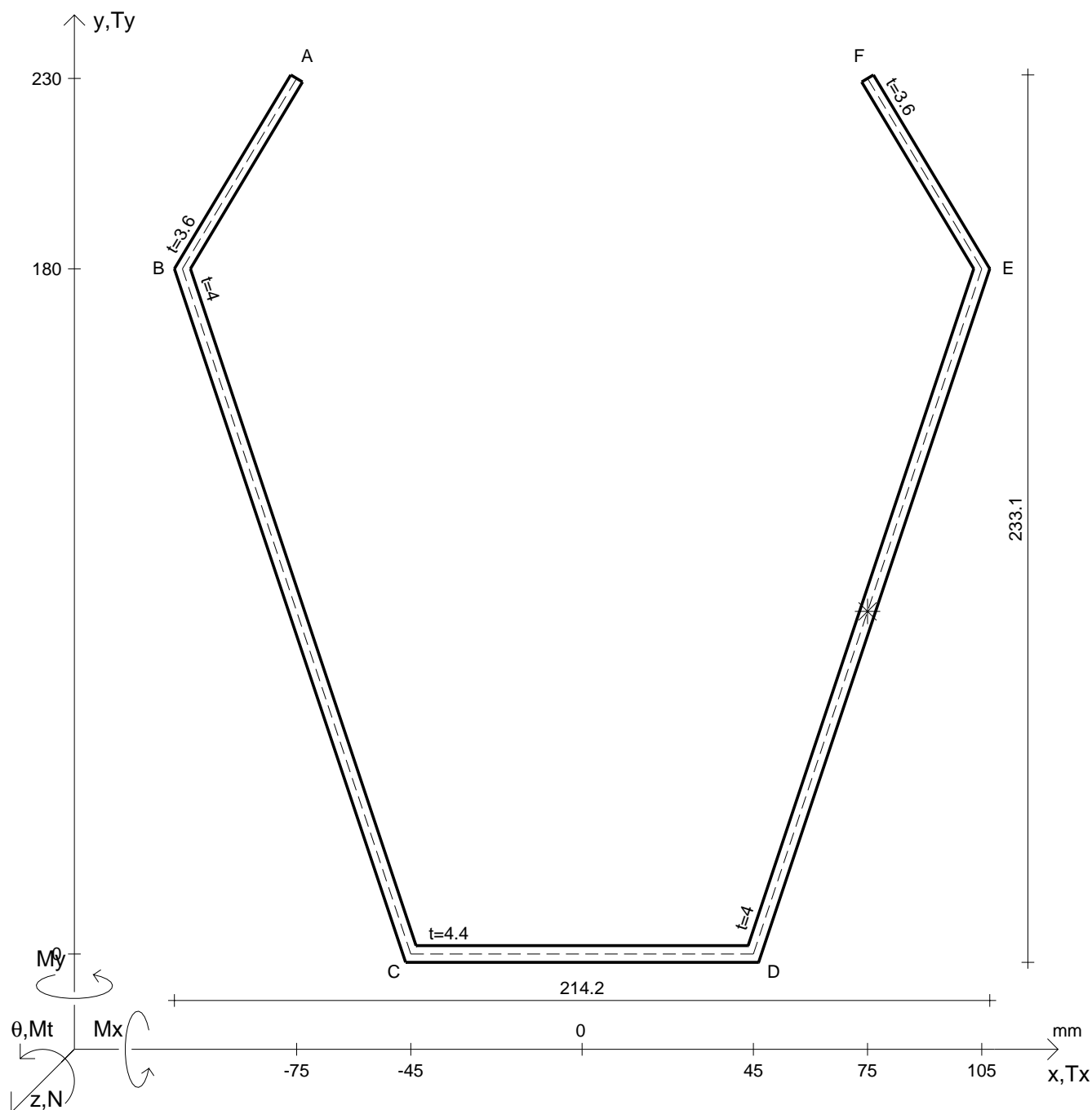
Rappresentare i cerchi di Mohr

Operare le conclusioni sulla verifica di resistenza in *

Facoltativo: rappresentare l'asse neutro e l'andamento delle tens. normali.

Facoltativo: rappresentare l'andamento delle tens. tangenziali.

N	$= 113000 \text{ N}$	M_x	$= -6820000 \text{ Nmm}$	G	$= 73000 \text{ N/mm}^2$
T_y	$= 88300 \text{ N}$	σ_a	$= 220 \text{ N/mm}^2$	σ_{lld}	$=$
M_t	$= 231000 \text{ Nmm}$	E	$= 200000 \text{ N/mm}^2$	σ_{tresca}	$=$
y_G	$=$	$\tau(M_t)_d$	$=$	σ_{mises}	$=$
u_o	$=$	$\tau(T_{yc})$	$=$	$\sigma_{st.ven}$	$=$
v_o	$=$	$\tau(T_{yb})_d$	$=$	θ_t	$=$
A^*	$=$	$\tau(T_y)_s$	$=$	r_u	$=$
S_u	$=$	$\tau(T_y)_d$	$=$	r_v	$=$
C_w	$=$	σ	$=$	r_o	$=$
J_u	$=$	τ_s	$=$	J_p	$=$
J_v	$=$	τ_d	$=$		
J_t	$=$	σ_{ls}	$=$		
$\sigma(N)$	$=$	σ_{lls}	$=$		
$\sigma(M_x)$	$=$	σ_{ld}	$=$		



Calcolo degli sforzi in * con forze baricentriche essendo * il punto medio di DE

Rappresentare sul foglio, in scala: G, assi u,v, ellisse d'inertia, C.T.

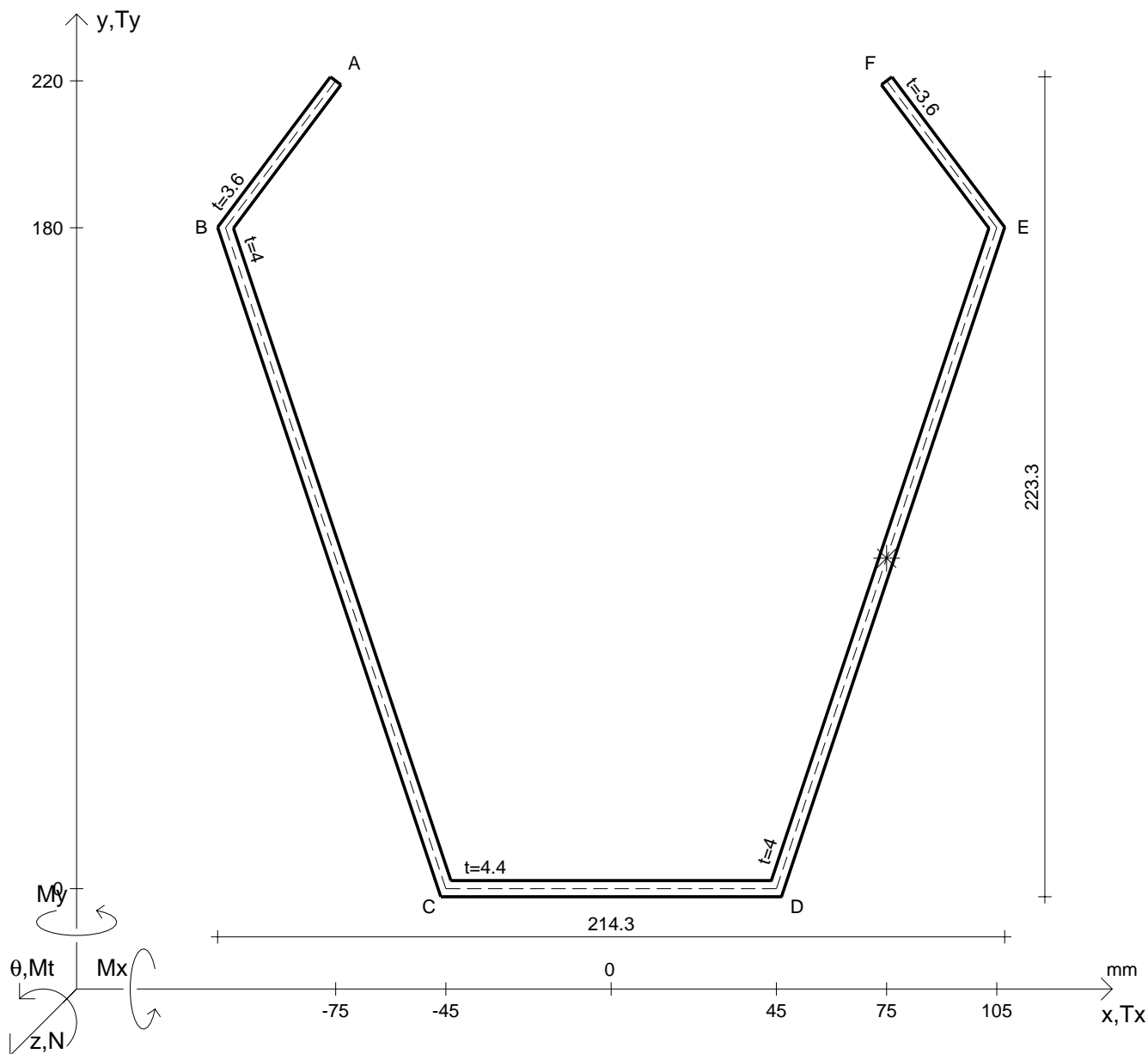
Rappresentare i cerchi di Mohr

Operare le conclusioni sulla verifica di resistenza in *

Facoltativo: rappresentare l'asse neutro e l'andamento delle tens. normali.

Facoltativo: rappresentare l'andamento delle tens. tangenziali.

N	= 122000 N	M_t	= 168000 Nmm	σ_a	= 220 N/mm ²	G	= 73000 N/mm ²
T_y	= 93100 N	M_x	= -7250000 Nmm	E	= 200000 N/mm ²	σ_{mises}	=
y_G	=	J_t	=	σ	=	$\sigma_{st.ven}$	=
u_o	=	$\sigma(N)$	=	τ_s	=	θ_t	=
v_o	=	$\sigma(M_x)$	=	τ_d	=	r_u	=
A^*	=	$\tau(M_t)_d$	=	σ_{ls}	=	r_v	=
S_u	=	$\tau(T_{yc})$	=	σ_{lls}	=	r_o	=
C_w	=	$\tau(T_{yb})_d$	=	σ_{ld}	=	J_p	=
J_u	=	$\tau(T_y)_s$	=	σ_{lld}	=		
J_v	=	$\tau(T_y)_d$	=	σ_{tresca}	=		



Calcolo degli sforzi in * con forze baricentriche essendo * il punto medio di DE

Rappresentare sul foglio, in scala: G, assi u,v, ellisse d'inertia, C.T.

Rappresentare i cerchi di Mohr

Operare le conclusioni sulla verifica di resistenza in *

Facoltativo: rappresentare l'asse neutro e l'andamento delle tens. normali.

Facoltativo: rappresentare l'andamento delle tens. tangenziali.

$$\begin{aligned} N &= 130000 \text{ N} \\ T_y &= 66400 \text{ N} \\ M_t &= 184000 \text{ Nmm} \end{aligned}$$

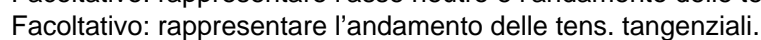
$$\begin{aligned} y_G &= \\ u_o &= \\ v_o &= \\ A^* &= \\ S_u &= \\ C_w &= \\ J_u &= \\ J_v &= \\ J_t &= \\ \sigma(N) &= \\ \sigma(M_x) &= \end{aligned}$$

$$\begin{aligned} M_x &= -7650000 \text{ Nmm} \\ \sigma_a &= 220 \text{ N/mm}^2 \\ E &= 200000 \text{ N/mm}^2 \end{aligned}$$

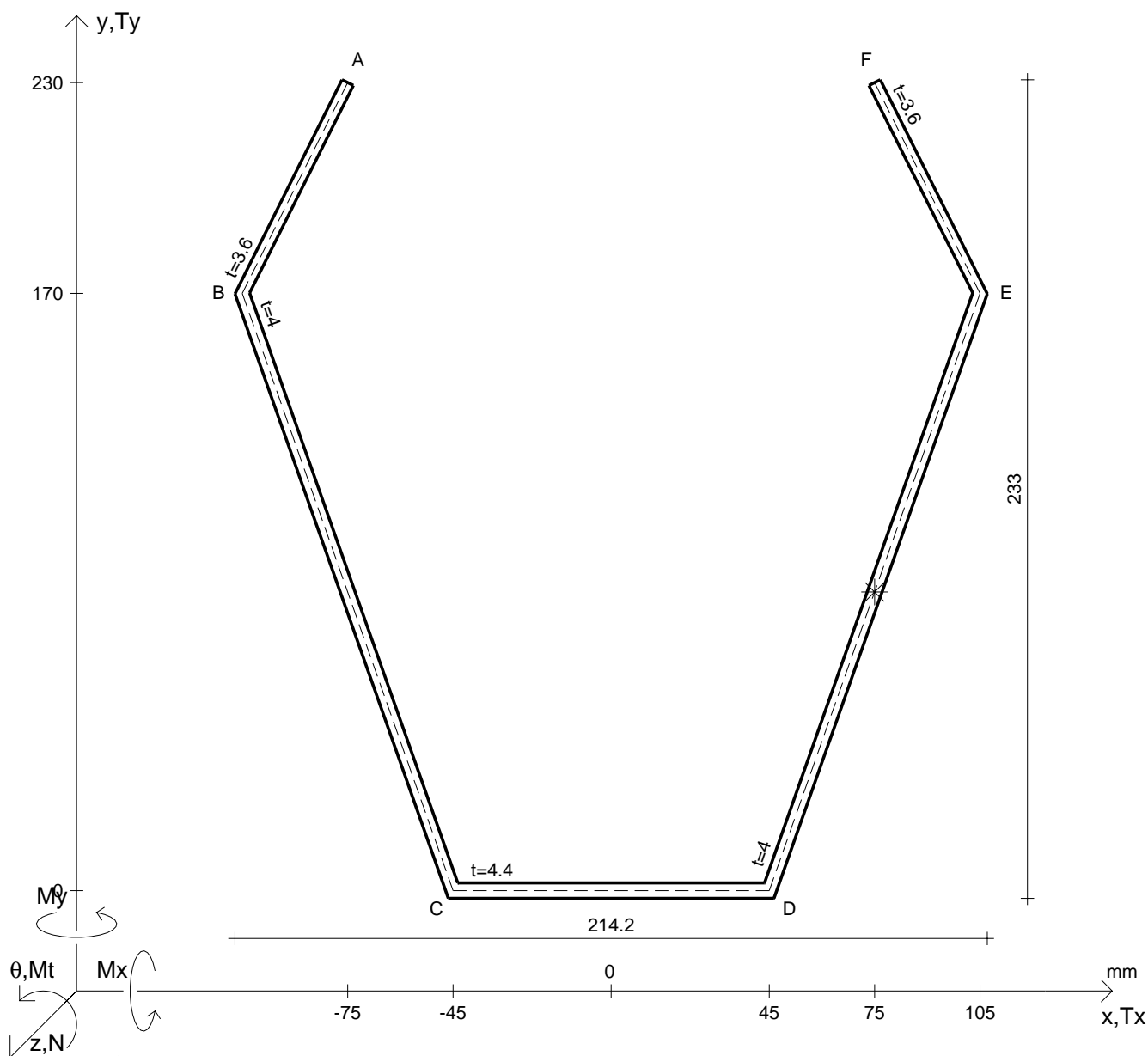
$$\begin{aligned} \tau(M_t)_d &= \\ \tau(T_{yc}) &= \\ \tau(T_{yb})_d &= \\ \tau(T_y)_s &= \\ \tau(T_y)_d &= \\ \sigma &= \\ \tau_s &= \\ \tau_d &= \\ \sigma_{ls} &= \\ \sigma_{lls} &= \\ \sigma_{ld} &= \end{aligned}$$

$$G = 73000 \text{ N/mm}^2$$

$$\begin{aligned} \sigma_{lld} &= \\ \sigma_{tresca} &= \\ \sigma_{mises} &= \\ \sigma_{st.ven} &= \\ \theta_t &= \\ r_u &= \\ r_v &= \\ r_o &= \\ J_p &= \end{aligned}$$



28.04.14



Calcolo degli sforzi in * con forze baricentriche essendo * il punto medio di DE

Rappresentare sul foglio, in scala: G, assi u,v, ellisse d'inertia, C.T.

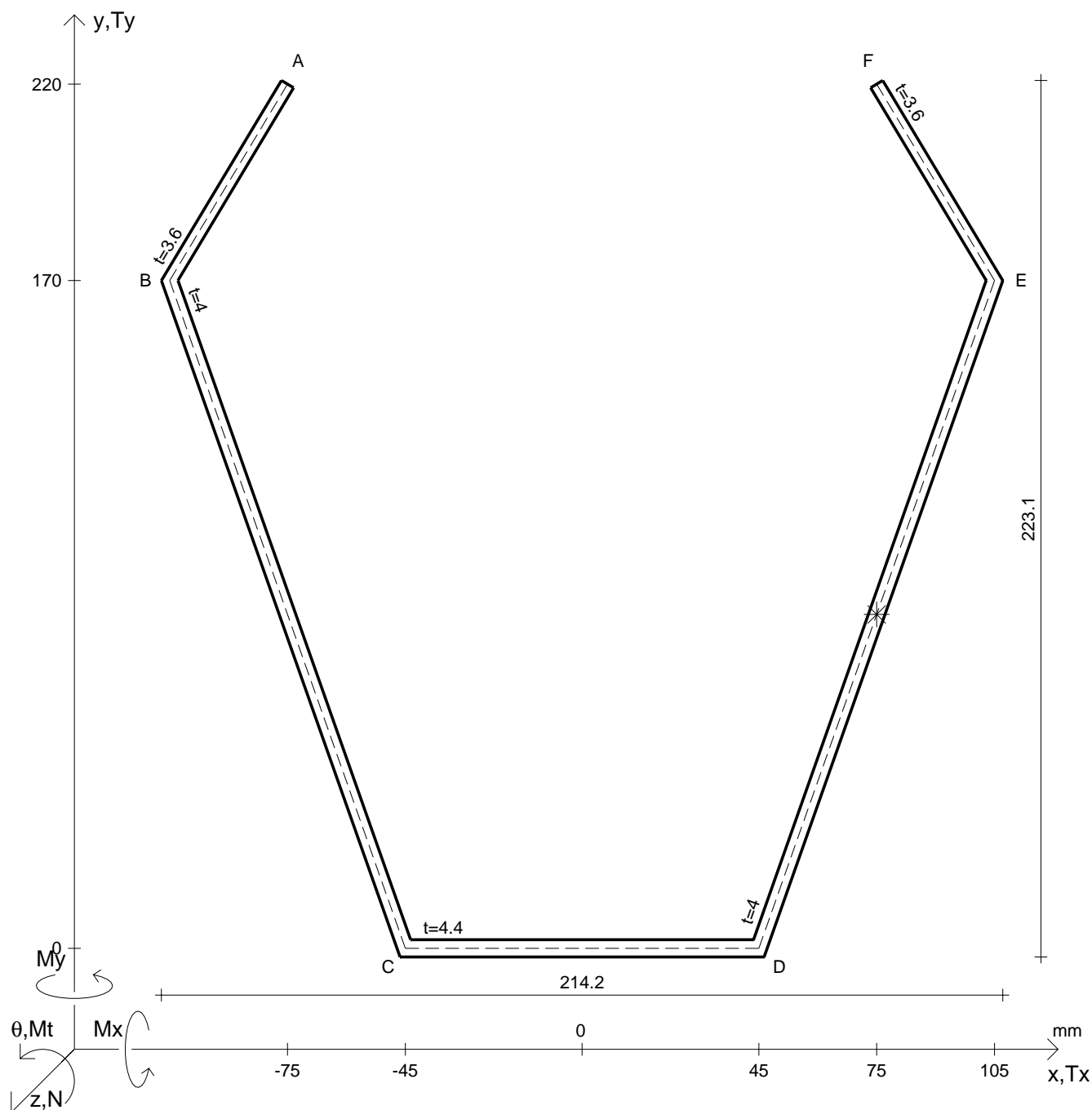
Rappresentare i cerchi di Mohr

Operare le conclusioni sulla verifica di resistenza in *

Facoltativo: rappresentare l'asse neutro e l'andamento delle tens. normali.

Facoltativo: rappresentare l'andamento delle tens. tangenziali.

N	$= 109000 \text{ N}$	M_x	$= -6310000 \text{ Nmm}$	G	$= 73000 \text{ N/mm}^2$
T_y	$= 84700 \text{ N}$	σ_a	$= 220 \text{ N/mm}^2$		
M_t	$= 224000 \text{ Nmm}$	E	$= 200000 \text{ N/mm}^2$		
y_G	$=$	$\tau(M_t)_d$	$=$	σ_{lld}	$=$
u_o	$=$	$\tau(T_{yc})$	$=$	σ_{tresca}	$=$
v_o	$=$	$\tau(T_{yb})_d$	$=$	σ_{mises}	$=$
A^*	$=$	$\tau(T_y)_s$	$=$	$\sigma_{st.ven}$	$=$
S_u	$=$	$\tau(T_y)_d$	$=$	θ_t	$=$
C_w	$=$	σ	$=$	r_u	$=$
J_u	$=$	τ_s	$=$	r_v	$=$
J_v	$=$	τ_d	$=$	r_o	$=$
J_t	$=$	σ_{ls}	$=$	J_p	$=$
$\sigma(N)$	$=$	σ_{lls}	$=$		
$\sigma(M_x)$	$=$	σ_{ld}	$=$		



Calcolo degli sforzi in * con forze baricentriche essendo * il punto medio di DE

Rappresentare sul foglio, in scala: G, assi u,v, ellisse d'inertia, C.T.

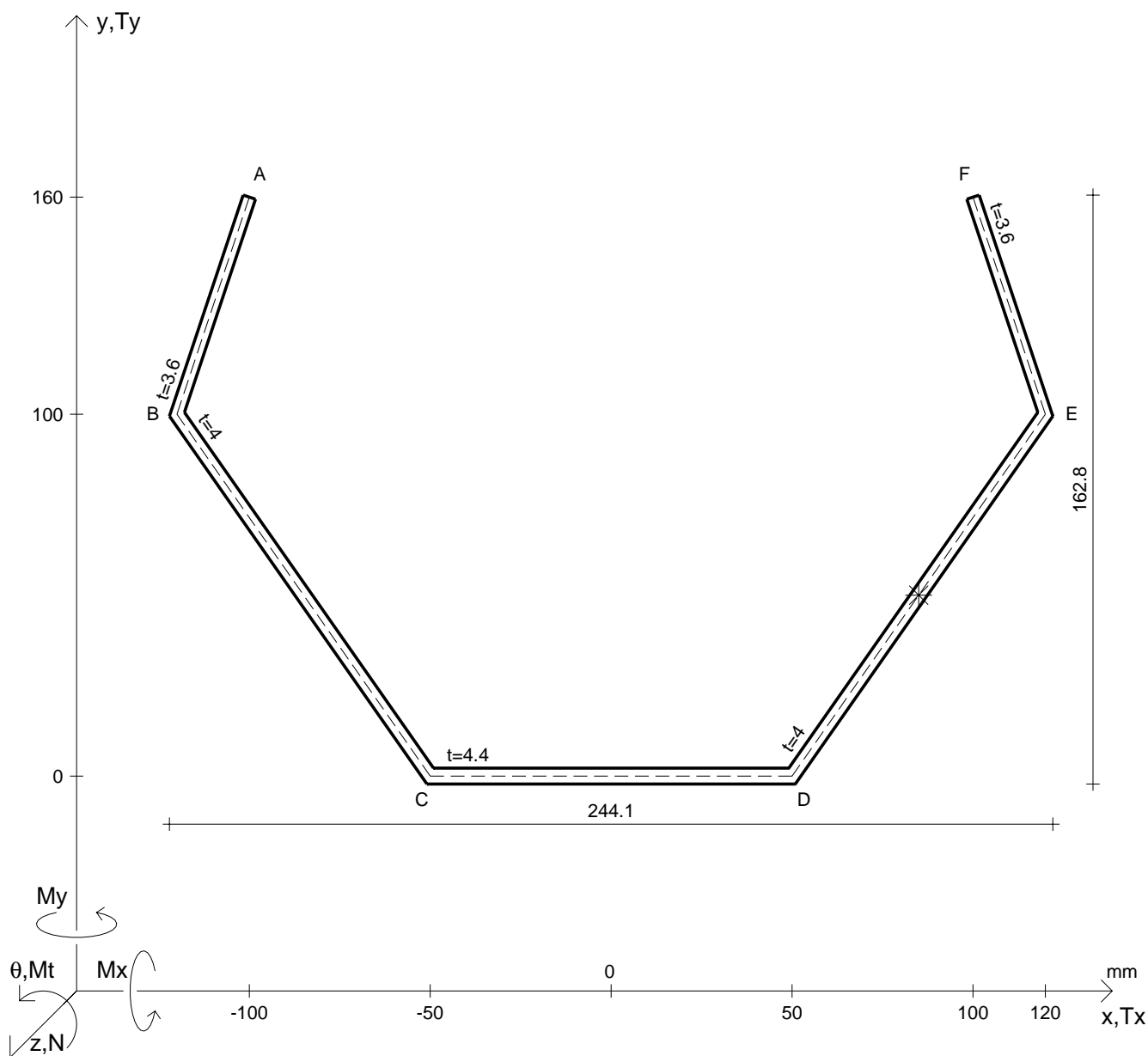
Rappresentare i cerchi di Mohr

Operare le conclusioni sulla verifica di resistenza in *

Facoltativo: rappresentare l'asse neutro e l'andamento delle tens. normali.

Facoltativo: rappresentare l'andamento delle tens. tangenziali.

N	= 118000 N	M_t	= 162000 Nmm	σ_a	= 220 N/mm ²	G	= 73000 N/mm ²
T_y	= 89200 N	M_x	= -6690000 Nmm	E	= 200000 N/mm ²	σ_{mises}	=
y_G	=	J_t	=	σ	=	$\sigma_{st.ven}$	=
u_o	=	$\sigma(N)$	=	τ_s	=	θ_t	=
v_o	=	$\sigma(M_x)$	=	τ_d	=	r_u	=
A^*	=	$\tau(M_t)_d$	=	σ_{ls}	=	r_v	=
S_u	=	$\tau(T_{yc})_d$	=	σ_{lls}	=	r_o	=
C_w	=	$\tau(T_{yb})_d$	=	σ_{ld}	=	J_p	=
J_u	=	$\tau(T_y)_s$	=	σ_{lld}	=		
J_v	=	$\tau(T_y)_d$	=	σ_{tresca}	=		



Calcolo degli sforzi in * con forze baricentriche essendo * il punto medio di DE

Rappresentare sul foglio, in scala: G, assi u,v, ellisse d'inerzia, C.T.

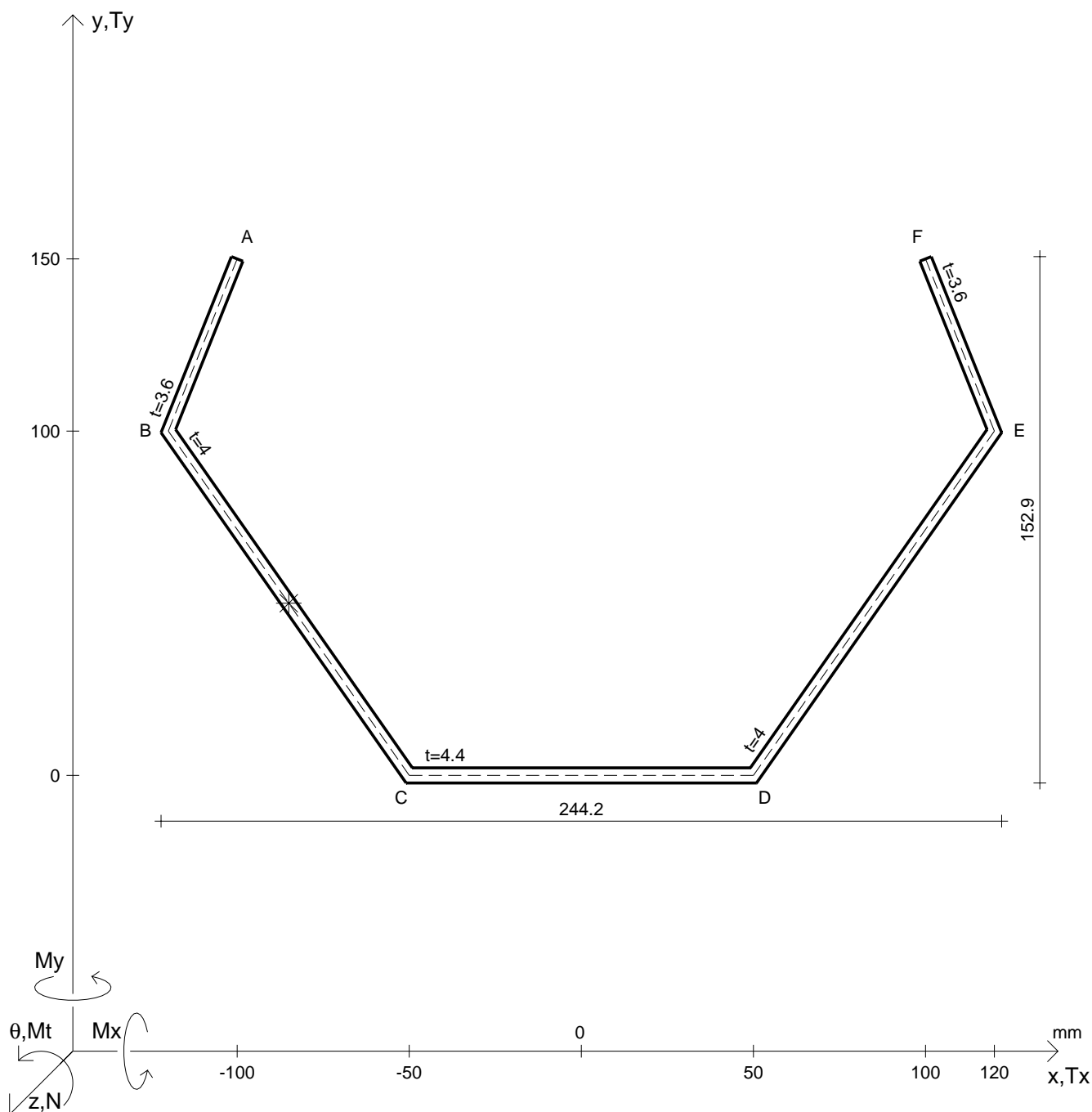
Rappresentare i cerchi di Mohr

Operare le conclusioni sulla verifica di resistenza in *

Facoltativo: rappresentare l'asse neutro e l'andamento delle tens. normali.

Facoltativo: rappresentare l'andamento delle tens. tangenziali.

N	$= 106000 \text{ N}$	M_x	$= -3960000 \text{ Nmm}$	G	$= 73000 \text{ N/mm}^2$
T_y	$= 47500 \text{ N}$	σ_a	$= 220 \text{ N/mm}^2$		
M_t	$= 150000 \text{ Nmm}$	E	$= 200000 \text{ N/mm}^2$		
y_G	$=$	$\tau(M_t)_d$	$=$	σ_{lld}	$=$
u_o	$=$	$\tau(T_{yc})$	$=$	σ_{tresca}	$=$
v_o	$=$	$\tau(T_{yb})_d$	$=$	σ_{mises}	$=$
A^*	$=$	$\tau(T_y)_s$	$=$	$\sigma_{st.ven}$	$=$
S_u	$=$	$\tau(T_y)_d$	$=$	θ_t	$=$
C_w	$=$	σ	$=$	r_u	$=$
J_u	$=$	τ_s	$=$	r_v	$=$
J_v	$=$	τ_d	$=$	r_o	$=$
J_t	$=$	σ_{ls}	$=$	J_p	$=$
$\sigma(N)$	$=$	σ_{lls}	$=$		
$\sigma(M_x)$	$=$	σ_{ld}	$=$		



Calcolo degli sforzi in * con forze baricentriche essendo * il punto medio di BC

Rappresentare sul foglio, in scala: G, assi u,v, ellisse d'inertia, C.T.

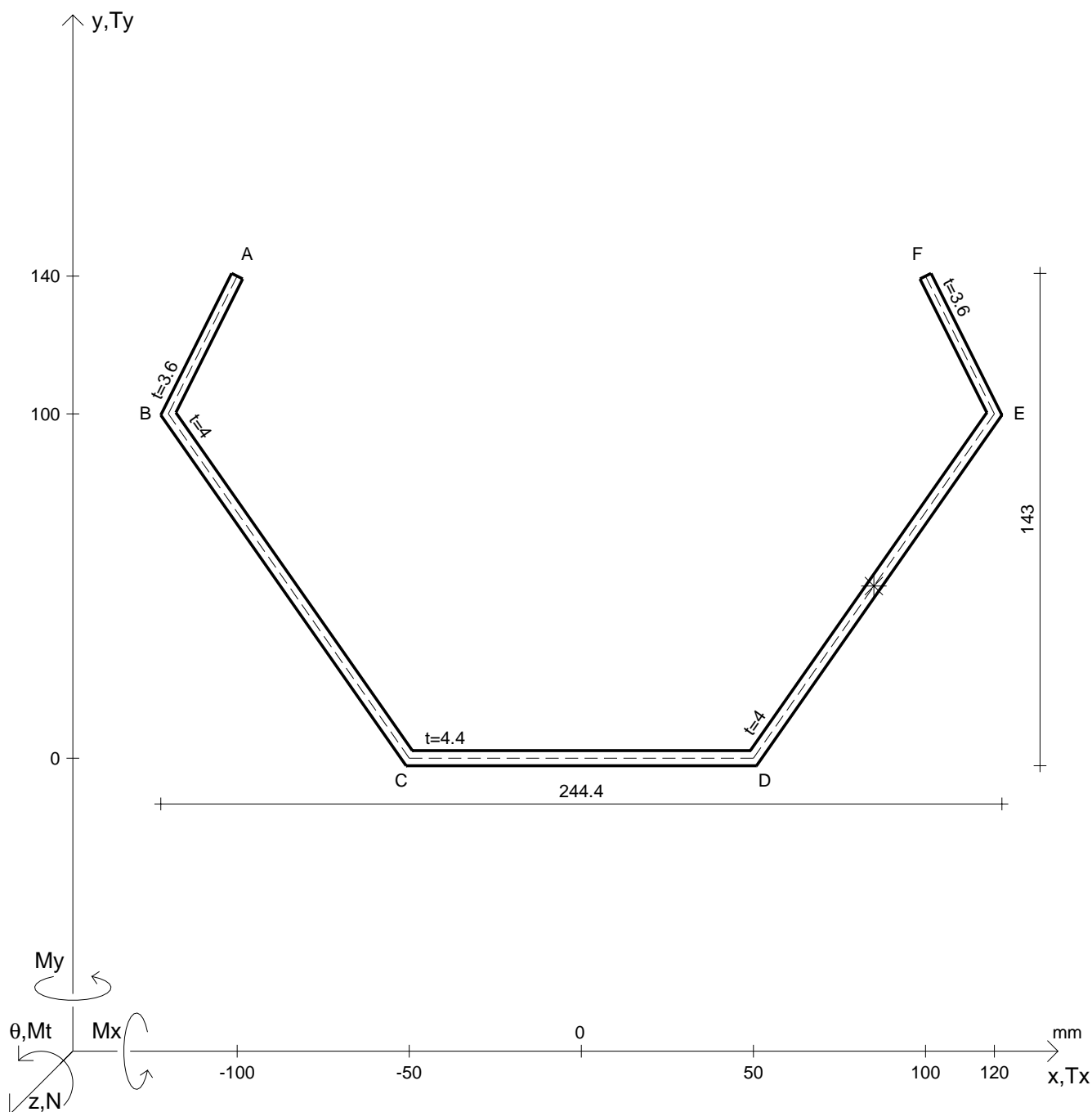
Rappresentare i cerchi di Mohr

Operare le conclusioni sulla verifica di resistenza in *

Facoltativo: rappresentare l'asse neutro e l'andamento delle tens. normali.

Facoltativo: rappresentare l'andamento delle tens. tangenziali.

N	= 76400 N	M _t	= 161000 Nmm	σ _a	= 220 N/mm ²	G	= 73000 N/mm ²
T _y	= 49800 N	M _x	= -3950000 Nmm	E	= 200000 N/mm ²		
y _G	=	J _t	=	σ	=	σ _{mises}	=
u _o	=	σ(N)	=	τ _s	=	σ _{st.ven}	=
v _o	=	σ(M _x)	=	τ _d	=	θ _t	=
A [*]	=	τ(M _t) _d	=	σ _{ls}	=	r _u	=
S _u	=	τ(T _{yc})	=	σ _{lls}	=	r _v	=
C _w	=	τ(T _{yb}) _d	=	σ _{ld}	=	r _o	=
J _u	=	τ(T _y) _s	=	σ _{lld}	=	J _p	=
J _v	=	τ(T _y) _d	=	σ _{tresca}	=		



Calcolo degli sforzi in * con forze baricentriche essendo * il punto medio di DE

Rappresentare sul foglio, in scala: G, assi u,v, ellisse d'inertia, C.T.

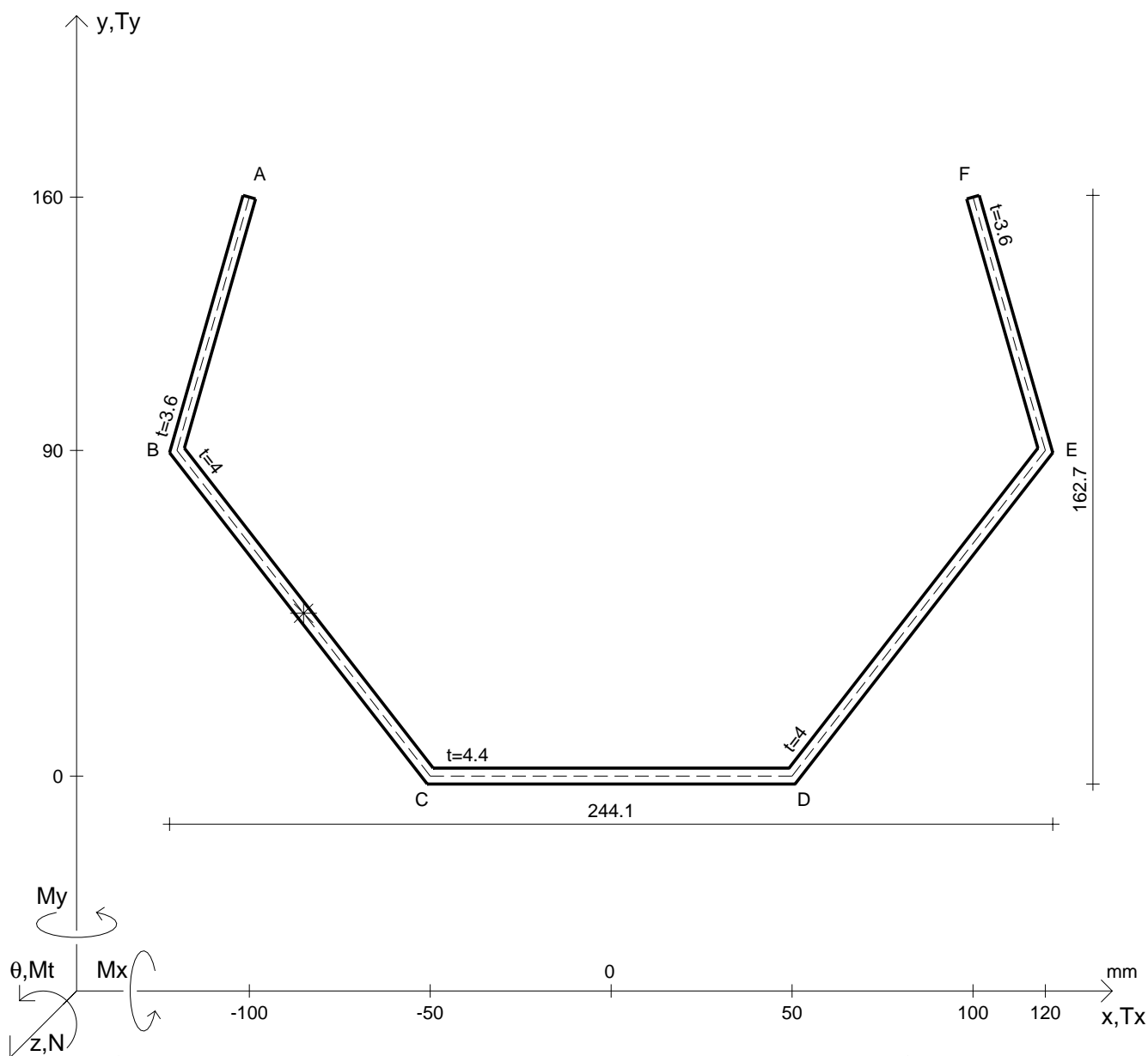
Rappresentare i cerchi di Mohr

Operare le conclusioni sulla verifica di resistenza in *

Facoltativo: rappresentare l'asse neutro e l'andamento delle tens. normali.

Facoltativo: rappresentare l'andamento delle tens. tangenziali.

N	= 82500 N	M_t	= 172000 Nmm	σ_a	= 220 N/mm ²	G	= 73000 N/mm ²
T_y	= 51600 N	M_x	= -2680000 Nmm	E	= 200000 N/mm ²	σ_{mises}	=
y_G	=	J_t	=	σ	=	$\sigma_{st.ven}$	=
u_o	=	$\sigma(N)$	=	τ_s	=	θ_t	=
v_o	=	$\sigma(M_x)$	=	τ_d	=	r_u	=
A^*	=	$\tau(M_t)_d$	=	σ_{ls}	=	r_v	=
S_u^*	=	$\tau(T_{yc})$	=	σ_{lls}	=	r_o	=
C_w	=	$\tau(T_{yb})_d$	=	σ_{ld}	=	J_p	=
J_u	=	$\tau(T_y)_s$	=	σ_{lld}	=		
J_v	=	$\tau(T_y)_d$	=	σ_{tresca}	=		



Calcolo degli sforzi in * con forze baricentriche essendo * il punto medio di BC

Rappresentare sul foglio, in scala: G, assi u, v , ellisse d'inertia, C.T.

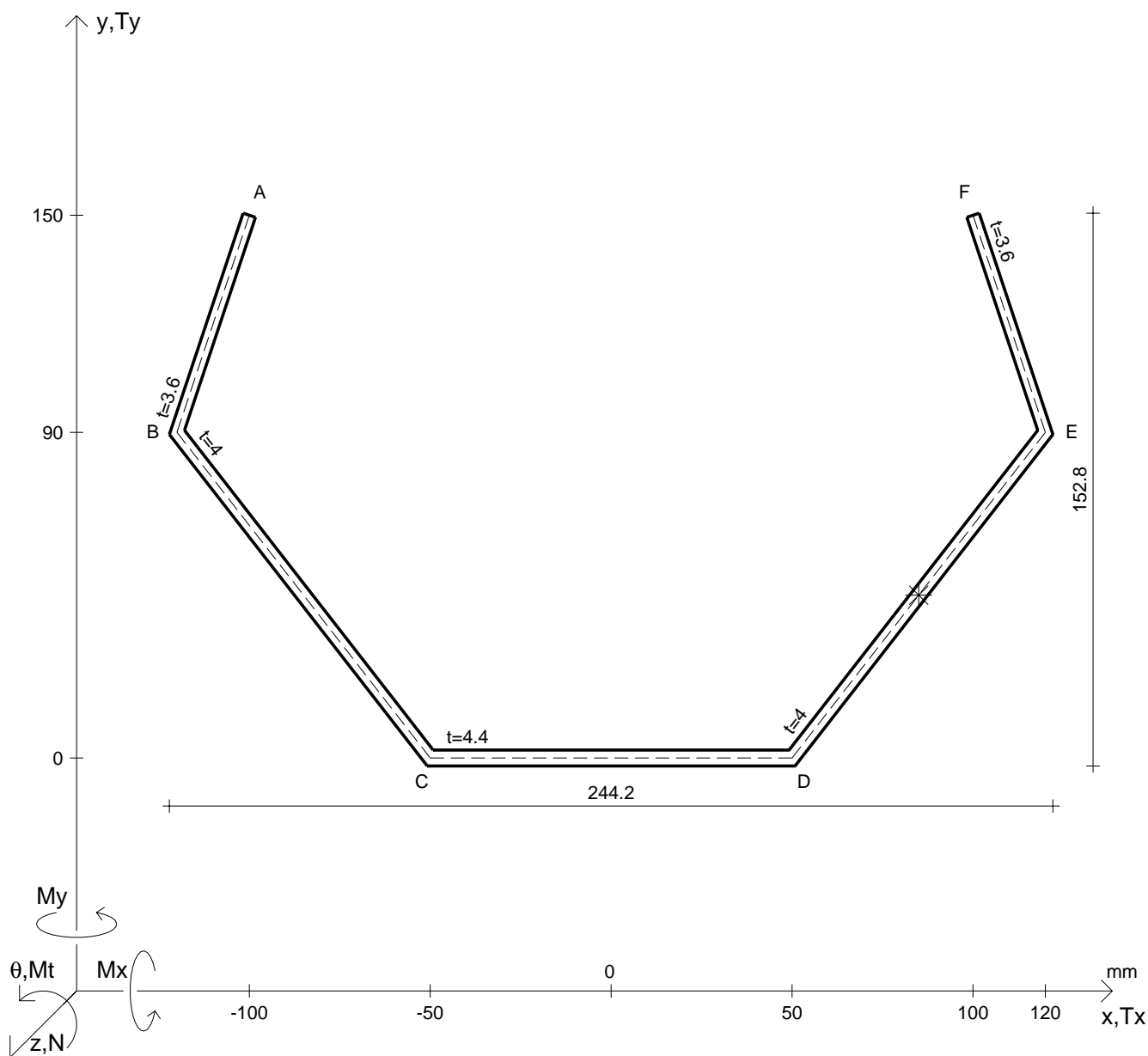
Rappresentare i cerchi di Mohr

Operare le conclusioni sulla verifica di resistenza in *

Facoltativo: rappresentare l'asse neutro e l'andamento delle tens. normali.

Facoltativo: rappresentare l'andamento delle tens. tangenziali.

N	$= 97500 \text{ N}$	M_x	$= -3510000 \text{ Nmm}$	G	$= 73000 \text{ N/mm}^2$
T_y	$= 64700 \text{ N}$	σ_a	$= 220 \text{ N/mm}^2$		
M_t	$= 133000 \text{ Nmm}$	E	$= 200000 \text{ N/mm}^2$		
y_G	$=$	$\tau(M_t)_d$	$=$	σ_{lld}	$=$
u_o	$=$	$\tau(T_{yc})$	$=$	σ_{tresca}	$=$
v_o	$=$	$\tau(T_{yb})_d$	$=$	σ_{mises}	$=$
A^*	$=$	$\tau(T_y)_s$	$=$	$\sigma_{st.ven}$	$=$
S_u	$=$	$\tau(T_y)_d$	$=$	θ_t	$=$
C_w	$=$	σ	$=$	r_u	$=$
J_u	$=$	τ_s	$=$	r_v	$=$
J_v	$=$	τ_d	$=$	r_o	$=$
J_t	$=$	σ_{ls}	$=$	J_p	$=$
$\sigma(N)$	$=$	σ_{lls}	$=$		
$\sigma(M_x)$	$=$	σ_{lld}	$=$		



Calcolo degli sforzi in * con forze baricentriche essendo * il punto medio di DE

Rappresentare sul foglio, in scala: G, assi u,v, ellisse d'inerzia, C.T.

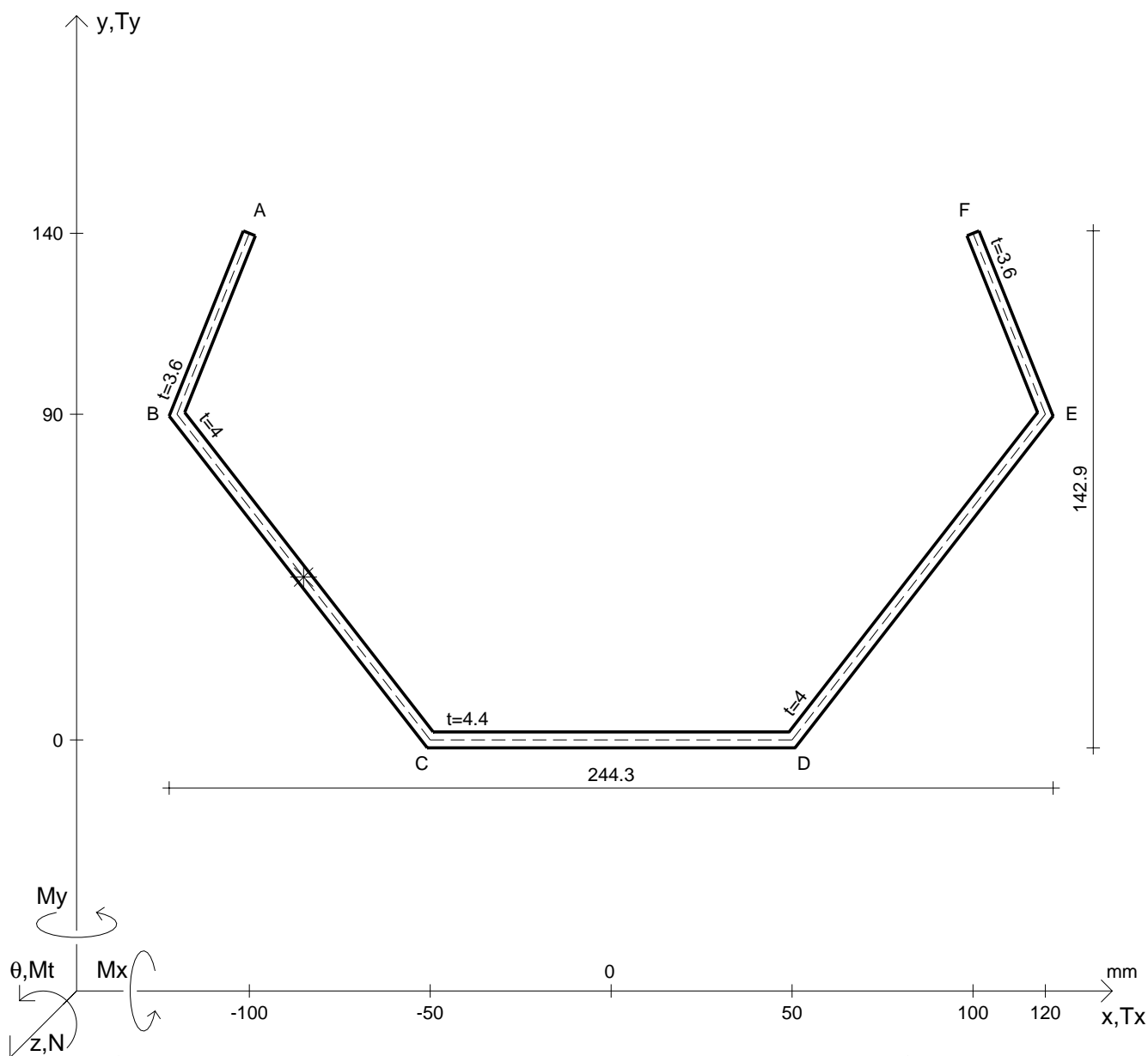
Rappresentare i cerchi di Mohr

Operare le conclusioni sulla verifica di resistenza in *

Facoltativo: rappresentare l'asse neutro e l'andamento delle tens. normali.

Facoltativo: rappresentare l'andamento delle tens. tangenziali.

N	$= 103000 \text{ N}$	M_x	$= -3510000 \text{ Nmm}$	G	$= 73000 \text{ N/mm}^2$
T_y	$= 44500 \text{ N}$	σ_a	$= 220 \text{ N/mm}^2$		
M_t	$= 145000 \text{ Nmm}$	E	$= 200000 \text{ N/mm}^2$		
y_G	$=$	$\tau(M_t)_d$	$=$	σ_{lld}	$=$
u_o	$=$	$\tau(T_{yc})$	$=$	σ_{tresca}	$=$
v_o	$=$	$\tau(T_{yb})_d$	$=$	σ_{mises}	$=$
A^*	$=$	$\tau(T_y)_s$	$=$	$\sigma_{st.ven}$	$=$
S_u	$=$	$\tau(T_y)_d$	$=$	θ_t	$=$
C_w	$=$	σ	$=$	r_u	$=$
J_u	$=$	τ_s	$=$	r_v	$=$
J_v	$=$	τ_d	$=$	r_o	$=$
J_t	$=$	σ_{ls}	$=$	J_p	$=$
$\sigma(N)$	$=$	σ_{lls}	$=$		
$\sigma(M_x)$	$=$	σ_{ld}	$=$		



Calcolo degli sforzi in * con forze baricentriche essendo * il punto medio di BC

Rappresentare sul foglio, in scala: G, assi u,v, ellisse d'inertia, C.T.

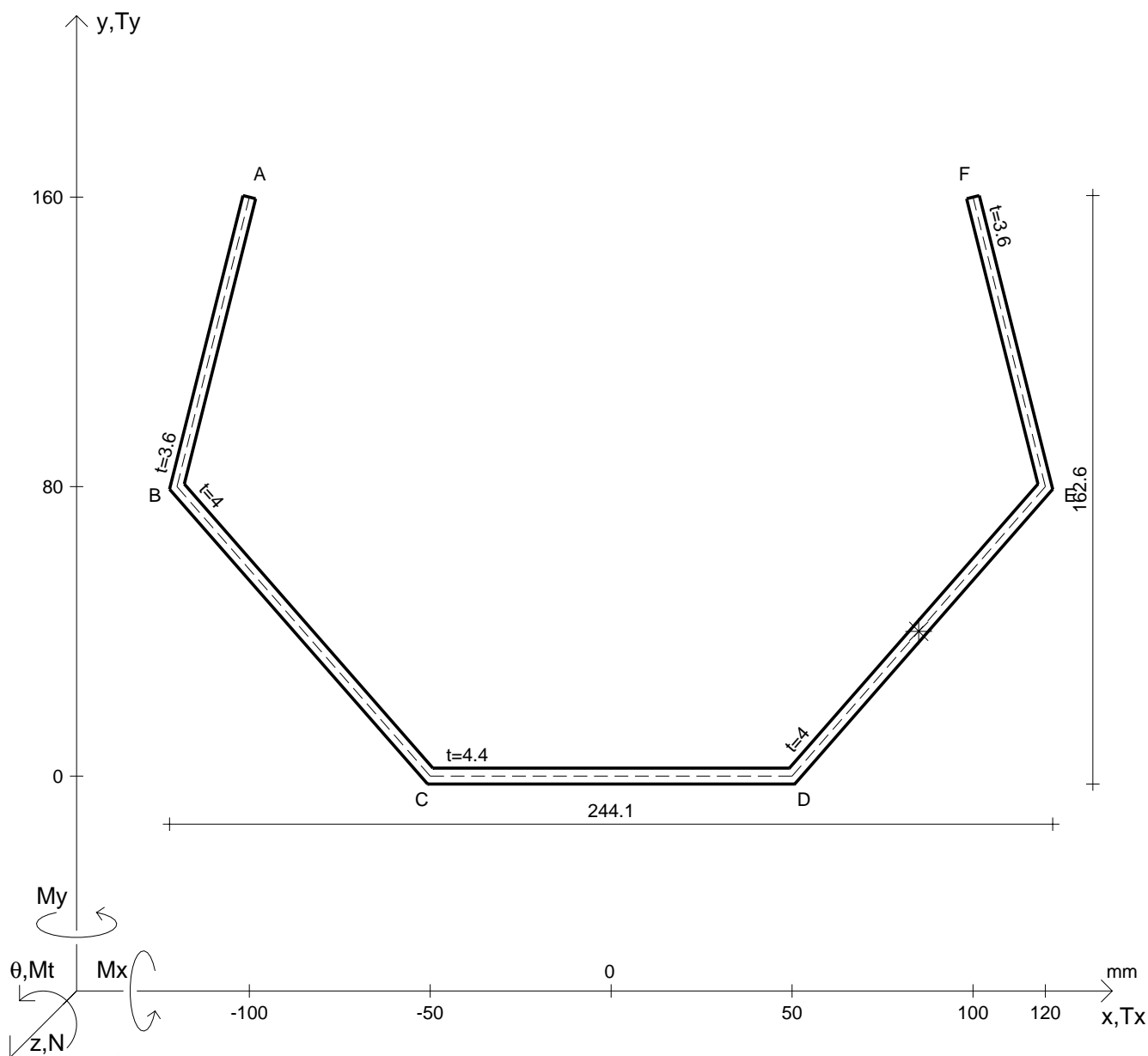
Rappresentare i cerchi di Mohr

Operare le conclusioni sulla verifica di resistenza in *

Facoltativo: rappresentare l'asse neutro e l'andamento delle tens. normali.

Facoltativo: rappresentare l'andamento delle tens. tangenziali.

N	$= 73600 \text{ N}$	M_x	$= -3490000 \text{ Nmm}$	G	$= 73000 \text{ N/mm}^2$
T_y	$= 46400 \text{ N}$	σ_a	$= 220 \text{ N/mm}^2$		
M_t	$= 156000 \text{ Nmm}$	E	$= 200000 \text{ N/mm}^2$		
y_G	$=$	$\tau(M_t)_d$	$=$	σ_{lld}	$=$
u_o	$=$	$\tau(T_{yc})$	$=$	σ_{tresca}	$=$
v_o	$=$	$\tau(T_{yb})_d$	$=$	σ_{mises}	$=$
A^*	$=$	$\tau(T_y)_s$	$=$	$\sigma_{st.ven}$	$=$
S_u^*	$=$	$\tau(T_y)_d$	$=$	θ_t	$=$
C_w	$=$	σ	$=$	r_u	$=$
J_u	$=$	τ_s	$=$	r_v	$=$
J_v	$=$	τ_d	$=$	r_o	$=$
J_t	$=$	σ_{ls}	$=$	J_p	$=$
$\sigma(N)$	$=$	σ_{lls}	$=$		
$\sigma(M_x)$	$=$	σ_{ld}	$=$		



Calcolo degli sforzi in * con forze baricentriche essendo * il punto medio di DE

Rappresentare sul foglio, in scala: G, assi u,v, ellisse d'inertia, C.T.

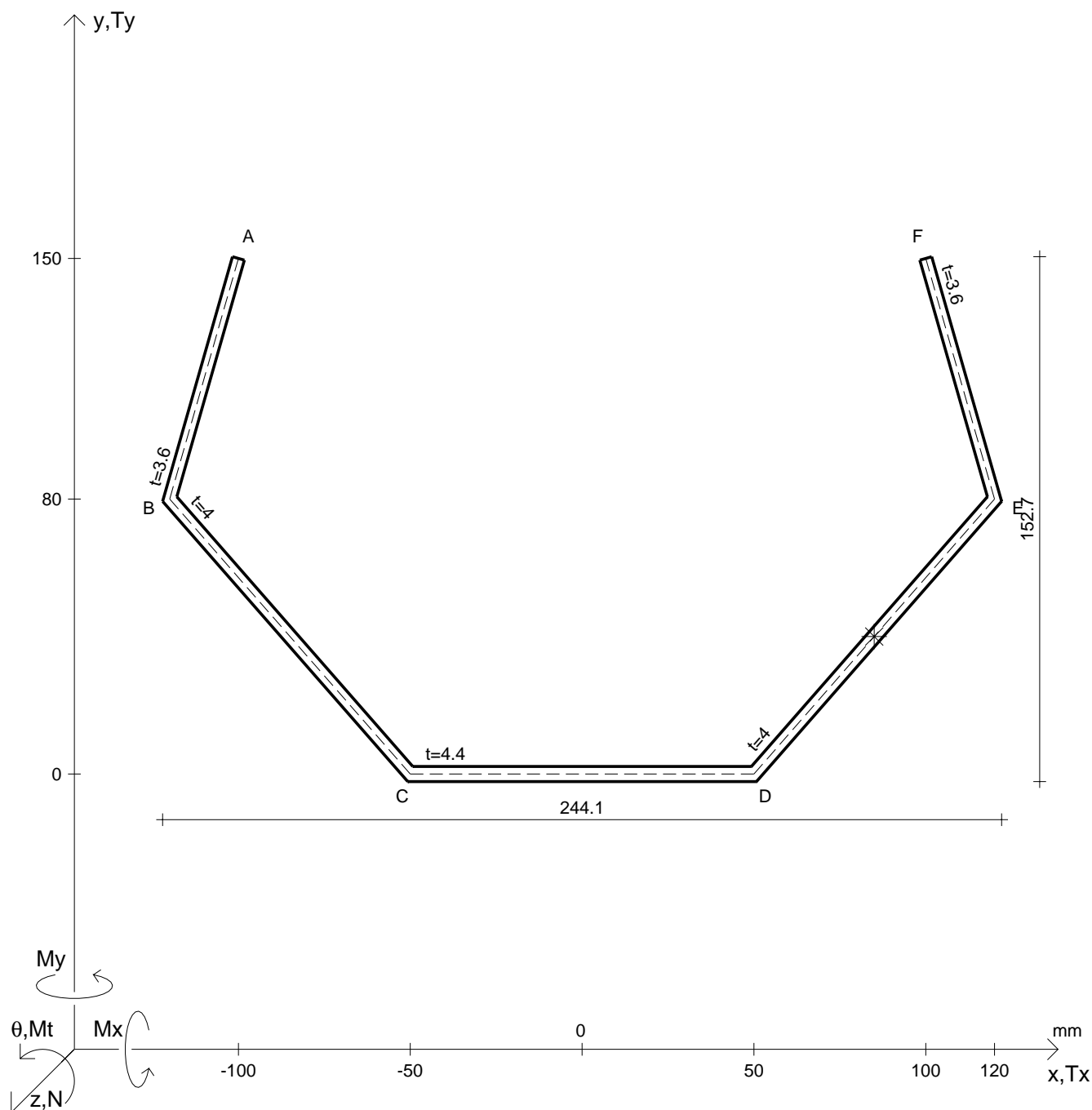
Rappresentare i cerchi di Mohr

Operare le conclusioni sulla verifica di resistenza in *

Facoltativo: rappresentare l'asse neutro e l'andamento delle tens. normali.

Facoltativo: rappresentare l'andamento delle tens. tangenziali.

N	$= 90600 \text{ N}$	M_x	$= -3170000 \text{ Nmm}$	G	$= 73000 \text{ N/mm}^2$
T_y	$= 57900 \text{ N}$	σ_a	$= 220 \text{ N/mm}^2$		
M_t	$= 184000 \text{ Nmm}$	E	$= 200000 \text{ N/mm}^2$		
y_G	$=$	$\tau(M_t)_d$	$=$	σ_{lld}	$=$
u_o	$=$	$\tau(T_{yc})$	$=$	σ_{tresca}	$=$
v_o	$=$	$\tau(T_{yb})_d$	$=$	σ_{mises}	$=$
A^*	$=$	$\tau(T_y)_s$	$=$	$\sigma_{st.ven}$	$=$
S_u	$=$	$\tau(T_y)_d$	$=$	θ_t	$=$
C_w	$=$	σ	$=$	r_u	$=$
J_u	$=$	τ_s	$=$	r_v	$=$
J_v	$=$	τ_d	$=$	r_o	$=$
J_t	$=$	σ_{ls}	$=$	J_p	$=$
$\sigma(N)$	$=$	σ_{lls}	$=$		
$\sigma(M_x)$	$=$	σ_{lld}	$=$		



Calcolo degli sforzi in * con forze baricentriche essendo * il punto medio di DE

Rappresentare sul foglio, in scala: G, assi u, v , ellisse d'inerzia, C.T.

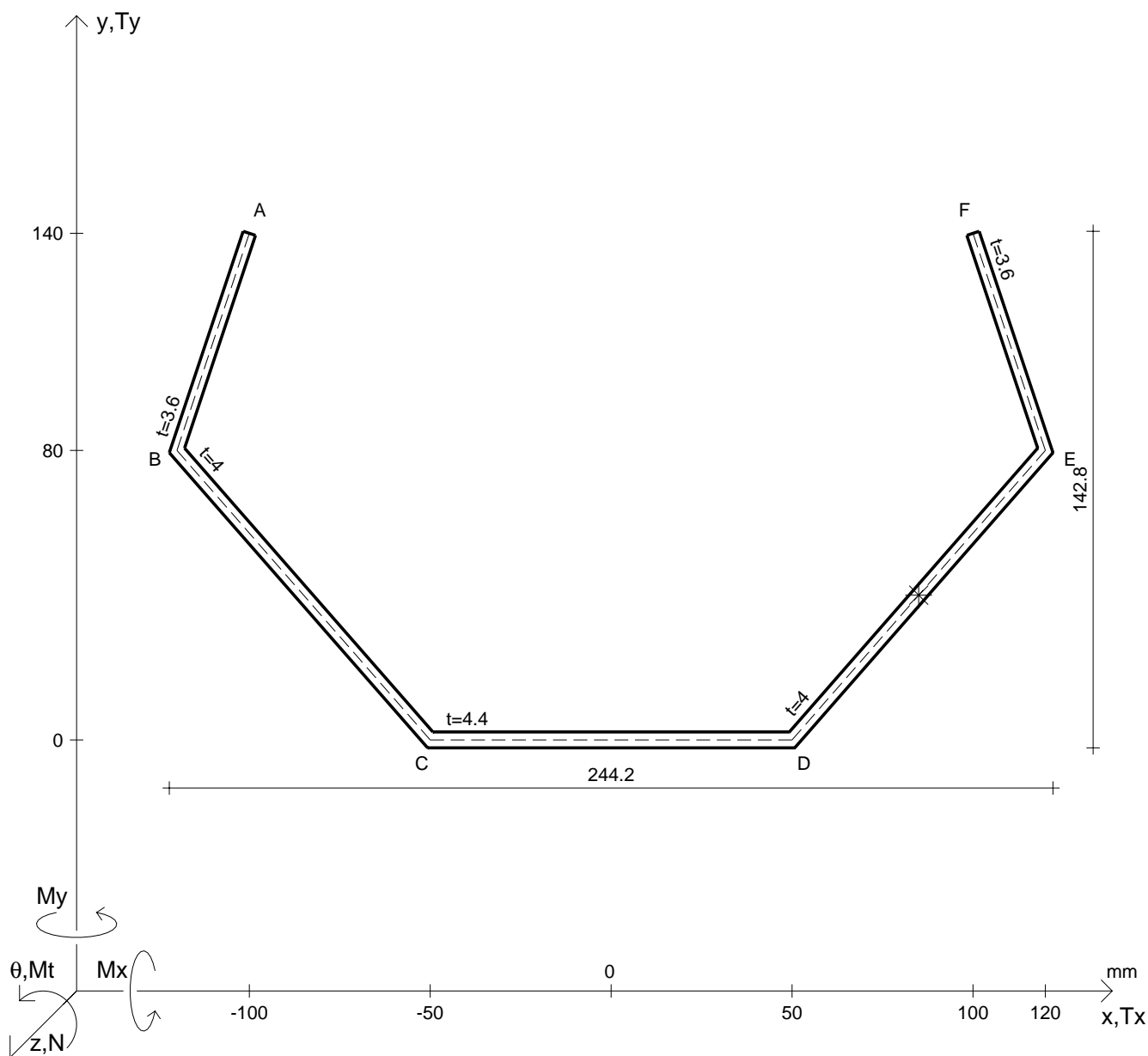
Rappresentare i cerchi di Mohr

Operare le conclusioni sulla verifica di resistenza in *

Facoltativo: rappresentare l'asse neutro e l'andamento delle tens. normali.

Facoltativo: rappresentare l'andamento delle tens. tangenziali.

N	$= 94500 \text{ N}$	M_t	$= 129000 \text{ Nmm}$	σ_a	$= 220 \text{ N/mm}^2$	G	$= 73000 \text{ N/mm}^2$
T_y	$= 60500 \text{ N}$	M_x	$= -3120000 \text{ Nmm}$	E	$= 200000 \text{ N/mm}^2$		
y_G	$=$	J_t	$=$	σ	$=$	σ_{mises}	$=$
u_o	$=$	$\sigma(N)$	$=$	τ_s	$=$	$\sigma_{st.ven}$	$=$
v_o	$=$	$\sigma(M_x)$	$=$	τ_d	$=$	θ_t	$=$
A^*	$=$	$\tau(M_t)_d$	$=$	σ_{ls}	$=$	r_u	$=$
S_u	$=$	$\tau(T_{yc})$	$=$	σ_{lls}	$=$	r_v	$=$
C_w	$=$	$\tau(T_{yb})_d$	$=$	σ_{ld}	$=$	r_o	$=$
J_u	$=$	$\tau(T_y)_s$	$=$	σ_{lld}	$=$	J_p	$=$
J_v	$=$	$\tau(T_y)_d$	$=$	σ_{tresca}	$=$		



Calcolo degli sforzi in * con forze baricentriche essendo * il punto medio di DE

Rappresentare sul foglio, in scala: G, assi u,v, ellisse d'inertia, C.T.

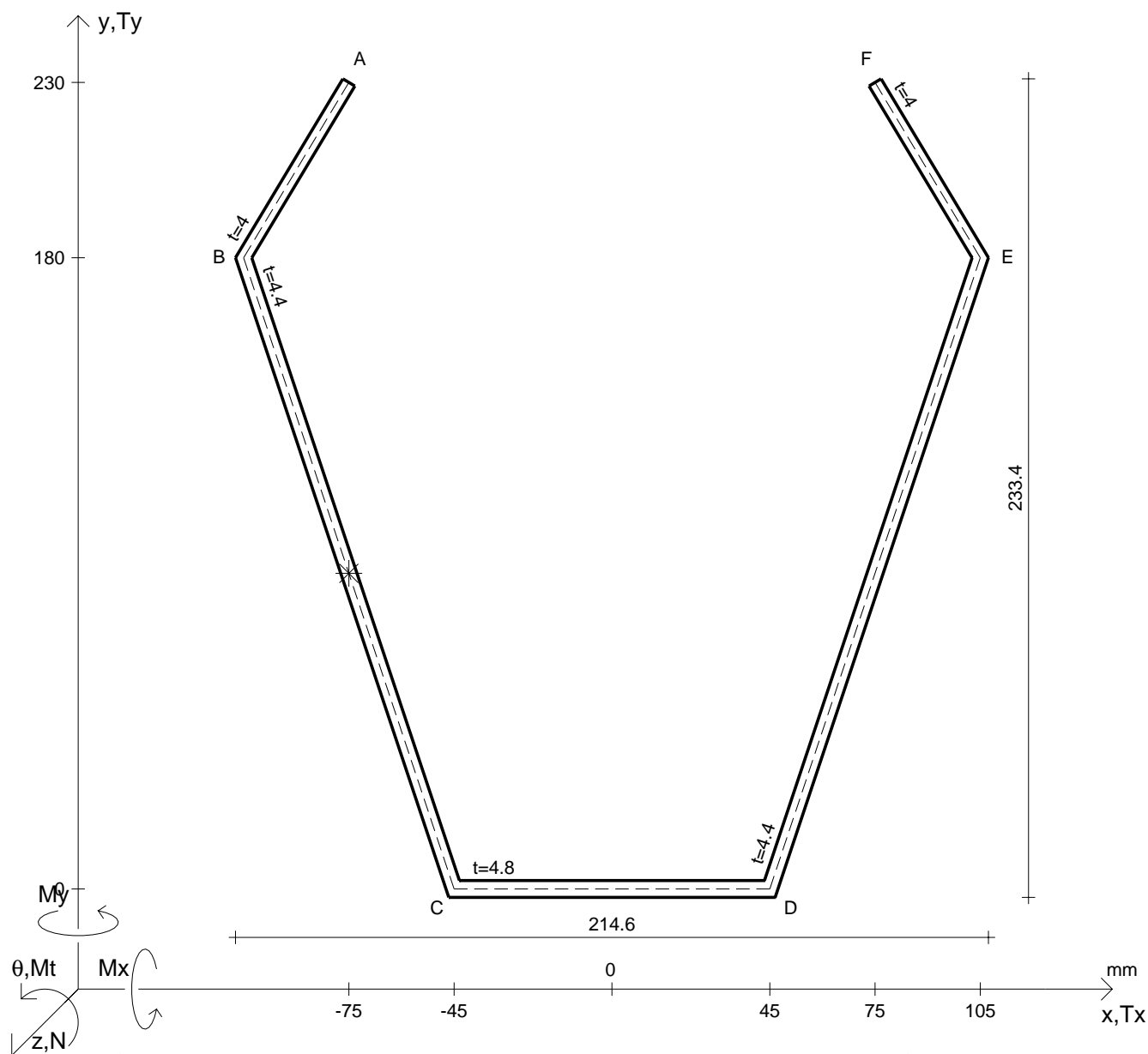
Rappresentare i cerchi di Mohr

Operare le conclusioni sulla verifica di resistenza in *

Facoltativo: rappresentare l'asse neutro e l'andamento delle tens. normali.

Facoltativo: rappresentare l'andamento delle tens. tangenziali.

N	$= 99600 \text{ N}$	M_x	$= -3090000 \text{ Nmm}$	G	$= 73000 \text{ N/mm}^2$
T_y	$= 41600 \text{ N}$	σ_a	$= 220 \text{ N/mm}^2$		
M_t	$= 140000 \text{ Nmm}$	E	$= 200000 \text{ N/mm}^2$		
y_G	$=$	$\tau(M_t)_d$	$=$	σ_{lld}	$=$
u_o	$=$	$\tau(T_{yc})$	$=$	σ_{tresca}	$=$
v_o	$=$	$\tau(T_{yb})_d$	$=$	σ_{mises}	$=$
A^*	$=$	$\tau(T_y)_s$	$=$	$\sigma_{st.ven}$	$=$
S_u	$=$	$\tau(T_y)_d$	$=$	θ_t	$=$
C_w	$=$	σ	$=$	r_u	$=$
J_u	$=$	τ_s	$=$	r_v	$=$
J_v	$=$	τ_d	$=$	r_o	$=$
J_t	$=$	σ_{ls}	$=$	J_p	$=$
$\sigma(N)$	$=$	σ_{lls}	$=$		
$\sigma(M_x)$	$=$	σ_{ld}	$=$		



Calcolo degli sforzi in * con forze baricentriche essendo * il punto medio di BC

Rappresentare sul foglio, in scala: G, assi u,v, ellisse d'inerzia, C.T.

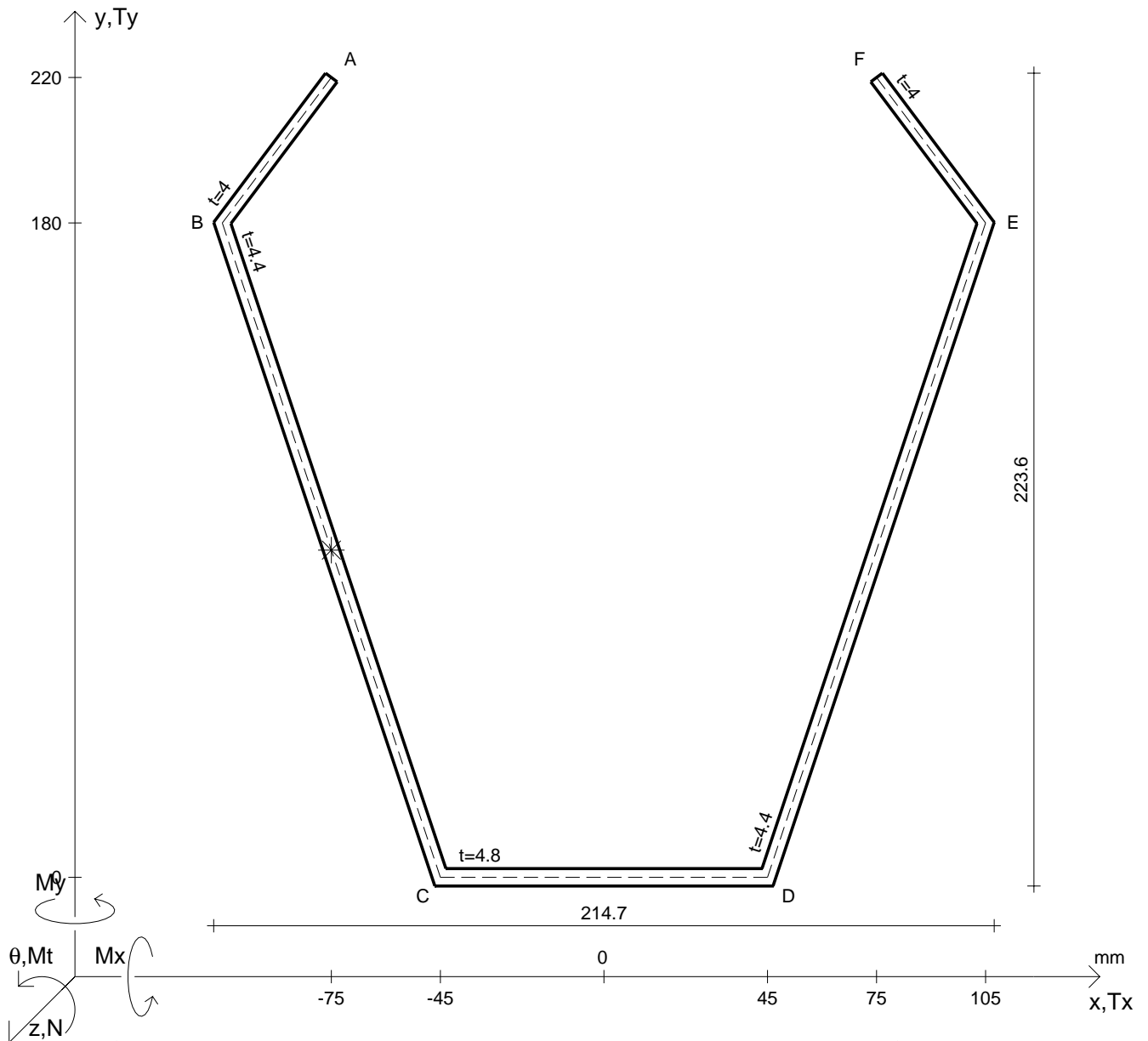
Rappresentare i cerchi di Mohr

Operare le conclusioni sulla verifica di resistenza in *

Facoltativo: rappresentare l'asse neutro e l'andamento delle tens. normali.

Facoltativo: rappresentare l'andamento delle tens. tangenziali.

N	= 108000 N	M _x	= -9650000 Nmm	G	= 73000 N/mm ²
T _y	= 84300 N	σ _a	= 220 N/mm ²		
M _t	= 252000 Nmm	E	= 200000 N/mm ²		
Y _G	=	τ(M _t) _d	=	σ _{lld}	=
u _o	=	τ(T _{yc})	=	σ _{tresca}	=
v _o	=	τ(T _{yb}) _d	=	σ _{mises}	=
A _*	=	τ(T _y) _s	=	σ _{st.ven}	=
S _u	=	τ(T _y) _d	=	θ _t	=
C _w	=	σ	=	r _u	=
J _u	=	τ _s	=	r _v	=
J _v	=	τ _d	=	r _o	=
J _t	=	σ _{ls}	=	J _p	=
σ(N)	=	σ _{lls}	=		
σ(M _x)	=	σ _{ld}	=		



Calcolo degli sforzi in * con forze baricentriche essendo * il punto medio di BC

Rappresentare sul foglio, in scala: G, assi u,v, ellisse d'inertia, C.T.

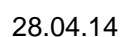
Rappresentare i cerchi di Mohr

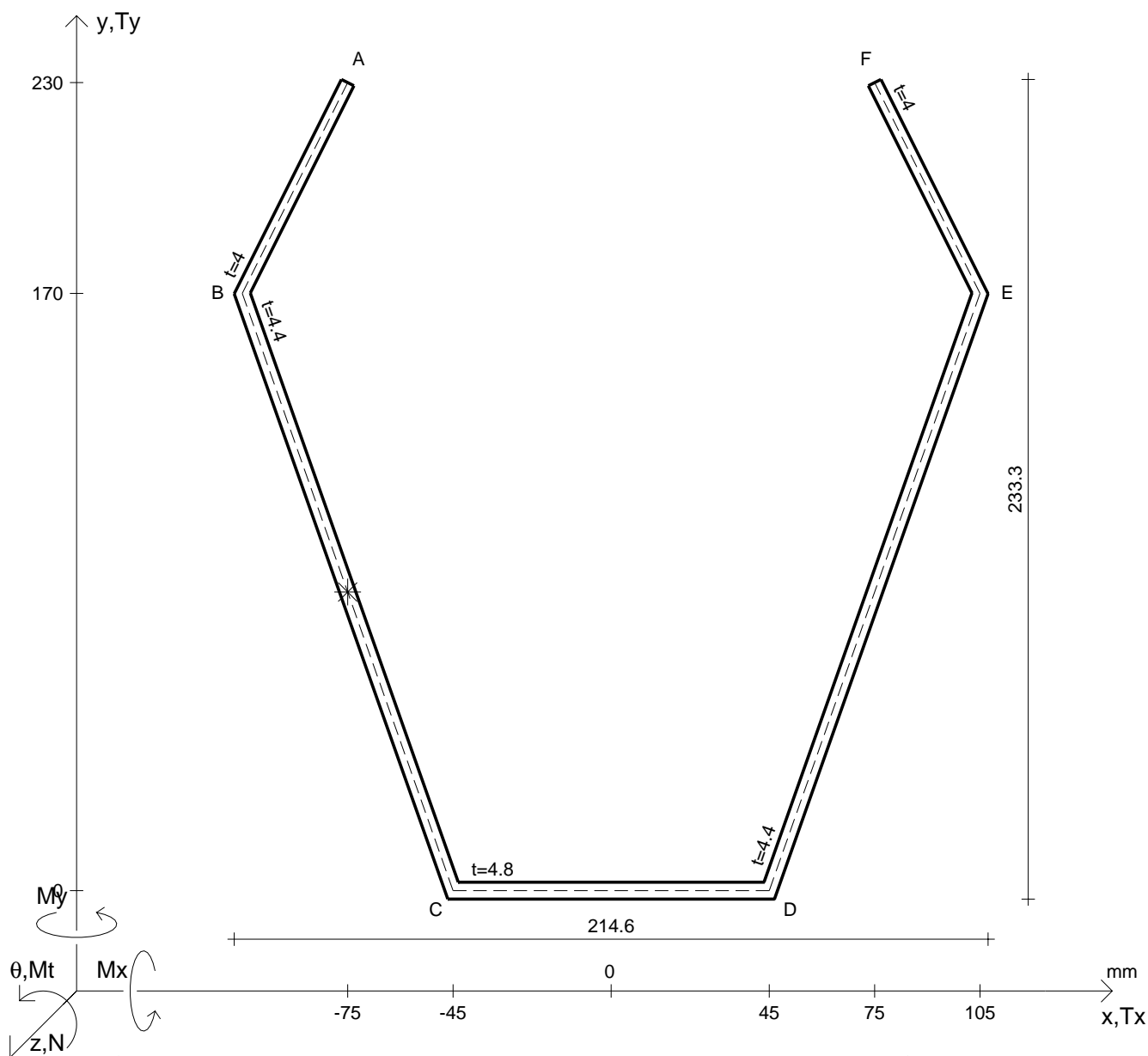
Operare le conclusioni sulla verifica di resistenza in *

Facoltativo: rappresentare l'asse neutro e l'andamento delle tens. normali.

Facoltativo: rappresentare l'andamento delle tens. tangenziali.

N	= 118000 N	M_x	= -6810000 Nmm	G	= 73000 N/mm ²
T_y	= 89900 N	σ_a	= 220 N/mm ²	σ_{lld}	=
M_t	= 270000 Nmm	E	= 200000 N/mm ²	σ_{tresca}	=
y_G	=	$\tau(M_t)_d$	=	σ_{mises}	=
u_o	=	$\tau(T_{yc})$	=	$\sigma_{st.ven}$	=
v_o	=	$\tau(T_{yb})_d$	=	θ_t	=
A^*	=	$\tau(T_y)_s$	=	r_u	=
S_u	=	$\tau(T_y)_d$	=	r_v	=
C_w	=	σ	=	r_o	=
J_u	=	τ_s	=	J_p	=
J_v	=	τ_d	=		
J_t	=	σ_{ls}	=		
$\sigma(N)$	=	σ_{lls}	=		
$\sigma(M_x)$	=	σ_{ld}	=		





Calcolo degli sforzi in * con forze baricentriche essendo * il punto medio di BC

Rappresentare sul foglio, in scala: G, assi u,v, ellisse d'inertia, C.T.

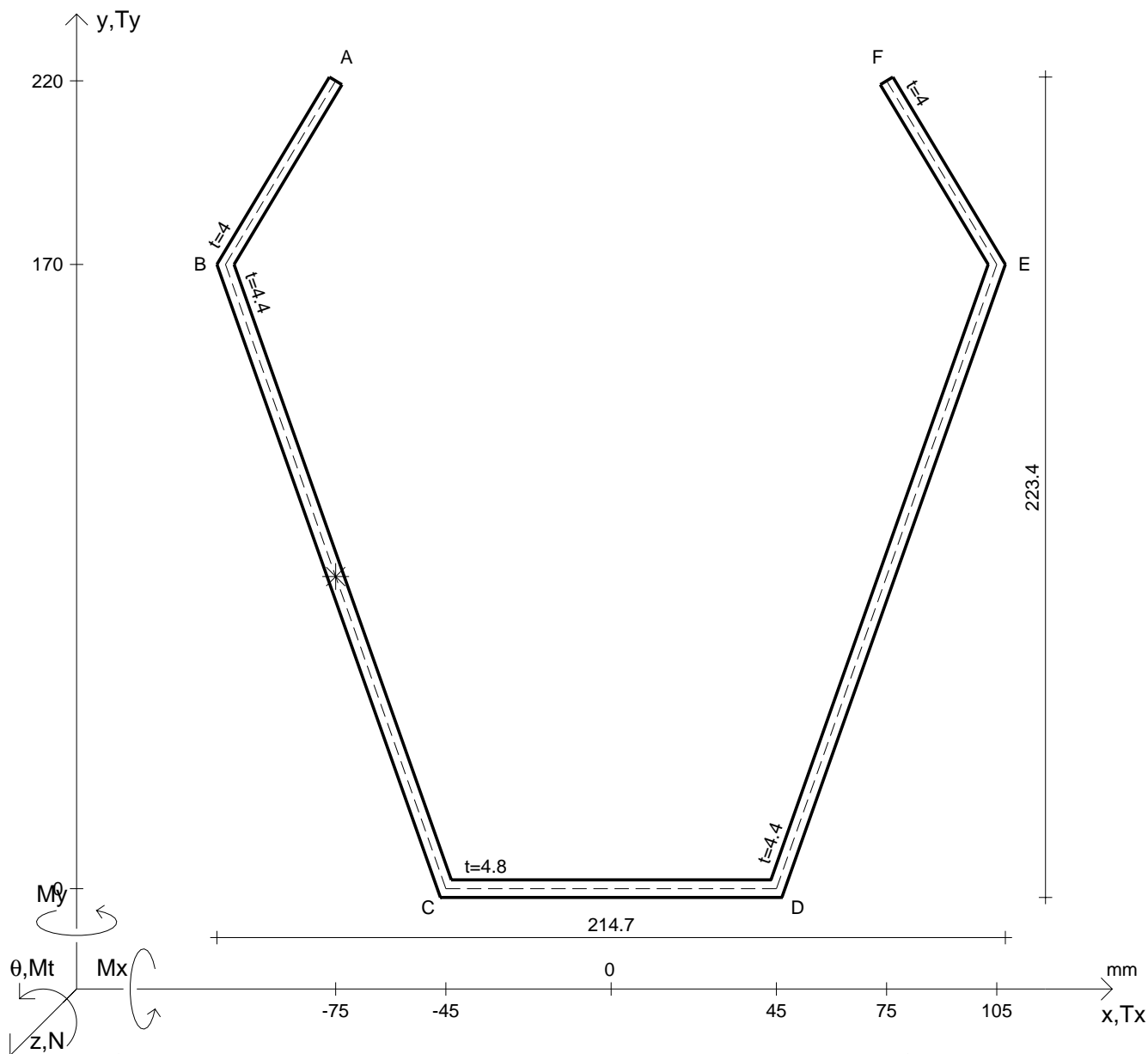
Rappresentare i cerchi di Mohr

Operare le conclusioni sulla verifica di resistenza in *

Facoltativo: rappresentare l'asse neutro e l'andamento delle tens. normali.

Facoltativo: rappresentare l'andamento delle tens. tangenziali.

N	= 145000 N	M_x	= -8580000 Nmm	G	= 73000 N/mm ²
T_y	= 75200 N	σ_a	= 220 N/mm ²		
M_t	= 225000 Nmm	E	= 200000 N/mm ²		
y_G	=	$\tau(M_t)_d$	=	σ_{lld}	=
u_o	=	$\tau(T_{yc})$	=	σ_{tresca}	=
v_o	=	$\tau(T_{yb})_d$	=	σ_{mises}	=
A^*	=	$\tau(T_y)_s$	=	$\sigma_{st.ven}$	=
S_u	=	$\tau(T_y)_d$	=	θ_t	=
C_w	=	σ	=	r_u	=
J_u	=	τ_s	=	r_v	=
J_v	=	τ_d	=	r_o	=
J_t	=	σ_{ls}	=	J_p	=
$\sigma(N)$	=	σ_{lls}	=		
$\sigma(M_x)$	=	σ_{ld}	=		



Calcolo degli sforzi in * con forze baricentriche essendo * il punto medio di BC

Rappresentare sul foglio, in scala: G, assi u,v, ellisse d'inertia, C.T.

Rappresentare i cerchi di Mohr

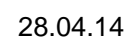
Operare le conclusioni sulla verifica di resistenza in *

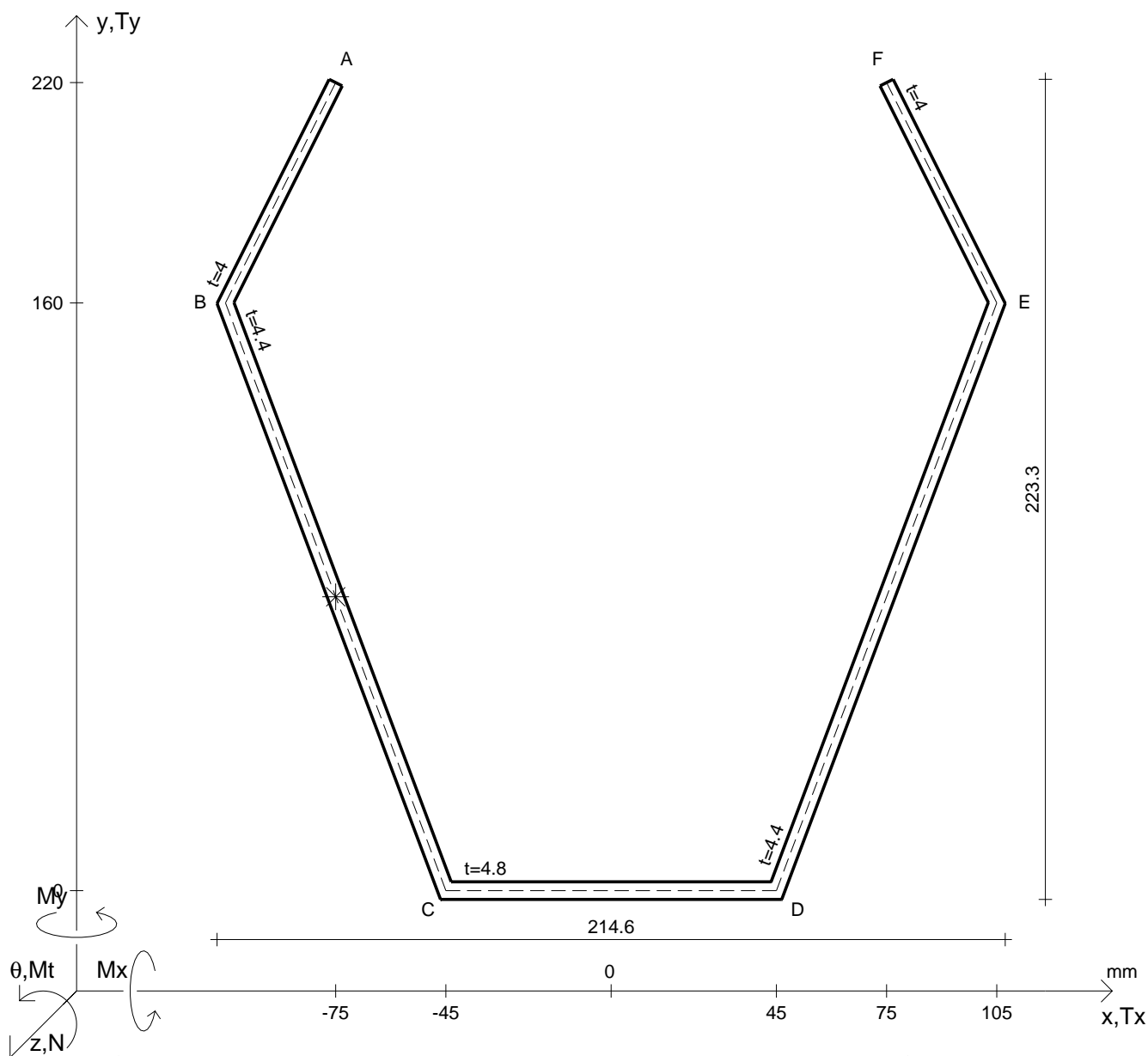
Facoltativo: rappresentare l'asse neutro e l'andamento delle tens. normali.

Facoltativo: rappresentare l'andamento delle tens. tangenziali.

N	$= 104000 \text{ N}$	M_x	$= -8900000 \text{ Nmm}$	G	$= 73000 \text{ N/mm}^2$
T_y	$= 80700 \text{ N}$	σ_a	$= 220 \text{ N/mm}^2$	σ_{lld}	$=$
M_t	$= 243000 \text{ Nmm}$	E	$= 200000 \text{ N/mm}^2$	σ_{tresca}	$=$
y_G	$=$	$\tau(M_t)_d$	$=$	σ_{mises}	$=$
u_o	$=$	$\tau(T_{yc})$	$=$	$\sigma_{st.ven}$	$=$
v_o	$=$	$\tau(T_{yb})_d$	$=$	θ_t	$=$
A^*	$=$	$\tau(T_y)_s$	$=$	r_u	$=$
S_u	$=$	$\tau(T_y)_d$	$=$	r_v	$=$
C_w	$=$	σ	$=$	r_o	$=$
J_u	$=$	τ_s	$=$	J_p	$=$
J_v	$=$	τ_d	$=$		
J_t	$=$	σ_{ls}	$=$		
$\sigma(N)$	$=$	σ_{lls}	$=$		
$\sigma(M_x)$	$=$	σ_{ld}	$=$		







Calcolo degli sforzi in * con forze baricentriche essendo * il punto medio di BC

Rappresentare sul foglio, in scala: G, assi u,v, ellisse d'inertia, C.T.

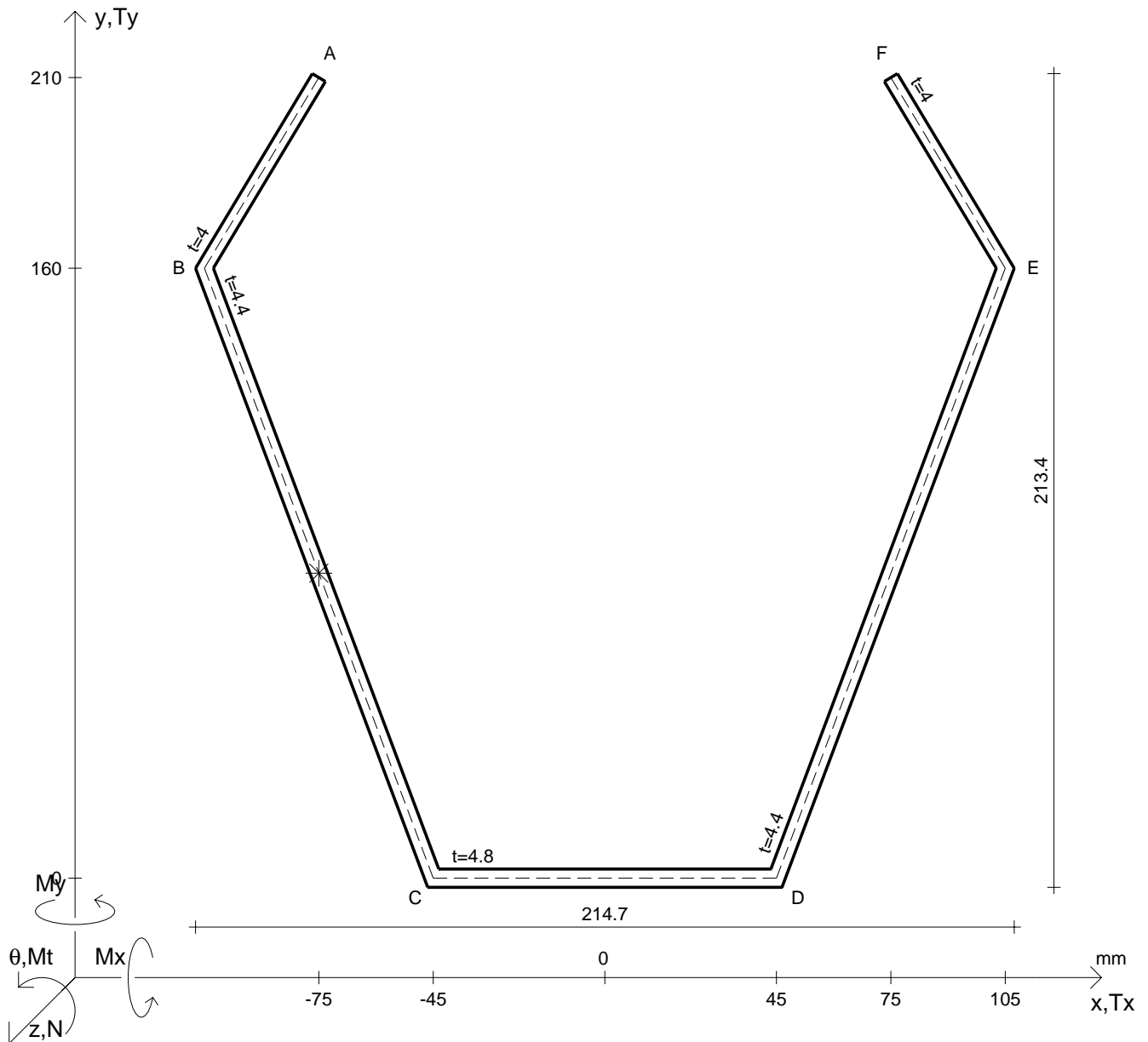
Rappresentare i cerchi di Mohr

Operare le conclusioni sulla verifica di resistenza in *

Facoltativo: rappresentare l'asse neutro e l'andamento delle tens. normali.

Facoltativo: rappresentare l'andamento delle tens. tangenziali.

N	$= 140000 \text{ N}$	M_x	$= -7910000 \text{ Nmm}$	G	$= 73000 \text{ N/mm}^2$
T_y	$= 72000 \text{ N}$	σ_a	$= 220 \text{ N/mm}^2$		
M_t	$= 217000 \text{ Nmm}$	E	$= 200000 \text{ N/mm}^2$		
y_G	$=$	$\tau(M_t)_d$	$=$	σ_{lld}	$=$
u_o	$=$	$\tau(T_{yc})$	$=$	σ_{tresca}	$=$
v_o	$=$	$\tau(T_{yb})_d$	$=$	σ_{mises}	$=$
A^*	$=$	$\tau(T_y)_s$	$=$	$\sigma_{st.ven}$	$=$
S_u	$=$	$\tau(T_y)_d$	$=$	θ_t	$=$
C_w	$=$	σ	$=$	r_u	$=$
J_u	$=$	τ_s	$=$	r_v	$=$
J_v	$=$	τ_d	$=$	r_o	$=$
J_t	$=$	σ_{ls}	$=$	J_p	$=$
$\sigma(N)$	$=$	σ_{lls}	$=$		
$\sigma(M_x)$	$=$	σ_{ld}	$=$		



Calcolo degli sforzi in * con forze baricentriche essendo * il punto medio di BC

Rappresentare sul foglio, in scala: G, assi u,v, ellisse d'inertia, C.T.

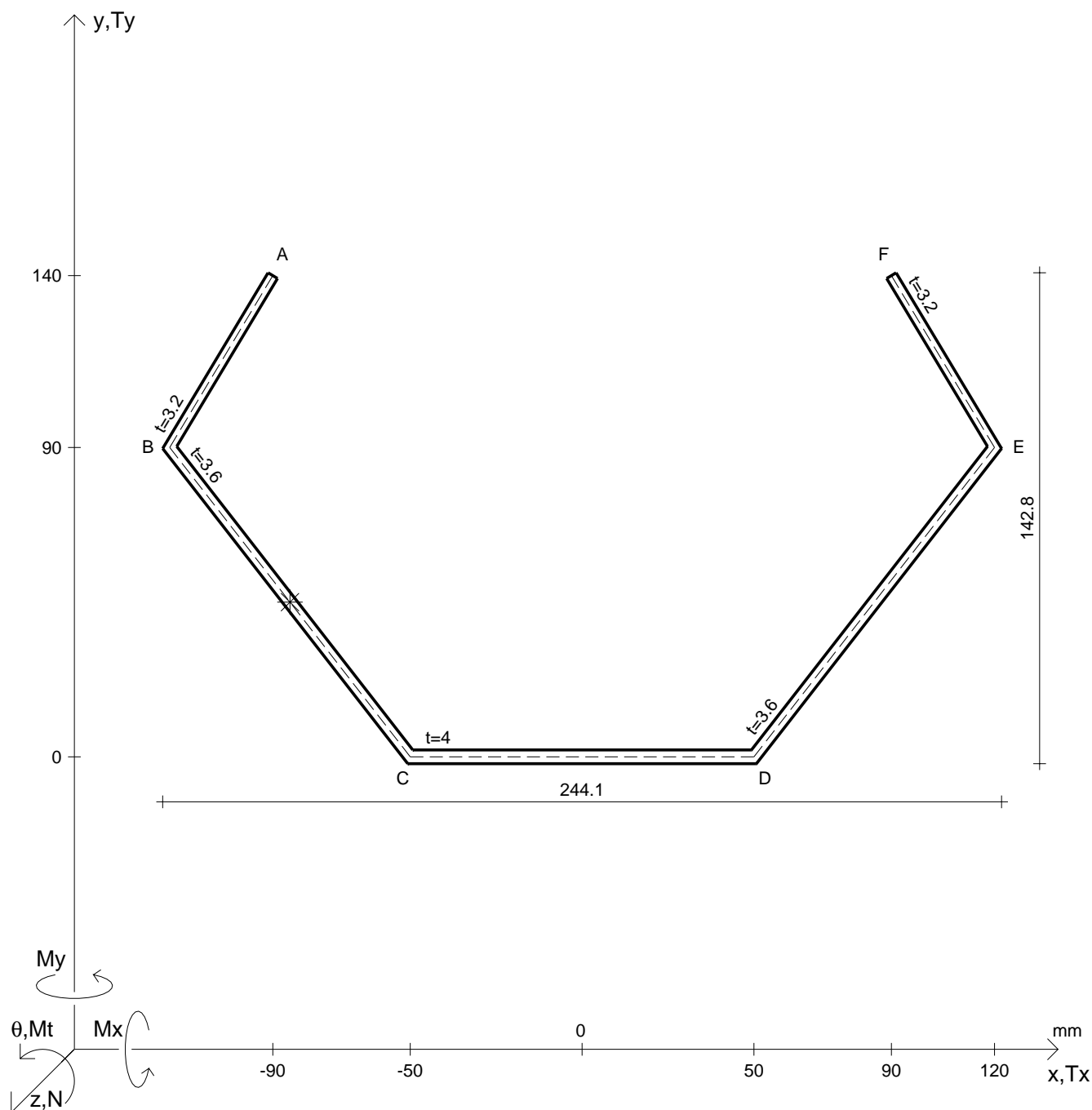
Rappresentare i cerchi di Mohr

Operare le conclusioni sulla verifica di resistenza in *

Facoltativo: rappresentare l'asse neutro e l'andamento delle tens. normali.

Facoltativo: rappresentare l'andamento delle tens. tangenziali.

N	= 101000 N	M_x	= -8190000 Nmm	G	= 73000 N/mm ²
T_y	= 77100 N	σ_a	= 220 N/mm ²		
M_t	= 235000 Nmm	E	= 200000 N/mm ²		
y_G	=	$\tau(M_t)_d$	=	σ_{lld}	=
u_o	=	$\tau(T_{yc})$	=	σ_{tresca}	=
v_o	=	$\tau(T_{yb})_d$	=	σ_{mises}	=
A^*	=	$\tau(T_y)_s$	=	$\sigma_{st.ven}$	=
S_u	=	$\tau(T_y)_d$	=	θ_t	=
C_w	=	σ	=	r_u	=
J_u	=	τ_s	=	r_v	=
J_v	=	τ_d	=	r_o	=
J_t	=	σ_{ls}	=	J_p	=
$\sigma(N)$	=	σ_{lls}	=		
$\sigma(M_x)$	=	σ_{ld}	=		



Calcolo degli sforzi in * con forze baricentriche essendo * il punto medio di BC

Rappresentare sul foglio, in scala: G, assi u,v, ellisse d'inerzia, C.T.

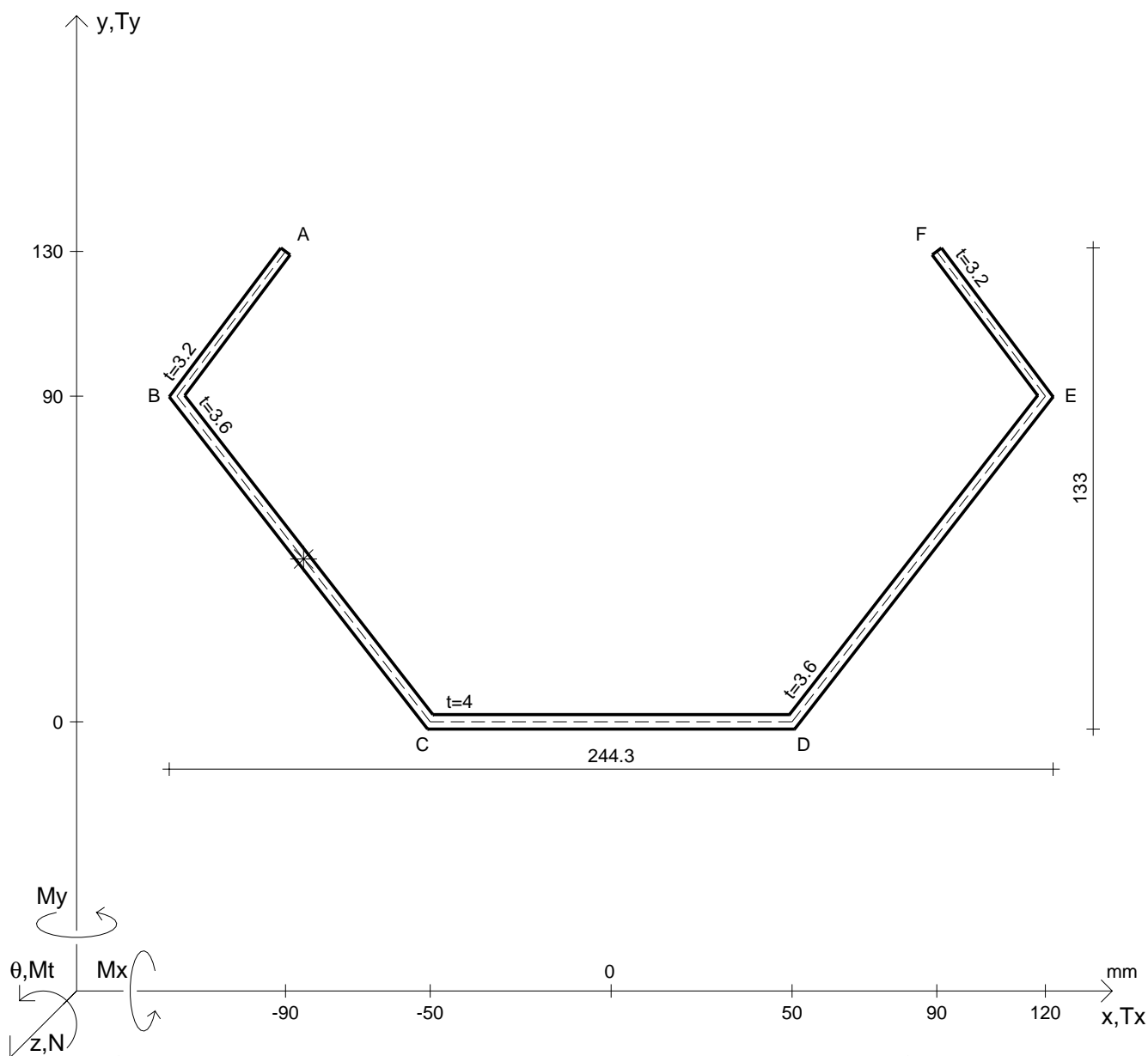
Rappresentare i cerchi di Mohr

Operare le conclusioni sulla verifica di resistenza in *

Facoltativo: rappresentare l'asse neutro e l'andamento delle tens. normali.

Facoltativo: rappresentare l'andamento delle tens. tangenziali.

N	= 75700 N	M _t	= 139000 Nmm	σ _a	= 220 N/mm ²	G	= 73000 N/mm ²
T _y	= 46700 N	M _x	= -2440000 Nmm	E	= 200000 N/mm ²	σ _{mises}	=
y _G	=	J _t	=	σ	=	σ _{st.ven}	=
u _o	=	σ(N)	=	τ _s	=	θ _t	=
v _o	=	σ(M _x)	=	τ _d	=	r _u	=
A*	=	τ(M _t) _d	=	σ _{ls}	=	r _v	=
S _u	=	τ(T _{yc})	=	σ _{lls}	=	r _o	=
C _w	=	τ(T _{yb}) _d	=	σ _{ld}	=	J _p	=
J _u	=	τ(T _y) _s	=	σ _{lld}	=		
J _v	=	τ(T _y) _d	=	σ _{tresca}	=		



Calcolo degli sforzi in * con forze baricentriche essendo * il punto medio di BC

Rappresentare sul foglio, in scala: G, assi u,v, ellisse d'inertia, C.T.

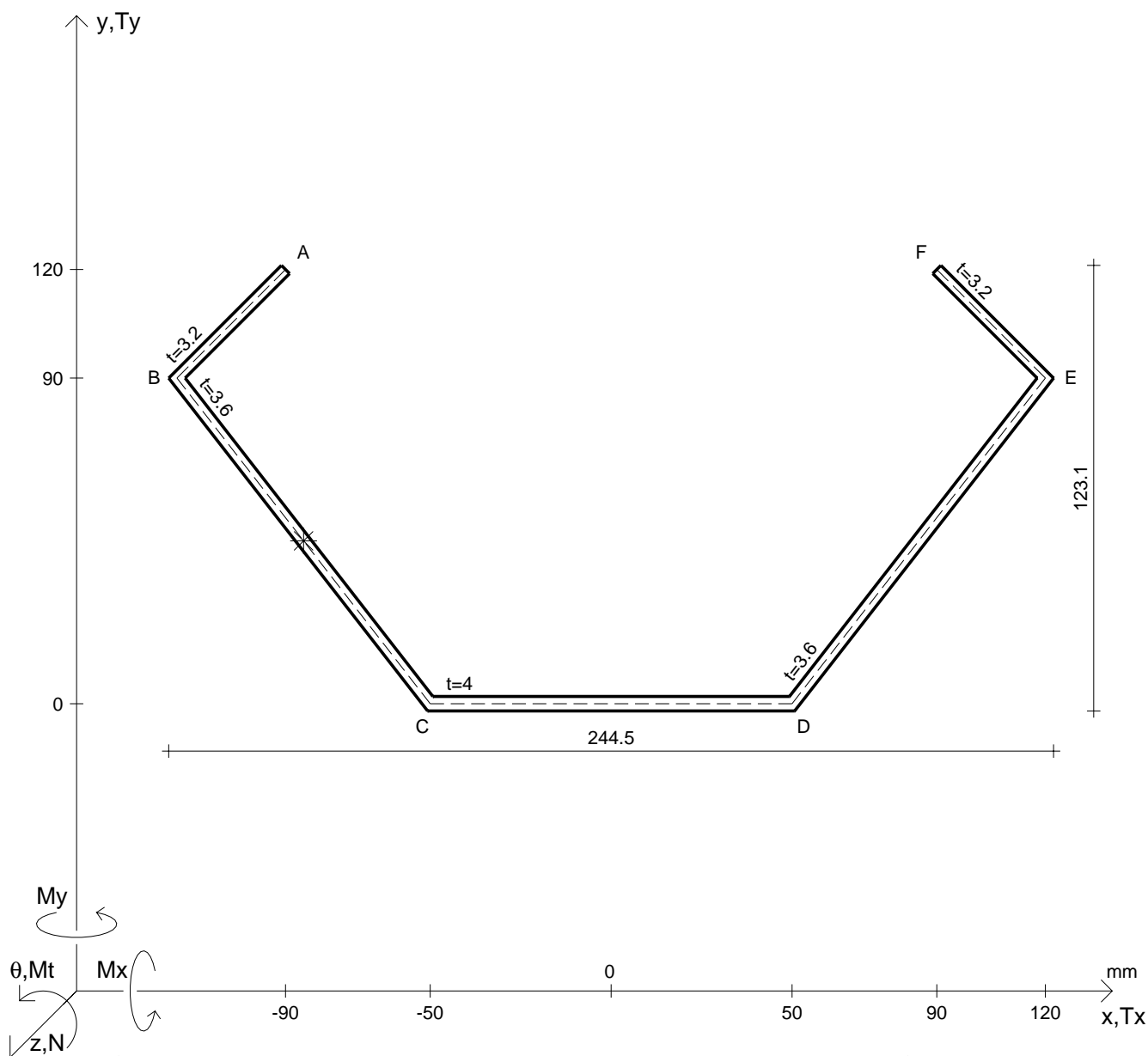
Rappresentare i cerchi di Mohr

Operare le conclusioni sulla verifica di resistenza in *

Facoltativo: rappresentare l'asse neutro e l'andamento delle tens. normali.

Facoltativo: rappresentare l'andamento delle tens. tangenziali.

N	$= 81100 \text{ N}$	M_x	$= -2520000 \text{ Nmm}$	G	$= 73000 \text{ N/mm}^2$
T_y	$= 47800 \text{ N}$	σ_a	$= 220 \text{ N/mm}^2$	σ_{lld}	$=$
M_t	$= 101000 \text{ Nmm}$	E	$= 200000 \text{ N/mm}^2$	σ_{tresca}	$=$
y_G	$=$	$\tau(M_t)_d$	$=$	σ_{mises}	$=$
u_o	$=$	$\tau(T_{yc})$	$=$	$\sigma_{st.ven}$	$=$
v_o	$=$	$\tau(T_{yb})_d$	$=$	θ_t	$=$
A^*	$=$	$\tau(T_y)_s$	$=$	r_u	$=$
S_u^*	$=$	$\tau(T_y)_d$	$=$	r_v	$=$
C_w	$=$	σ	$=$	r_o	$=$
J_u	$=$	τ_s	$=$	J_p	$=$
J_v	$=$	τ_d	$=$		
J_t	$=$	σ_{ls}	$=$		
$\sigma(N)$	$=$	σ_{lls}	$=$		
$\sigma(M_x)$	$=$	σ_{ld}	$=$		



Calcolo degli sforzi in * con forze baricentriche essendo * il punto medio di BC

Rappresentare sul foglio, in scala: G, assi u,v, ellisse d'inertia, C.T.

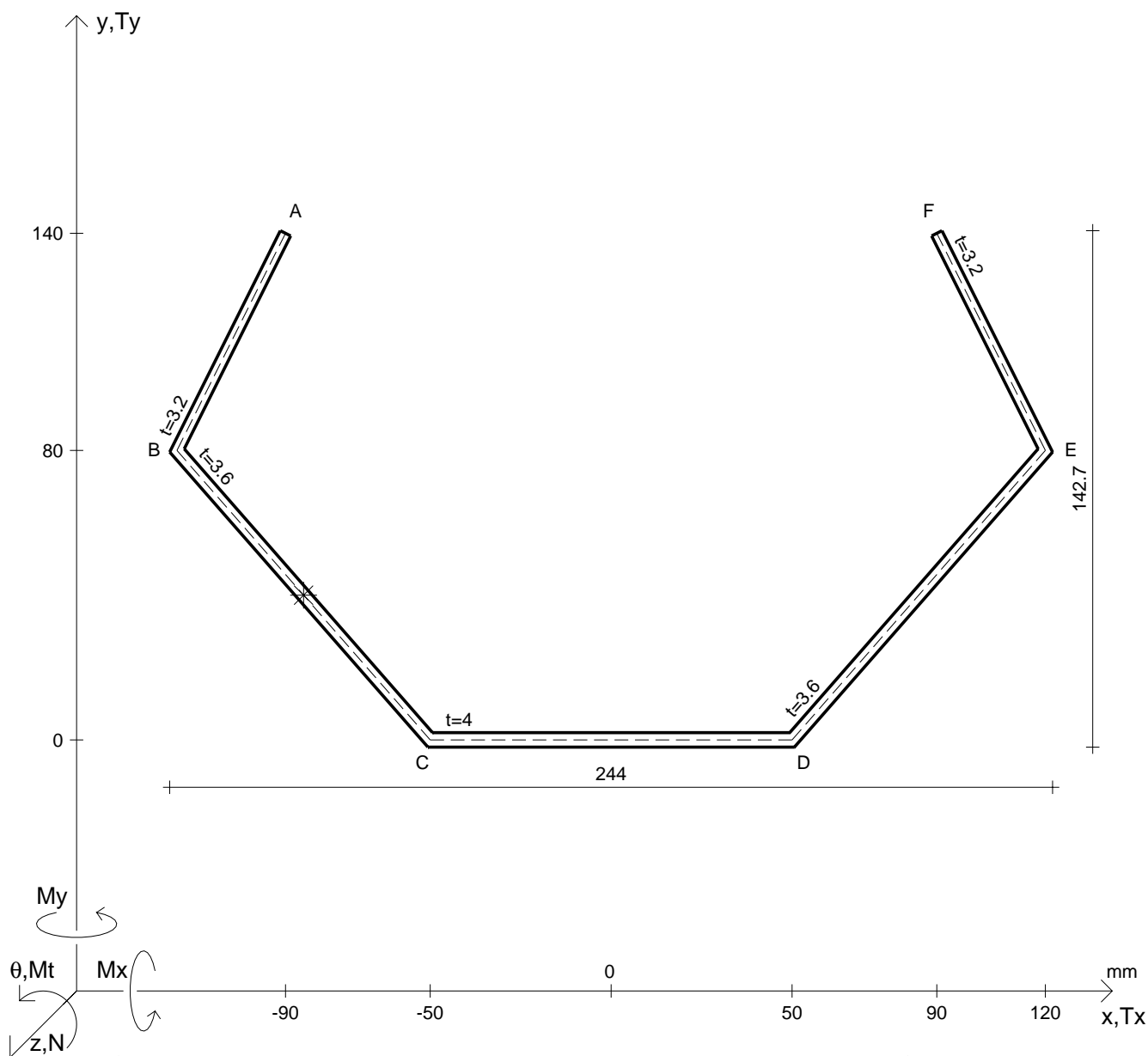
Rappresentare i cerchi di Mohr

Operare le conclusioni sulla verifica di resistenza in *

Facoltativo: rappresentare l'asse neutro e l'andamento delle tens. normali.

Facoltativo: rappresentare l'andamento delle tens. tangenziali.

N	$= 86100 \text{ N}$	M_x	$= 2610000 \text{ Nmm}$	G	$= 73000 \text{ N/mm}^2$
T_y	$= 33000 \text{ N}$	σ_a	$= 220 \text{ N/mm}^2$	σ_{lld}	$=$
M_t	$= 110000 \text{ Nmm}$	E	$= 200000 \text{ N/mm}^2$	σ_{tresca}	$=$
y_G	$=$	$\tau(M_t)_d$	$=$	σ_{mises}	$=$
u_o	$=$	$\tau(T_{yc})$	$=$	$\sigma_{st.ven}$	$=$
v_o	$=$	$\tau(T_{yb})_d$	$=$	θ_t	$=$
A^*	$=$	$\tau(T_y)_s$	$=$	r_u	$=$
S_u^*	$=$	$\tau(T_y)_d$	$=$	r_v	$=$
C_w	$=$	σ	$=$	r_o	$=$
J_u	$=$	τ_s	$=$	J_p	$=$
J_v	$=$	τ_d	$=$		
J_t	$=$	σ_{ls}	$=$		
$\sigma(N)$	$=$	σ_{lls}	$=$		
$\sigma(M_x)$	$=$	σ_{ld}	$=$		



Calcolo degli sforzi in * con forze baricentriche essendo * il punto medio di BC

Rappresentare sul foglio, in scala: G, assi u,v, ellisse d'inerzia, C.T.

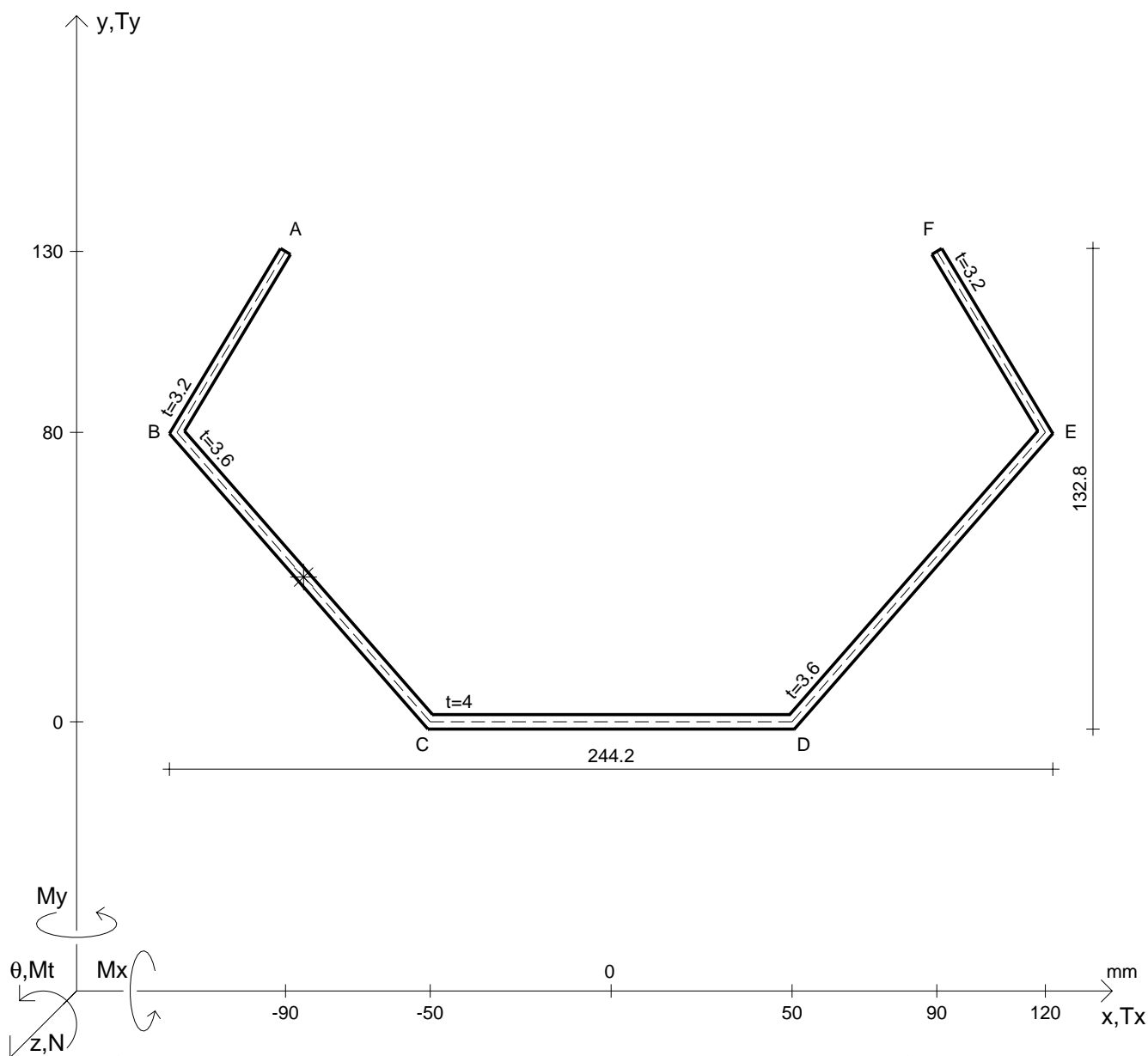
Rappresentare i cerchi di Mohr

Operare le conclusioni sulla verifica di resistenza in *

Facoltativo: rappresentare l'asse neutro e l'andamento delle tens. normali.

Facoltativo: rappresentare l'andamento delle tens. tangenziali.

N	$= 67500 \text{ N}$	M_x	$= -3170000 \text{ Nmm}$	G	$= 73000 \text{ N/mm}^2$
T_y	$= 42200 \text{ N}$	σ_a	$= 220 \text{ N/mm}^2$	σ_{lld}	$=$
M_t	$= 126000 \text{ Nmm}$	E	$= 200000 \text{ N/mm}^2$	σ_{tresca}	$=$
y_G	$=$	$\tau(M_t)_d$	$=$	σ_{mises}	$=$
u_o	$=$	$\tau(T_{yc})$	$=$	$\sigma_{st.ven}$	$=$
v_o	$=$	$\tau(T_{yb})_d$	$=$	θ_t	$=$
A^*	$=$	$\tau(T_y)_s$	$=$	r_u	$=$
S_u	$=$	$\tau(T_y)_d$	$=$	r_v	$=$
C_w	$=$	σ	$=$	r_o	$=$
J_u	$=$	τ_s	$=$	J_p	$=$
J_v	$=$	τ_d	$=$		
J_t	$=$	σ_{ls}	$=$		
$\sigma(N)$	$=$	σ_{lls}	$=$		
$\sigma(M_x)$	$=$	σ_{ld}	$=$		



Calcolo degli sforzi in * con forze baricentriche essendo * il punto medio di BC

Rappresentare sul foglio, in scala: G, assi u,v, ellisse d'inertia, C.T.

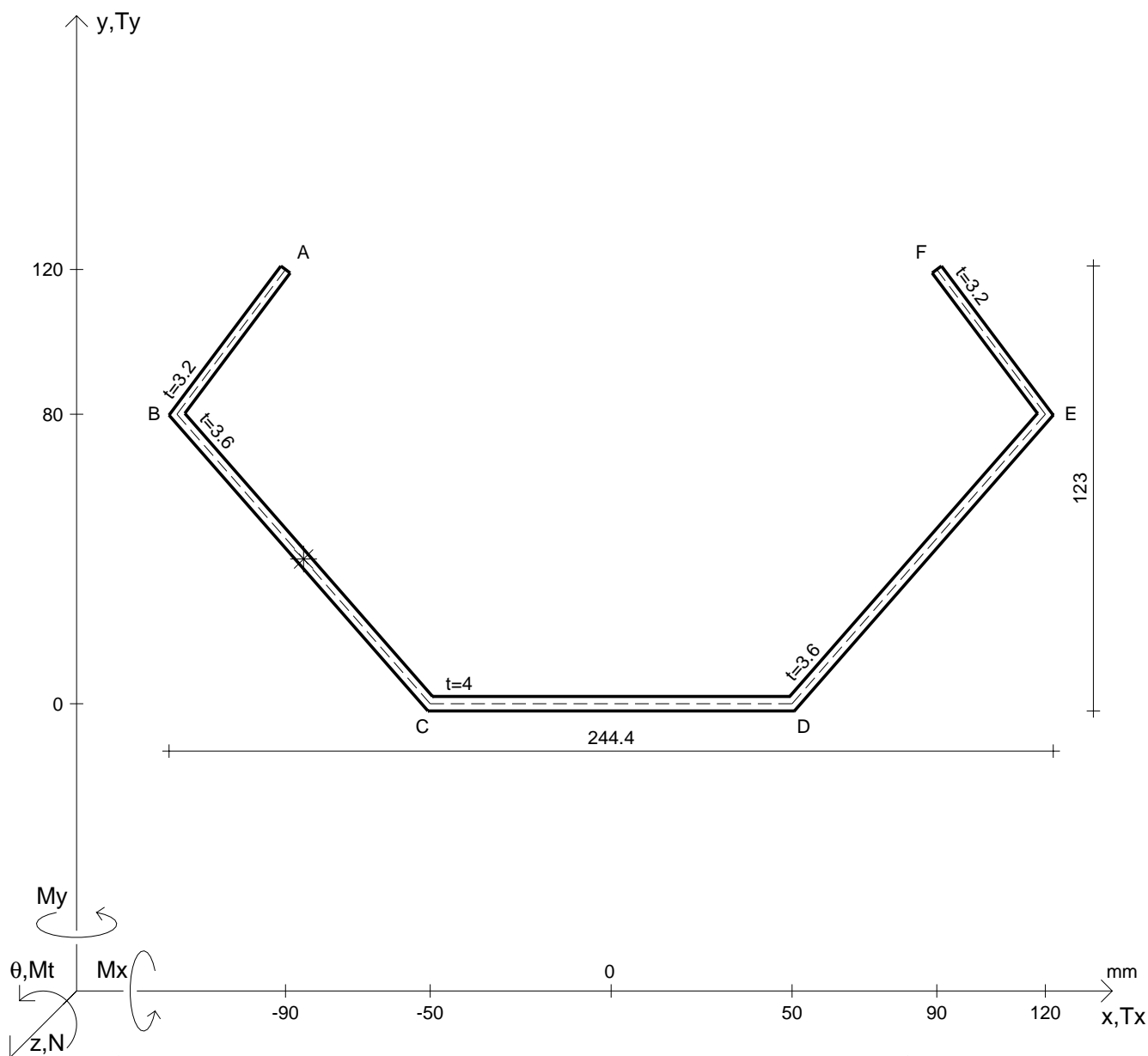
Rappresentare i cerchi di Mohr

Operare le conclusioni sulla verifica di resistenza in *

Facoltativo: rappresentare l'asse neutro e l'andamento delle tens. normali.

Facoltativo: rappresentare l'andamento delle tens. tangenziali.

N	$= 73000 \text{ N}$	M_x	$= -2130000 \text{ Nmm}$	G	$= 73000 \text{ N/mm}^2$
T_y	$= 43200 \text{ N}$	σ_a	$= 220 \text{ N/mm}^2$		
M_t	$= 135000 \text{ Nmm}$	E	$= 200000 \text{ N/mm}^2$		
y_G	$=$	$\tau(M_t)_d$	$=$	σ_{lld}	$=$
u_o	$=$	$\tau(T_{yc})$	$=$	σ_{tresca}	$=$
v_o	$=$	$\tau(T_{yb})_d$	$=$	σ_{mises}	$=$
A^*	$=$	$\tau(T_y)_s$	$=$	$\sigma_{st.ven}$	$=$
S_u^*	$=$	$\tau(T_y)_d$	$=$	θ_t	$=$
C_w	$=$	σ	$=$	r_u	$=$
J_u	$=$	τ_s	$=$	r_v	$=$
J_v	$=$	τ_d	$=$	r_o	$=$
J_t	$=$	σ_{ls}	$=$	J_p	$=$
$\sigma(N)$	$=$	σ_{lls}	$=$		
$\sigma(M_x)$	$=$	σ_{ld}	$=$		



Calcolo degli sforzi in * con forze baricentriche essendo * il punto medio di BC

Rappresentare sul foglio, in scala: G, assi u,v, ellisse d'inertia, C.T.

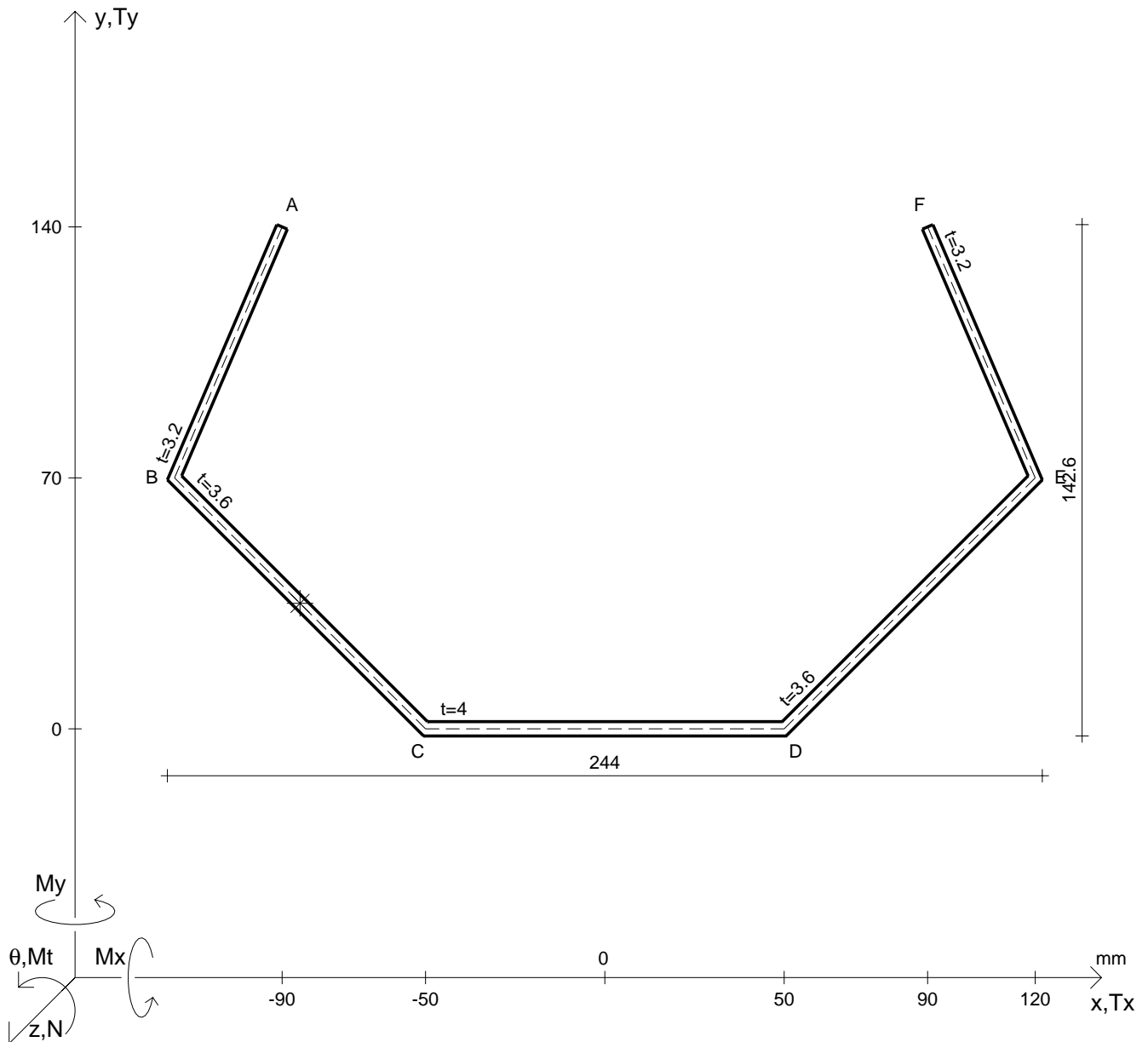
Rappresentare i cerchi di Mohr

Operare le conclusioni sulla verifica di resistenza in *

Facoltativo: rappresentare l'asse neutro e l'andamento delle tens. normali.

Facoltativo: rappresentare l'andamento delle tens. tangenziali.

N	$= 78200 \text{ N}$	M_x	$= -2180000 \text{ Nmm}$	G	$= 73000 \text{ N/mm}^2$
T_y	$= 43900 \text{ N}$	σ_a	$= 220 \text{ N/mm}^2$	σ_{lld}	$=$
M_t	$= 97400 \text{ Nmm}$	E	$= 200000 \text{ N/mm}^2$	σ_{tresca}	$=$
y_G	$=$	$\tau(M_t)_d$	$=$	σ_{mises}	$=$
u_o	$=$	$\tau(T_{yc})$	$=$	$\sigma_{st.ven}$	$=$
v_o	$=$	$\tau(T_{yb})_d$	$=$	θ_t	$=$
A^*	$=$	$\tau(T_y)_s$	$=$	r_u	$=$
S_u^*	$=$	$\tau(T_y)_d$	$=$	r_v	$=$
C_w	$=$	σ	$=$	r_o	$=$
J_u	$=$	τ_s	$=$	J_p	$=$
J_v	$=$	τ_d	$=$		
J_t	$=$	σ_{ls}	$=$		
$\sigma(N)$	$=$	σ_{lls}	$=$		
$\sigma(M_x)$	$=$	σ_{ld}	$=$		



Calcolo degli sforzi in * con forze baricentriche essendo * il punto medio di BC

Rappresentare sul foglio, in scala: G, assi u,v, ellisse d'inerzia, C.T.

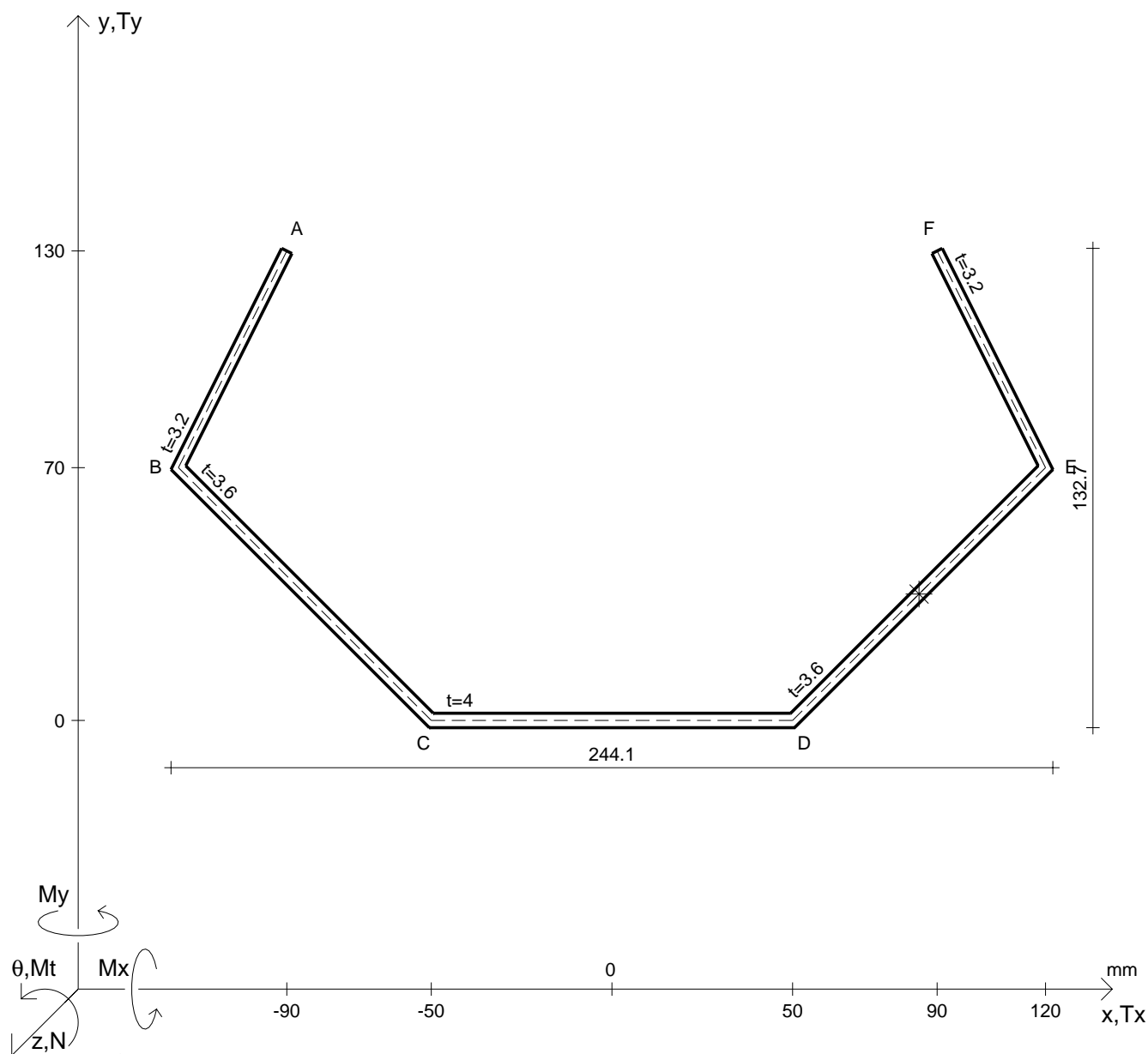
Rappresentare i cerchi di Mohr

Operare le conclusioni sulla verifica di resistenza in *

Facoltativo: rappresentare l'asse neutro e l'andamento delle tens. normali.

Facoltativo: rappresentare l'andamento delle tens. tangenziali.

N	$= 93600 \text{ N}$	M_x	$= -2880000 \text{ Nmm}$	G	$= 73000 \text{ N/mm}^2$
T_y	$= 36900 \text{ N}$	σ_a	$= 220 \text{ N/mm}^2$	σ_{lld}	$=$
M_t	$= 116000 \text{ Nmm}$	E	$= 200000 \text{ N/mm}^2$	σ_{tresca}	$=$
y_G	$=$	$\tau(M_t)_d$	$=$	σ_{mises}	$=$
u_o	$=$	$\tau(T_{yc})$	$=$	$\sigma_{st.ven}$	$=$
v_o	$=$	$\tau(T_{yb})_d$	$=$	θ_t	$=$
A^*	$=$	$\tau(T_y)_s$	$=$	r_u	$=$
S_u^*	$=$	$\tau(T_y)_d$	$=$	r_v	$=$
C_w	$=$	σ	$=$	r_o	$=$
J_u	$=$	τ_s	$=$	J_p	$=$
J_v	$=$	τ_d	$=$		
J_t	$=$	σ_{ls}	$=$		
$\sigma(N)$	$=$	σ_{lls}	$=$		
$\sigma(M_x)$	$=$	σ_{ld}	$=$		



Calcolo degli sforzi in * con forze baricentriche essendo * il punto medio di DE

Rappresentare sul foglio, in scala: G, assi u,v, ellisse d'inertia, C.T.

Rappresentare i cerchi di Mohr

Operare le conclusioni sulla verifica di resistenza in *

Facoltativo: rappresentare l'asse neutro e l'andamento delle tens. normali.

Facoltativo: rappresentare l'andamento delle tens. tangenziali.

N	$= 65200 \text{ N}$	M_x	$= -2760000 \text{ Nmm}$	G	$= 73000 \text{ N/mm}^2$
T_y	$= 39200 \text{ N}$	σ_a	$= 220 \text{ N/mm}^2$	σ_{lld}	$=$
M_t	$= 122000 \text{ Nmm}$	E	$= 200000 \text{ N/mm}^2$	σ_{tresca}	$=$
y_G	$=$	$\tau(M_t)_d$	$=$	σ_{mises}	$=$
u_o	$=$	$\tau(T_{yc})$	$=$	$\sigma_{st.ven}$	$=$
v_o	$=$	$\tau(T_{yb})_d$	$=$	θ_t	$=$
A^*	$=$	$\tau(T_y)_s$	$=$	r_u	$=$
S_u^*	$=$	$\tau(T_y)_d$	$=$	r_v	$=$
C_w	$=$	σ	$=$	r_o	$=$
J_u	$=$	τ_s	$=$	J_p	$=$
J_v	$=$	τ_d	$=$		
J_t	$=$	σ_{ls}	$=$		
$\sigma(N)$	$=$	σ_{lls}	$=$		
$\sigma(M_x)$	$=$	σ_{ld}	$=$		